

Mamba-360: Survey of State Space Models as Transformer Alternative for Long Sequence Modelling: Methods, Applications, and Challenges

نکته: تمامی عناوین و کلمات قرمز رنگ به صورت لینک های قابل کلیک هستند.

چکیده

مدل‌سازی توالی‌ها یکی از حوزه‌های کلیدی در زمینه‌های گوناگون از جمله Natural Language Processing (NLP)، تشخیص Recurrent Neural Net (RNN) و شبکه‌های موسیقی bioinformatics است. شبکه‌های عصبی بازگشتی (Long Short-Term Memory Networks - LSTMs) و شبکه‌های حافظه کوتاه‌مدت طولانی (works - RNNs) وظایف مدل‌سازی توالی مانند ترجمه ماشینی و تشخیص موجودیت‌های نام‌دار (Named Entity Recognition - NER) تسلط داشتند. با این حال، پیشرفت مدل‌های transformer باعث تغییر در این پارادایم شد؛ زیرا این مدل‌ها عملکرد برتری را ارائه می‌دهند. با وجود این، ترانسفورمرها از پیچیدگی توجیهی با مرتبه O^{N^2} و چالش‌هایی در برخورد با سوگیری استقرایی رنج می‌برند. برای رفع این مشکلات، گونه‌های مختلفی پیشنهاد شده‌اند که از شبکه‌های طیفی یا همنهشتی (convolutional) استفاده می‌کنند و در طیف وسیعی از وظایف عملکرد مناسبی داشته‌اند، اما هنوز در پردازش توالی‌های بسیار بلند دچار مشکل هستند. در این میان، مدل‌های فضای حالت (- State Space Models (SSMs) به عنوان جایگزین‌های امیدوار کننده‌ای برای پارادایم مدل‌سازی توالی مطرح شده‌اند، به‌ویژه با ظهور مدل‌هایی مانند S4 و نسخه‌های آن نظری Linear Recur-, Gated State Spaces (GSS), Diagonal State Spaces (DSS), Hyena, Hippo, S4nd, Mamba, Liquid-S4 و LRU (Memory Unit). در این مرور، مدل‌های بنیادی SSM بر اساس سه پارادایم اصلی دسته‌بندی می‌شوند: معماری‌های دروازه‌ای (Gating Architectures)، معماری‌های ساختاری (Structural Architectures) و معماری‌های بازگشتی (Recurrent Architectures). همچنین، این مقاله به بررسی کاربردهای متعدد SSM در حوزه‌هایی همچون بینایی رایانه‌ای، ویدئو، صوت، گفتار، زبان (به‌ویژه مدل‌سازی توالی‌های بلند)، پژوهشی (از جمله ژنومیکس)، شیمی (مانند طراحی دارو)، سیستم‌های توصیه‌گر و تحلیل سری‌های زمانی از جمله داده‌های جدولی می‌پردازد. افزون بر این، عملکرد SSM‌ها در مجموعه‌داده‌های معیار نظری Long Range SSTv2، Kinetics-400، ImageNet، Pile، GLUE، WikiText، Arena (LRA) و همچنین مجموعه‌داده‌های ویدئویی مانند Mamba-360، LVU، COIN، Breakfast و چندین مجموعه‌داده سری زمانی، گردآوری شده است. صفحه‌ی پروژه مربوط به کار در این وب‌سایت در دسترس است:

<https://github.com/badripatro/mamba360>

شبکه‌های عصبی بازگشتی (Recurrent Neural Networks - RNNs) مدت‌هاست که سنگ بنای مدل‌سازی توالی به شمار می‌روند و در وظایفی مانند ترجمه ماشینی و پیش‌بینی واژه‌ی بعدی عملکرد پرجسته‌ای داشته‌اند. RNN‌ها با استفاده از ورودی کنونی و حالت قبلی، حالت بعدی را پیش‌بینی می‌کنند. با این حال، این شبکه‌ها تنها قادرند از آخرین حالت و ورودی فعلی برای پیش‌بینی استفاده کنند، که این امر موجب محدودیت در خروجی آن‌ها می‌شود. شبکه‌های عصبی بازگشتی می‌توانند توالی‌های با طول (L) را بدون نیاز به منابع حافظه‌ای بیش از $O(1)$ به صورت کارآمد پردازش کنند. با این وجود، به دلیل اینکه محاسبات گرادیان تنها بر حالت پنهان و ورودی فعلی متراکز است، RNN‌ها ممکن است پنجره‌ی بازیبینی یا ظرفیت حافظه‌ی کافی برای یادگیری وابستگی‌های بلندمدت نداشته باشند. افزون بر این، این شبکه‌ها با مشکلاتی همچون انفجار یا ناپدید شدن گرادیان مواجه‌اند و برای پردازش توالی‌های بلند، نیازمند حافظه‌ای با پیچیدگی محاسباتی نمایی هستند. برای رفع این محدودیت‌ها، شبکه‌های حافظه کوتاه‌مدت طولانی (Long Short-Term Memory - LSTM) معرفی شدند. اگرچه LSTM‌ها برخی از مشکلات RNN‌های سنتی را برطرف کردند، اما با افروختن سازوکارهای دروازه‌ای (Gating Mechanisms) پیچیدگی بیشتری ایجاد کردند و در یادگیری انتقالی (Transfer Learning) نیز با چالش‌هایی روبرو هستند.



شکل ۱: دسته‌بندی مدل‌های فضای حالت (State Space Models - SSMs) بر اساس ماهیت ساختاری، بازگشتی و دروازه‌ای آن‌ها. در هر دسته، مدل‌های کلیدی معرفی شده در متون علمی بررسی شده‌اند.

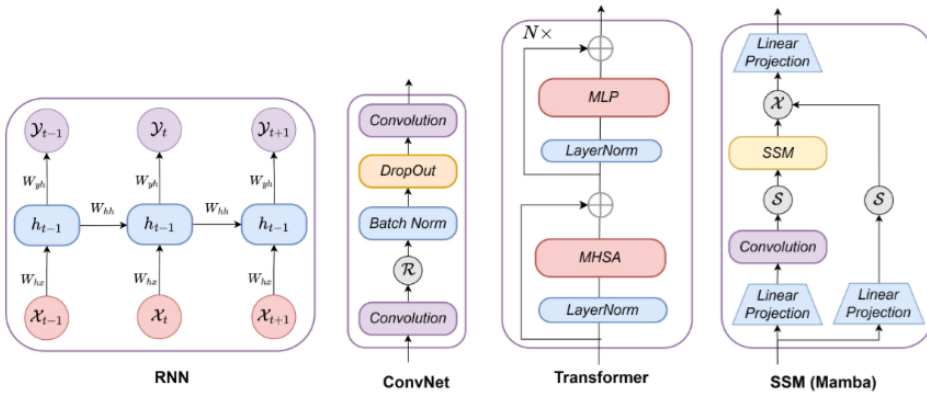
Modelهای Transformer به عنوان جایگزینی انقلابی ظهور کرده‌اند که راه حل‌هایی برای کاستی‌های هر دو شبکه‌ی RNN و LSTM می‌دهند و به پارادایم غالب در حوزه‌های NLP و بینایی رایانه‌ای تبدیل شده‌اند. با به کارگیری سازوکارهای توجه (Attention)، ترنسفورمرها این امکان را فراهم می‌سازند که هر توکن با تمام توکن‌های دیگر در توالی ورودی تعامل داشته باشد و در نتیجه، وابستگی‌های بلندبرد را به صورت کارآمد ثبت کنند. با این حال، پیچیدگی توجه در مرتبه $O(N^2)$ در ترنسفورمرها چالش‌هایی در مقیاس‌پذیری ایجاد می‌کند، بهویژه هنگام پردازش توالی‌های بلند در حوزه‌هایی مانند ژئومیک و تحلیل تصاویر با وضوح بالا. این بدان معناست که اگرچه ترنسفورمرها در بسیاری از وظایف پردازش توالی عملکرد بسیار خوبی دارند، اما ناکارآمدی‌هایی نیز دارند، بهویژه از نظر میزان حافظه و توان محاسباتی موردنیاز که با افزایش طول توالی به صورت درجه دوم رشد می‌کند. در این زمینه، مطالعه‌ی حاضر به بررسی چشم‌انداز مدل‌سازی توالی پرداخته و مدل‌های فضای حالت (State Space Models - SSMs) را به عنوان پارادایمی نویدبخش معرفی می‌کند. با بهره‌گیری از SSM‌ها، هدف ما رفع ناکارآمدی‌های RNN‌ها و ترنسفورمرهای سنتی و ارائه‌ی راهکارهایی مقیاس‌پذیر برای وظایف پردازش توالی در حوزه‌های گوناگون است. مدل‌های فضای حالت (State Space Models - SSMs) به عنوان جایگزین‌های قابل توجه برای ترنسفورمرها مطرح شده‌اند، بهویژه برای پردازش توالی‌های بلند. می‌توان SSM‌ها را به صورت مفهومی، همانند شبکه‌های بازگشتی (RNNs) با طول‌های ثابت در نظر گرفت که اندازه‌ی آن‌ها با طول ورودی افزایش نمی‌یابد. این ویژگی منجر به مزایای چشمگیری از نظر سرعت استنتاج و پیچیدگی محاسباتی و حافظه در مقایسه با ترنسفورمرها می‌شود. با این حال، علیرغم مزایای کارایی، SSM‌ها در برخی حوزه‌های داده، بهویژه در وظایف بینایی رایانه‌ای، هنوز به سطح عملکرد مدل‌های پیشرفته‌ی ترنسفورمرها نمی‌رسند. یکی از نقاط ضعف قابل توجه SSM‌ها، مصالحه در برخی قابلیت‌های بنیادی است که برای وظایف خاص پردازش توالی ضروری‌اند، از جمله توانایی کجی کردن توالی‌های ورودی بلند [۶۳]، یادگیری درون‌منتهی (In-context Learning) و سازوکارهای القایی (Induction Heads) [۱۰۹]. این پژوهش، یک مرور جامع از حوزه‌ی مدل‌های فضای حالت ارائه می‌دهد و نقاط قوت و ضعف آن‌ها را در مقایسه با ترنسفورمرهای پیشرفته بررسی می‌کند. در این مقاله نشان داده می‌شود که چگونه SSM‌های وظیفه‌محور برای برخی وظایف خاص مانند وظایف حوزه‌ی Long Range Arena (LRA) [۱۴۹] مناسب‌تر از ترنسفورمرها هستند، هرچند عملکرد ترنسفورمرها در وظایف بینایی رایانه‌ای مانند شناسایی تصویر و تقسیم‌بندی نمونه‌ها همچنان برتر است. در مرور ما، مشاهده می‌کنیم که SSMs، بهویژه مدل‌هایی مانند Language Domain transformers در حوزه‌ها و وظایف گوناگون عملکردی رقابتی با Mamba [۱۷۵]، در جبهه‌ی standard regression in-context learning (ICL) Tasks، SSMs، هرچند عملکرد مطلوبی نشان می‌دهند، بهویژه در وظایف Video Tasks، ذکر است که SSMs در وظایفی مانند sparse parity learning [۲۰۰] از transformers امیدبخش‌اند، کارایی آن‌ها در وظایف چندوجهی natural language processing and Audio Tasks مانند video and audio understanding نسبتاً کمتر کاوش شده باقی مانده است. برای پر کردن این خلا، تلاش‌های پژوهشی جاری می‌کوشند از ظرفیت مدل‌سازی بلندبرد (LLMs) Large Language Models برای بهبود video understanding video understanding by big models. علاوه بر این، مرور ما بر نیاز به بررسی بیشتر درباره‌ی قوت‌های نسبی SSMs و transformers در طیفی از وظایف time including reinforcement learning recommendation systems series prediction و انواع وظایف حوزه‌ی پژوهشی تأکید می‌کند. این حوزه‌ها بستری حاصلخیز برای کاوش در این باره فراهم می‌آورند که چگونه SSMs و transformers می‌توانند یکدیگر را تکمیل کنند و بینش‌هایی درباره‌ی توانمندی‌ها و محدودیت‌های هر یک ارائه دهنند.

علاوه بر این، مرور ما بر نیاز به بررسی بیشتر درباره‌ی قوت‌های نسبی SSMs و transformers در طیفی از وظایف، از جمله time series prediction systems و reinforcement learning recommendation systems از حوزه‌ی پژوهشی پژوهشی تأکید می‌کند. این حوزه‌ها بستری حاصلخیز برای کاوش در این زمینه فراهم می‌کنند که چگونه SSMs و transformers می‌توانند یکدیگر را تکمیل کرده و بینش‌هایی درباره‌ی توانایی‌ها و محدودیت‌های هر یک ارائه دهند. این پژوهش شامل چهار جنبه‌ی مهم است که عبارت‌اند از:

- درک مدل‌های فضای حالت (State Space Models - SSMs): این پژوهش به بررسی اصول بنیادی SSM‌ها می‌پردازد و عملکرد درونی و پایه‌های ریاضی آن‌ها را توضیح می‌دهد.
- دسته‌بندی و پیشرفت‌های اخیر در SSMs: این بخش، دسته‌بندی نظاممندی از SSM‌ها ارائه می‌دهد و به پیشرفت‌های اخیر در این حوزه می‌پردازد. با سازماندهی SSM‌ها، پژوهشگران می‌توانند دیدگاه‌های تازه‌ای درباره‌ی منحصر‌به‌فرد و کاربردهای بالقوه‌ی آن‌ها کسب کنند.
- کاربرد SSMs در حوزه‌های مختلف: این مطالعه بررسی می‌کند که چگونه SSM‌ها در حوزه‌های گوناگون، از پردازش زبان طبیعی تا تشخیص‌های پژوهشی، به کار گرفته می‌شوند. درک این کاربردها به متخصصان کمک می‌کند تا SSM‌ها را برای وظایف خاص به‌طور مؤثر به کار برنند.
- مقایسه‌ی عملکرد SSMs با Transformers: با گردآوری نتایج پیشرفت، این پژوهش عملکرد SSM‌ها در کنار ترنسفورمرها ارزیابی می‌کند. این تحلیل مقایسه‌ای، ما را از نقاط قوت و ضعف هر رویکرد در حوزه‌ها و وظایف مختلف آگاه می‌سازد.
به‌طور خلاصه، ما در بخش ۲ به معرفی اصول پایه‌ای State Space Models (SSMs) پرداخته و اصول بنیادی آن‌ها، شامل فرمول‌بندی ریاضی و چارچوب مفهومی شان را مورد بحث قرار می‌دهیم. در بخش ۳، پیشرفت‌های اخیر در ادبیات SSM را مرور کرده و به دستاوردهای جدید و پژوهش‌های نوآورانه در این زمینه می‌پردازیم. در بخش ۴، کاربردهای SSM‌ها را در مدل‌سازی توالی‌های بلند بررسی کرده و کارایی و عملکرد آن‌ها را در مقایسه با سایر مدل‌ها تحلیل می‌کنیم. در بخش ۵، عملکرد SSM‌ها در مدل‌سازی توالی‌های بلند را با ترنسفورمرهای پیشرفت مقایسه می‌کنیم. نشان داده می‌شود که اگرچه SSM‌ها از نظر کارایی نسبت به ترنسفورمرها برتری‌هایی دارند، اما در برخی حوزه‌ها همچنان از نظر عملکرد نسبت به ترنسفورمرهای پیشرفت عقب‌تر هستند. تحول رویکردهای مدل‌سازی داده‌های ترتیبی از شبکه‌های عصبی بازگشتی (Recurrent Neural Networks - RNNs)، شبکه‌های عصبی هم‌نهشتی (Convolutional Neural Networks - CNNs) و ترنسفورمرها تا مدل‌های فضای حالت (State Space Models - SSMs)، مسیری از نوآوری‌ها را نشان می‌دهد که به‌منظور رفع چالش‌های گوناگون در ثبت وابستگی‌های زمانی، سلسه‌مراتب مکانی، تعاملات سراسری و رفتار سیستم‌های پویا شکل گرفته است، همان‌طور که در شکل ۲ نشان داده شده است.

۲ اصول مدل‌های فضای حالت

مدل‌های فضای حالت (State-Space Models) چارچوبی قدرتمند برای مدل‌سازی سیستم‌های پویا ارائه می‌دهند، به ویژه از طریق امکان نمایش مشتق‌های مرتبه بالا تنها با استفاده از مشتق‌های مرتبه اول و کمیت‌های برداری. به عنوان مثال، معادله‌ی دیفرانسیل مرتبه دوم که دینامیک یک سیستم جرم–فراز میرا را توصیف می‌کند را در نظر بگیرید:



شکل ۲: این شکل، سیر تکاملی پارادایم‌های مدل‌سازی داده‌های ترتیبی را از شبکه‌های عصبی بازگشتی (Recurrent Neural Net - RNNs) و شبکه‌های عصبی همنهشتی (Convolutional Neural Networks - CNNs) تا مدل‌های (State-Space Models - SSMs) نشان می‌دهد و پیشرفت‌ها در زمینه‌ی ثبت پویایی‌های زمانی، سلسه‌مراقبه مکانی و تعاملات پیچیده‌ی سیستم‌ها را برجسته می‌سازد.

$$m \frac{d^2y(t)}{dt^2} + c \frac{dy(t)}{dt} + ky(t) = u(t),$$

در اینجا، $u(t)$ نیروی خارجی وارد بر جرم را نشان می‌دهد و $y(t)$ موقعیت عمودی را مشخص می‌کند. در این معادله، $\frac{dy(t)}{dt}$ و $\frac{d^2y(t)}{dt^2}$ به ترتیب نمایانگر مشتق‌های مرتبه‌ی اول و دوم y هستند.

برای بازنویسی این معادله صرفاً بر حسب مشتق‌های مرتبه‌ی اول و کمیت‌های برداری، بردار حالت زیر را معرفی می‌کنیم:

$$x(t) := \begin{pmatrix} y(t) \\ \dot{y}(t) \end{pmatrix}.$$

هرچند این تبدیل منجر به کار با معادله‌ای برداری به جای معادله‌ای اسکالار می‌شود:

$$\dot{x}(t) = \begin{pmatrix} 0 & 1 \\ -\frac{c}{m} & -\frac{k}{m} \end{pmatrix} x(t) + \begin{pmatrix} 0 \\ \frac{1}{m} \end{pmatrix} u(t).$$

موقعیت $y(t)$ نیز به صورت تابعی خطی از حالت بیان می‌شود:

$$y(t) = Cx(t),$$

که در آن $C = (1, 0)$ است.

۱.۲ سیستم جرم-فرن-میرایی (Spring-Mass-Damper System)

سیستم جرم-فرن-میرایی یک مثال کلاسیک است که برای توضیح اصول دینامیک و نظریه کنترل مورد استفاده قرار می‌گیرد. در اینجا، فرمولبندی ریاضی پایه برای مدل فضای حالت سیستم جرم-فرن-میرایی آورده شده است. یک سیستم جرم-فرن-میرایی را در نظر بگیرید که از جرمی به مقدار m تشکیل شده که به دیواری از طریق یک فرن با ثابت فرن k و یک میرایی با ضریب میرایی c متصل است. هدف، توصیف رفتار سیستم با استفاده از متغیرهای حالت است. جابجایی جرم با x ، سرعت آن با \dot{x} و نیروی خارجی وارد بر جرم با F نمایش داده می‌شود.

۱. متغیرهای حالت: ما دو متغیر حالت تعریف می‌کنیم: x_1 : جابجایی جرم از موقعیت تعادل خود (موقعیت جرم نسبت به نقطه‌ی تعادل

فرن). \dot{x}_1 : سرعت جرم.

۲. دینامیک سیستم: دینامیک سیستم جرم-فرن-میرایی را می‌توان با استفاده از قانون دوم نیوتون به صورت زیر بیان کرد:

$$m\ddot{x}_1 = -kx_1 - c\dot{x}_1$$

که در آن، \ddot{x}_1 : شتاب جرم را نشان می‌دهد. جمله‌ی اول، $-kx_1$: نیروی فرن (متناوب با جابجایی) را نمایش می‌دهد و جمله‌ی دوم،

$-c\dot{x}_1$: نیروی میرایی (متناوب با سرعت) را نشان می‌دهد.

۳. فرمولبندی فضای حالت: مدل فضای حالت دینامیک یک سیستم را با استفاده از مجموعه‌ای از معادلات دیفرانسیل مرتبه اول بیان می‌کند. این چارچوب قدرتمندی برای توصیف سیستم‌های خطی با زمان ثابت (Linear Time-Invariant - LTI) است. مؤلفه‌های اصلی آن عبارت‌اند از:

- بردار حالت (**State Vector - \mathbf{x}**): بردار حالت شامل متغیرهای حالتی است که وضعیت درونی سیستم را توصیف می‌کنند. آن

را با \mathbf{x} نمایش می‌دهیم، به طوری که $\mathbf{x} \in \mathbb{R}^n$ باشد.

- بردار ورودی (**Input Vector - \mathbf{u}**): بردار ورودی، ورودی کنترلی یا نیروی خارجی وارد بر سیستم را نشان می‌دهد. آن را با \mathbf{u}

نمایش می‌دهیم، که $\mathbf{u} \in \mathbb{R}^m$ است.

- بردار خروجی (**Output Vector - \mathbf{y}**): بردار خروجی شامل کمیت‌های قابل اندازه‌گیری مورد نظر است. آن را با \mathbf{y} نمایش

می‌دهیم، که $\mathbf{y} \in \mathbb{R}^p$ است.

- دینامیک سیستم (**System Dynamics**): دینامیک حالت‌ها توسط معادله‌ی دیفرانسیل مرتبه‌ی اول توصیف می‌شود. در حالت

خطی با زمان ثابت (Linear Time-Invariant - LTI)، ماتریس‌های $\mathbf{A}, \mathbf{B}, \mathbf{C}, \mathbf{D}$ در طول زمان ثابت باقی می‌مانند. دینامیک

حالت در سیستم‌های LTI به صورت زیر بیان می‌شود:

$$\dot{\mathbf{x}} = \mathbf{Ax} + \mathbf{Bu}$$

که در آن $\mathbf{x} = [x_1, \dot{x}_1]^T$ بردار حالت است و \mathbf{u} ورودی (نیروی خارجی یا ورودی کنترلی) را نمایش می‌دهد. ماتریس $\mathbf{B} \in \mathbb{R}^{n \times m}$ ماتریس ورودی است. ماتریس \mathbf{A} و \mathbf{B} به صورت زیر تعریف می‌شوند:

$$\mathbf{A} = \begin{bmatrix} 0 & 1 \\ -\frac{k}{m} & -\frac{c}{m} \end{bmatrix}, \quad \mathbf{B} = \begin{bmatrix} 0 \\ \frac{1}{m} \end{bmatrix}.$$

در این معادله، $\dot{\mathbf{x}}$ مشتق زمانی بردار حالت را نشان می‌دهد.

معادله‌ی خروجی (Output Equation): معادله‌ی خروجی، خروجی سیستم را به حالت و ورودی مرتبط می‌کند:

$$\mathbf{y} = \mathbf{Cx} + \mathbf{Du}$$

که در آن، $\mathbf{D} \in \mathbb{R}^{p \times m}$ ماتریس خروجی یا حسگر و $\mathbf{C} \in \mathbb{R}^{p \times n}$ ماتریس بازخور مستقیم است.

$$\mathbf{C} = [1 \quad 0], \quad \mathbf{D} = 0$$

۴. تفسیر (Interpretation): بردار حالت \mathbf{x} شامل اطلاعاتی درباره‌ی موقعیت و سرعت جرم است. بردار ورودی \mathbf{u} می‌تواند نیروی خارجی وارد بر جرم را نمایش دهد. بردار خروجی \mathbf{y} معمولاً جابجایی x_1 است. در این سیستم، بردار حالت \mathbf{x} موقعیت و سرعت جرم را نمایش می‌دهد. دینامیک حالت‌ها توسط معادلات حرکت مشتق شده از قانون دوم نیوتون کنترل می‌شود. ورودی \mathbf{u} یا بانگر هرگونه نیروی خارجی وارد بر جرم است که در این حالت مقدار آن برابر با صفر فرض می‌شود.

۵. پایداری و کنترل (Stability and Control): تحلیل پایداری شامل بررسی مقادیر ویژه‌ی ماتریس \mathbf{A} است. طراحی کنترل می‌تواند از طریق تنظیم ورودی کنترلی \mathbf{u} برای دستیابی به رفتار مطلوب سیستم (برای مثال، میرایی نوسانات) انجام گیرد.

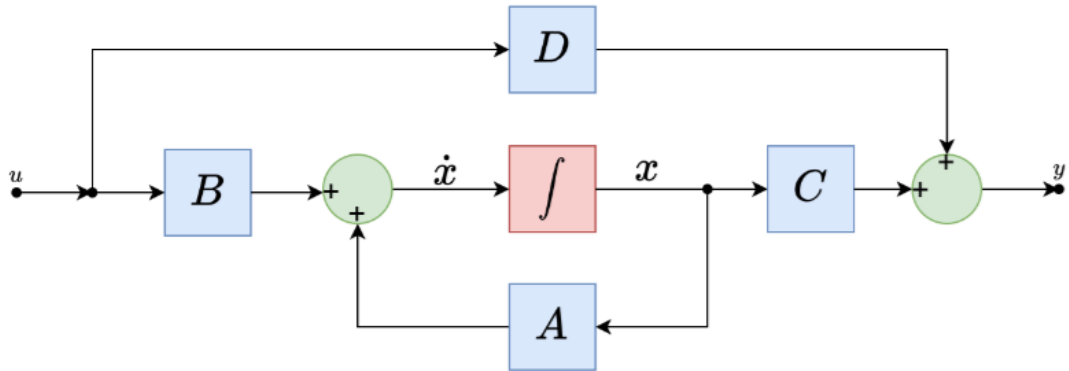
۲.۲ مدل‌های فضای حالت (State Space Models)

۱.۲.۲ تعریف (Definition)

معادلات خطی فضای حالت چارچوبی چندمنظوره برای مدل‌سازی سیستم‌های دینامیکی با زمان گستته فراهم می‌کنند:

$$x(t+1) = Ax(t) + Bu(t), \quad y(t) = Cx(t) + Du(t), \quad t = 0, 1, 2, \dots$$

در اینجا، $x(t) \in \mathbb{R}^n$ وضعیت سیستم را در زمان t نشان می‌دهد و شرایط آن را در بر می‌گیرد. $u(t) \in \mathbb{R}^p$ شامل متغیرهای کنترلی است، در حالی که $y(t) \in \mathbb{R}^k$ خروجی‌های خاص مورد نظر را دربر دارد. ماتریس‌های A , B , C و D دارای ابعاد مناسب هستند.



شکل ۳: نمایش شماتیکی از مفهوم مدل فضای حالت (State-Space Model) که دینامیک سیستم را از طریق مجموعه‌ای از معادلات دیفرانسیل مرتبه‌ی اول توصیف می‌کند.

در اصل، یک مدل دینامیکی خطی فرض می‌کند که حالت سیستم در گام زمانی بعدی ترکیبی خطی از حالت در گام‌های زمانی پیشین و در صورت وجود، سایر ورودی‌های بروزنزا است. علاوه بر این، این مدل بیان می‌کند که خروجی تابعی خطی از بردارهای حالت و ورودی است.

در مقابل، مدل با زمان پیوسته به صورت یک معادله‌ی دیفرانسیل بیان می‌شود:

$$\frac{d}{dt}x(t) = Ax(t) + Bu(t), \quad y(t) = Cx(t) + Du(t), \quad t \geq 0.$$

در نهایت، مدل‌های متغیر با زمان شامل ماتریس‌های A , B , C و D هستند که در طول زمان تغییر می‌کنند و نمایش منعطف‌تری از سیستم‌های دینامیکی ارائه می‌دهند.

۲.۲.۲ فرمول‌بندی مدل (Model Formulation)

برای مدل‌سازی یک توالی بزرگ، به جای استفاده از Multi-headed Self-Attention به دلیل پیچیدگی آن، از مدل‌های فضای حالت استفاده می‌کنیم. مدل فضای حالت [۴۱، ۴۴] به طور معمول به عنوان یک سیستم خطی با زمان ثابت شناخته می‌شود که تحریک ورودی گسترده با CNNs و مدل‌های کلاسیک فضای حالت مرتبط‌اند. از نظر ریاضی، فضاهای حالت نهفته با زمان پیوسته را می‌توان به صورت معادلات دیفرانسیل خطی معمولی مدل کرد که از پارامتر تحول $A \in \mathbb{R}^{N \times N}$ و پارامتر تصویر $C \in \mathbb{R}^{N \times 1}$ و $B \in \mathbb{R}^{N \times 1}$ استفاده می‌کنند، به صورت زیر:

$$\begin{aligned}\dot{x}(t) &= Ax(t) + Bu(t) \\ y(t) &= Cx(t) + Du(t)\end{aligned}\quad (1)$$

۳.۲.۲ مدل فضای حالت گسسته زمان (Discrete-time SSM)

شکل گسسته‌ی مدل SSM از یک پارامتر مقیاس زمانی Δ برای تبدیل پارامترهای پیوسته‌ی A , B و C به پارامترهای گسسته‌ی \bar{A} , \bar{B} و \bar{C} با استفاده از فرمول ثابت زیر بهره می‌برد: $\bar{B} = f_B(\Delta, A, B)$, $\bar{A} = f_A(\Delta, A)$, $\bar{C} = f_C(\Delta, C)$. زوج f_A , f_B قاعده‌ی گسسته‌سازی را نشان می‌دهد که از نگهداری مرتبه صفر (Zero-Order Hold - ZOH) برای این تبدیل استفاده می‌کند. معادلات به صورت زیر بیان می‌شوند:

$$\begin{aligned}x_k &= \bar{A}x_{k-1} + \bar{B}u_k & \bar{A} &= (I - \Delta/2 \cdot A)^{-1}(I + \Delta/2 \cdot A) \\ y_k &= \bar{C}x_k & \bar{B} &= (I - \Delta/2 \cdot A)^{-1}\Delta B \\ & & & \bar{C} = C.\end{aligned}\quad (2)$$

۴.۲.۲ نمایش هسته‌ی کانولوشنی (Convolutional Kernel Representation)

شکل گسسته‌ی مدل بازگشتی SSM در معادله‌ی ۲ به دلیل ماهیت ترتیبی آن، از نظر عملی قابل آموزش نیست. برای دستیابی به نمایش کارآمدتر، همنهشتی پیوسته را به عنوان همنهشتی گسسته مدل می‌کنیم، زیرا این سیستم یک سیستم خطی با زمان ثابت (Linear Time-Invariant System - LTI) است. برای سادگی، حالت اولیه را $x_0 = 0$ در نظر می‌گیریم. سپس، بازکردن صریح معادله‌ی ۲ نتایج زیر را به دست می‌دهد:

$$\begin{aligned}x_0 &= \bar{B}u_0 & x_1 &= \overline{AB}u_0 + \bar{B}u_1 & x_2 &= \bar{A}^2\bar{B}u_0 + \overline{AB}u_1 + \bar{B}u_2 & \dots \\ y_0 &= \overline{CB}u_0 & y_1 &= \overline{CAB}u_0 + \overline{CB}u_1 & y_2 &= \overline{CA}^2\bar{B}u_0 + \overline{CAB}u_1 + \overline{CB}u_2 & \dots\end{aligned}$$

این نتایج را می‌توان به یک convolution kernel (۳) برداری‌سازی کرد، همراه با فرمول صریح برای

$$\begin{aligned}y_k &= \overline{CA}^k\bar{B}u_0 + \overline{CA}^{k-1}\bar{B}u_1 + \dots + \overline{CAB}u_{k-1} + \overline{CB}u_k \\ y &= \overline{K} \times u.\end{aligned}\quad (3)$$

$$\bar{K} \in \mathbb{R}^L := k_L(\bar{A}, \bar{B}, \bar{C}) := (\bar{C}\bar{A}^i\bar{B})_{i \in [L]} = (\bar{C}\bar{B}, \bar{C}\bar{A}\bar{B}, \dots, \bar{C}\bar{A}^{L-1}\bar{B}). \quad (4)$$

\bar{K} در معادله ۴ می‌تواند به صورت یک همنهشتی منفرد (غیر دایره‌ای) نمایش داده شود که با استفاده از FFTs می‌توان آن را با کارایی بالا محاسبه کرد. با این حال، محاسبه \bar{K} در معادله ۴ ساده نیست و به عنوان \bar{K} ، یعنی SSM Convolution Kernel یا فیلتر مدل‌سازی می‌شود.

به طور خاص، ما توالی ورودی را با استفاده از مدل پیشرفته‌ی فضای حالت Mamba [۴۱] مدل‌سازی می‌کنیم. مدل Mamba یک ضعف اساسی در مدل‌های موجود را شناسایی می‌کند: ناتوانی در انجام استدلال مبتنی بر محتوا. برای رفع این مشکل، Mamba فضاهای حالت انتخابی (Selective State Spaces - SSMs) را معرفی می‌کند که به مدل اجازه می‌دهند تا به صورت انتخابی اطلاعات را در امتداد بُعد طول توالی، بر اساس توکن فعلی، انتشار داده یا فراموش کند. در حالی که مدل بلوک Mamba را برای وظیفه‌ی بیانی اعمال می‌کنیم، با مشکل ناپایداری (مانند از دست رفتن همگرایی) نسبت به مدل‌های دیگر مانند S4 یا Hippo مواجه می‌شویم. ما نوعی راه حل برای مشکل ناپایداری ارائه می‌دهیم که تنها مقادیر ویژه‌ی منفی را حفظ می‌کند. برای انجام این کار، به یک ماثول اضافی نیاز داریم که آن را «ترکیب کانال» (Channel Mixing) می‌نامیم، که در بلوک Mamba وجود نداشت. ما ماثول ترکیب کانال را با ماثول ترکیب توالی ادغام کرده و معماری ساده‌شده‌ای بر پایه‌ی Mamba [۱۱۷] ایجاد می‌کنیم که Simplified Mamba Based Architecture (SiMBA) نام دارد، همان‌طور که در SiMBA نشان داده شده است. توالی ورودی توکن‌ها X_{1-1} ابتدا توسط لایه‌ی نرم‌افزاری نرم‌افزاری شود. سپس، توالی نرم‌افزاری به صورت خطی بر روی x و \bar{x} با اندازه‌ی E نگاشت می‌شود. در ادامه، x از جهت‌های رو به جلو و عقب پردازش می‌شود. برای هر جهت، ابتدا همنهشتی یک بعدی (1-D Convolution) بر روی x اعمال کرده و x'_0 را به دست می‌آوریم. سپس به صورت خطی بر روی C_0, B_0, Δ_0 نگاشت می‌شود. در نهایت، Δ_0 برای تبدیل \bar{A}_0 و \bar{B}_0 به کار گرفته می‌شود.

۳ پیشرفتهای اخیر در مدل‌های فضای حالت (Recent Advances in State Space)

(Models)

مدل‌های مبتنی بر توجه (Attention-based Transformers) انقلابی در پردازش زبان طبیعی و سایر وظایف توالی به توالی ایجاد کرده‌اند. با این حال، این مدل‌ها با محدودیت‌هایی روبرو هستند، به‌ویژه هنگام پردازش توالی‌های ورودی بلند، زمانی که وابستگی‌ها فراتر از اندازه پنجره‌ی توجه گسترش می‌یابند. این محدودیت در کاربردهایی مانند تحلیل تصاویر با وضوح بالا و ژئومیک اهمیت ویژه‌ای دارد. تلاش‌هایی برای رفع این محدودیت‌ها توسط Efficient 360 مورد بررسی قرار گرفته است، که تمرکز آن بر بهینه‌سازی و بهبود کارایی از نظر پیچیدگی محاسباتی است. جنبه‌های مختلفی از ترانسفورمراه، از جمله تحلیل طیفی (Spectral Analysis)، ملاحظات عدالت (Fairness Considerations)، روش‌های تقریب، بهبود مقاومت (Robustness Enhancements) و بهینه‌سازی پیچیدگی محاسباتی مورد بحث قرار گرفته‌اند. در این گزارش، به بررسی این محدودیت‌ها پرداخته و مدل‌های فضای حالت (State Space Models - SSMs) را به عنوان رویکردن جایگزین مورد بررسی قرار می‌دهیم.

• پیچیدگی محاسباتی (**Computational Complexity**): ترنسفورمرها دارای نیازهای محاسباتی بالایی هستند، بهویژه در مدل‌های بزرگ. این پیچیدگی چالش‌هایی را برای آموزش و پیاده‌سازی آن‌ها بر روی دستگاه‌هایی با منابع محدود ایجاد می‌کند.

• نیاز زیاد به حافظه (**Large Memory Requirements**): ترنسفورمرها به منابع حافظه‌ی قابل توجهی برای ذخیره‌ی تعییه‌ها و فعال‌سازی‌های میانی نیاز دارند. این امر می‌تواند مقیاس‌پذیری را، بهویژه در توالي‌های بسیار بلند، محدود کند، زیرا ممکن است از ظرفیت حافظه‌ی موجود فراتر رود.

(Positional Embeddings) طول ثابت توالي (**Fixed Sequence Length**): ترنسفورمرها به دلیل استفاده از تعییه‌های موقعیتی به ورودی‌هایی با طول ثابت متکی هستند. مدیریت کارآمد ورودی‌هایی با طول متغیر، چالشی قابل توجه در معماری‌های مبتنی بر ترنسفورمر محسوب می‌شود.

• مقیاس‌پذیری سازوکار توجه (**Attention Mechanism Scalability**): در حالی که سازوکار توجه ابزاری قدرتمند است، دارای رشد درجه‌دوم نسبت به طول توالي ورودی است. این ویژگی آن را برای توالي‌های بسیار بلند کم‌بازده می‌کند.

• فقدان علیت در توجه استاندارد (**Lack of Causality in Standard Attention**): سازوکار توجه خود کار استاندارد که در ترنسفورمرها استفاده می‌شود، ذاتاً علیت را در نظر نمی‌گیرد. این سازوکار تمام موقعیت‌ها را به صورت برابر در نظر می‌گیرد که می‌تواند در وظایفی که علیت در آن‌ها اهمیت دارد، مشکل ساز شود.

با وجود پیشرفت‌ها، ترنسفورمرهای مبتنی بر توجه همچنان در پردازش توالي‌های بلند با چالش مواجه‌اند و در آزمون‌های مرجع بلندبرد، مانند وظیفه‌ی path-X، مشکلات حل نشده‌ای دارند. برای رفع این محدودیت‌ها، مدل‌های فضای حالت (- State-Space Models path-SSMs) رویکردی نویدبخش ارائه می‌دهند؛ مدل‌های پیشگامی مانند S4 از نخستین مدل‌هایی بودند که توانستند به طور مؤثر مسئله‌ی path-X را حل کنند. مدل‌های SSM با کارایی بالا توالي‌های بلند را مدل‌سازی کرده و در عین حال وابستگی‌های بلندمدت را به خوبی ثبت می‌کنند. در بخش‌های بعدی، مدل‌های کلیدی فضای حالت که در متون علمی معرفی شده‌اند را دسته‌بندی و بررسی می‌کنیم. دسته‌بندی مدل‌های اصلی فضای حالت در شکل ۴ نشان داده شده است:

• مدل‌های ساختاریافته‌ی فضای حالت (**Structured SSMs**): این مدل‌ها بر پایه‌ی S4 و نسخه‌های گوناگون آن ساخته شده‌اند و شامل DSS، S4nd، Liquid-S4، HyenaHierarchy، H3، Hippo و همنهشتی‌های سراسری (Global Convolutions) هستند. همچنین مدل‌های پایه‌ای مانند SG-Conv و FFTFlashConv، LongConv و LD-Stack مدل مشتق‌شده‌ی آن S5 نیز در این دسته قرار می‌گیرند. این مدل‌ها رویکردی اصولی برای مدیریت وابستگی‌های بلندبرد فراهم می‌کنند.

• مدل‌های بازگشته‌ی فضای حالت (**Recurrent SSMs**): این مدل‌ها بر اساس RNNs و نسخه‌های آن‌ها مانند LRU، RWKV و HGRN ساخته شده‌اند و جایگزینی برای رویکردهای مبتنی بر توجه در مدل‌سازی توالي ارائه می‌دهند.

• مدل‌های دروازه‌دار فضای حالت (**Gated SSMs**): مدل‌هایی مانند TNN، GSS و Mega استفاده از تکنیک‌های دروازه‌ای (Gating Techniques) عملکرد مدل را در توالي‌های بلند بهبود می‌بخشد.

- مدل‌های متفرقه‌ی فضای حالت (MambaFormer) مانند Mamba-Byte و Mamba-
MoE از تکنیک‌های گوناگونی فراتر از سازوکار توجه استاندارد استفاده می‌کنند و با ترکیب ایده‌هایی از دسته‌های مختلف،
مدل‌سازی کارآمد توالی‌ها را دنبال می‌کنند.

با این حال باید توجه داشت که به عنوان مثال، مدل Hippo از هر دو مدل Mamba (به عنوان یک Structured SSM) مشتق شده و همچنین از فناوری دروازه‌ای (Gating Technology) بهره می‌برد. این ارتباط در نمودار با پیکان‌ها نشان داده شده است. به طور مشابه، مدل GSS که یکی از مدل‌های پایه در دسته‌ی ساختاریافته محسوب می‌شود، از DSS مشتق شده اما از سازوکار دروازه‌ای نیز استفاده می‌کند. همچنین، مدل S5 از یکی از مدل‌های پایه، یعنی LDStack و S4، مشتق شده است. مدل‌های فضای حالت (State Space Models) راه حل‌هایی نویدبخش برای مدیریت توالی‌های بلند ارائه می‌دهند و کارایی و اثربخشی آن‌ها، این مدل‌ها را در برخی سناریوهای جایگزین‌هایی ارزشمند برای ترانسفورمرهای مبتنی بر توجه تبدیل کرده است.

1.3 مدل‌های ساختاریافته‌ی فضای حالت (Structured State Space Models)

مدل‌های ساختاریافته‌ی فضای حالت (Structured State Space Models - SSMs) شامل رویکردهای نوآورانه‌ی گوناگونی برای مدل‌سازی توالی هستند، از جمله S4، HiPPO، H3 و Liquid-S4. این مدل‌ها از سازوکارهای پیشرفته‌ای مانند عملگرهای تصویر چندجمله‌ای، سیستم‌های چندورودی-چندخروجی (Multi-Input Multi-Output Systems) و هسته‌های همنهشتی (Convolutional Kernels) برای ثبت وابستگی‌های بلندبرد به صورت کارآمد بهره می‌برند. این مدل‌ها در مجموعه‌داده‌های مرجع متنوع عملکردی رقابتی از خود نشان داده‌اند و توانایی آن‌ها در مدیریت داده‌های ترتیبی با کارایی محاسباتی بهبودیافته را به نمایش می‌گذارند.

1.1.3 مدل (S4) Structured State Space Sequence

مدل S4 نوعی مدل نوآورانه برای مدل‌سازی توالی‌ها است که با هدف ثبت وابستگی‌های بلندمدت درون توالی‌ها و بر پایه‌ی مدل فضای حالت (State Space Model - SSM) طراحی شده است. این مدل ماهیتی پیوسته در زمان دارد و سه سازوکار کلیدی را معرفی می‌کند:

- عملگر تصویر چندجمله‌ای مرتبه‌بالا (Higher-Order Polynomial Projection Operator - HiPPO): بر روی ماتریس‌های حالت و انتقال ورودی عمل می‌کند تا تاریخچه‌ی سیگنال را به صورت مؤثر در حافظه نگه دارد، و به مدل امکان می‌دهد تا وابستگی‌های بلندمدت را ثبت کند.

- پارامتردهی قطری به علاوه‌ی تصحیح رتبه‌پایین (Diagonal Plus Low-Rank Parametrization): در این سازوکار، مدل S4 ماتریس فضای حالت A را با یک اصلاح رتبه‌پایین تنظیم می‌کند تا پایداری و قابلیت قطری‌سازی آن تضمین شود.

- محاسبه‌ی کارآمد هسته‌ی همنهشتی (Efficient (Convolutional) Kernel Computation): مدل S4 برای محاسبه‌ی مؤثر ماتریس‌های انتقال از FFT و iFFT استفاده می‌کند و بدین ترتیب پیچیدگی کلی محاسبات را به $\mathcal{O}(N \log N)$ کاهش می‌دهد.

مدل S4 پارامتردهی جدیدی برای SSM ارائه می‌دهد که در آن ماتریس A با تصحیح رتبه‌پایین تنظیم می‌شود تا پایداری و قابلیت قطعی‌سازی آن تضمین گردد. این تبدیل، محاسبات SSM را به یک هسته‌ی Cauchy تبدیل می‌کند که به خوبی مطالعه شده است. در نتیجه، مدل‌های S4 نتایج تجربی بسیار قوی و در عین حال کارایی محاسباتی بالا را ارائه می‌دهند. مدل S4 نخستین مدل فضای حالت بود که توانست مسئله‌ی path-X را در معیار LRA حل کند و پیچیدگی محاسباتی را به $O(N \log N)$ کاهش دهد. S4 در مجموعه‌داده‌های مختلف عملکردی استثنایی از خود نشان می‌دهد؛ به عنوان مثال، در مجموعه‌داده‌ی ترتیبی CIFAR-10 بدون استفاده از افزایش داده یا ضرایب کمکی، به دقت ۹۱٪ دست یافت. این مدل فاصله‌ی عملکردی با ترانسفورمرها را در وظایف مدل‌سازی تصویر و زبان کاهش می‌دهد، در حالی که سرعت بالاتری نیز دارد. تلاش‌های بعدی، از جمله HiPPO و Long Convolutions، با هدف بهبود کارایی مدل‌های فضای حالت صورت گرفتند، اما هنوز فاصله‌ای میان عملکرد آن‌ها و ترانسفورمرهای پیشرفته وجود دارد.

۲.۱.۳ عملگرهای تصویر چندجمله‌ای مرتبه‌بالا (High-Order Polynomial Projection Operators - HiPPO)

مدل HiPPO بر روی ماتریس‌های حالت و انتقال ورودی اعمال می‌شود تا تاریخچه‌ی سیگنال‌ها را به صورت مؤثر در حافظه نگه دارد. مشاهده شده بود که تفسیر ریاضی دقیقی از ماتریس خاصی که در مدل S4 استفاده می‌شد وجود نداشت؛ این ماتریس در ابتدا برای سیستم‌های دینامیکی وابسته به زمان تعریف شده بود اما در مدل‌های فضای حالت مستقل از زمان (Time-Invariant SSMs) به کار گرفته شد. مدل HiPPO تفسیری ریاضی از S4 به عنوان چندجمله‌ای‌های لزاندر (Legendre Polynomials) با تغییر نمایی ارائه داد و بدین ترتیب توانایی S4 در ثبت وابستگی‌های بلندبرد را توضیح داد. چارچوب HiPPO مفهومی جالب است که مدل‌های فضای حالت (SSMs) را با تصویرسازی بر پایه‌های متعامد تعمیم‌یافته (Generalized Orthogonal Basis Projections) ترکیب می‌کند.

مدل HiPPO شامل چهار نسخه است:

- نسخه‌ی نخست از چندجمله‌ای‌های پایه‌ی فوریه‌ی کوتاه‌شده با نام HiPPO-FouT استفاده می‌کند.
- نسخه‌ی دوم با نام LagT بر پایه‌ی چندجمله‌ای‌های لاگور (Laguerre Polynomials) بنا شده است.
- نسخه‌ی سوم LegT است که از چندجمله‌ای‌های لزاندر (Legendre Polynomials) استفاده می‌کند.
- نسخه‌ی چهارم LegS نام دارد و از چندجمله‌ای‌های لزاندر با پنجره‌ی لغزان بهره می‌برد.

مدل HiPPO عملکرد S4 را به طور چشمگیری بهبود می‌دهد، به گونه‌ای که در معیار Long Range Arena (LRA) به دقت ۸۶٪ و در دشوارترین وظیفه مانند path-X به دقت ۹۶٪ دست یافته است.

۳.۱.۳ مدل Hungry Hungry HiPPO (H3)

مدل H3 دو چالش اساسی را که مدل‌های فضای حالت (SSMs) پیشین با آن روبرو بودند، شناسایی کرد: نخست، دشواری در یادآوری توکن‌های اولیه به این معنا که SSM‌های سنتی در حفظ مؤثر اطلاعات مربوط به توکن‌های ابتدایی در یک توالی ناتوان بودند؛ و دوم، دشواری در مقایسه‌ی توکن‌ها در میان توالی‌های مختلف. برای رفع این محدودیت‌ها، مدل H3 رویکردی نوآورانه ارائه می‌دهد که بر سه مؤلفه‌ی کلیدی استوار است:

- اباحته‌سازی مدل‌های **SSM** با تعامل‌های ضربی (**Stacked SSMs with Multiplicative Interactions**): در این روش، دو مدل فضای حالت به صورت اباحته با تعامل‌های ضربی بین تصویرهای ورودی و خروجی ترکیب می‌شوند. این طراحی موجب بهبود حفظ حافظه و توانایی مقایسه‌ی بین توالی می‌شود.

- استفاده از **FlashConv** برای افزایش کارایی آموزش (**FlashConv for Training Efficiency**): H3 برای بهبود کارایی آموزش بر روی سخت‌افزارهای مدرن از روش FlashConv استفاده می‌کند. FlashConv یک الگوریتم FFT بلوکی ترکیبی (Fused Block Fast Fourier Transform) است که به طور ویژه برای توالی‌هایی با طول حداقل ۸۰۰۰ طراحی شده است.

- الگوریتم انتقال حالت برای مقیاس‌پذیری (**State-Passing Algorithm for Scaling**): برای گسترش مقیاس مدل‌های فضای حالت فراتر از محدودیت طول، H3 الگوریتمی به نام انتقال حالت معرفی می‌کند. این الگوریتم ورودی را به بزرگ‌ترین بخش‌های ممکن تقسیم می‌کند که بتوانند در حافظه‌ی SRAM پردازنده‌ی گرافیکی (GPU) جای گیرند.

با وجود این پیشرفت‌ها، هنوز فاصله‌ای از نظر پیچیدگی (Perplexity) میان H3 و ترنسفورمرها (با ۳.۱ میلیارد پارامتر) وجود دارد. با این حال، مدل H3 در سناریوهای یادگیری بدون نمونه (Zero-Shot) و کم‌نمونه (Few-Shot) عملکردی برتر نسبت به ترنسفورمرها نشان می‌دهد، به‌ویژه در آزمون‌های مرجع SuperGLUE. به‌طور چشمگیری، H3 در معیار Long Range Arena (LRA) سرعتی دو برابر ($\times 2$) نسبت به ترنسفورمرها دارد و در مدل‌های زبانی ترکیبی، تولید متن را با سرعتی $\times 2.4$ بیشتر از ترنسفورمرها ممکن می‌سازد.

٤.١.٣ همنهشتی سراسری (**Global Convolution**)

نویسنده‌گان Long Convolution بر این باورند که مدل‌های فضای حالت (SSMs) برای آموزش مؤثر در شبکه‌های عمیق به ساختارهای ریاضی پیچیده‌ای ممکنی هستند. در این مدل، یک هسته‌ی همنهشتی به طول توالی ورودی تولید می‌شود که با ضرب مکرر یک ماتریس حالت پنهان ایجاد می‌گردد. این فرآیند منجر به ناپایداری می‌شود و نیاز به مقداردهی اولیه‌ی دستی و تنظیم دقیق آبرپارامترها دارد. برای رفع این چالش‌ها، نویسنده‌گان اصلی Long Convolution روشی نوین را معرفی کردند که در آن، هسته‌های همنهشتی بلند مستقیماً پارامتردهی می‌شوند. در پیاده‌سازی‌های معمول، همنهشتی‌های بلند از تبدیل فوریه سریع (Fast Fourier Transform - FFT) استفاده می‌کنند، که در برخی شرایط سیستمی می‌تواند حتی از توجه درجه‌دوم نیز کنترل عمل کند. مدل Long Convolution این مشکلات را با به کارگیری روش‌های ساده‌ای مانند منظم‌سازی (Regularization) شامل هموارسازی و فشرده‌سازی و الگوریتمی آگاه از ورودی/خروجی با نام FlashButterfly برطرف می‌کند. به‌طور چشمگیری، Long Convolution در معیار WikiText103 عملکردی بهتر از ترنسفورمرها ارائه می‌دهد، به‌طوری که میزان پیچیدگی (Perplexity) را به اندازه‌ی ۰.۲ کاهش می‌دهد در حالی که ۳۰٪ پارامتر کمتر دارد. علاوه بر این، Long Convolution مدعی است که در معیار سرعت LRA، تا ۷.۲ برابر سریع‌تر از ترنسفورمرها عمل می‌کند. تلاش مرتبط دیگری، FlashFFTConv است که از دو الگوریتم همنهشتی خلوت (Sparse Convolution) شامل Frequency- و Sparse Convolution و Partial Convolution بهره می‌گیرد. FlashFFTConv از تکنیک تجزیه‌ی ماتریسی استفاده می‌کند که FFT را از طریق ضرب ماتریسی محاسبه می‌کند و این امر ادغام هسته‌ها را برای توالی‌های بلند با کاهش عملیات ورودی/خروجی ممکن می‌سازد. رویکردهای مشابهی مانند Hyena Hierarchy و Structural Global Convolution (SGConv) نیز در این زمینه ارائه

۵.۱.۳ سلسله‌مراتب‌هاینا (Hyena Hierarchy - HH)

مدل (Hyena Hierarchy (HH)) نوعی مدل فضای حالت (SSM) است که با هدف رفع شکاف پیچیدگی (Perplexity Gap) میان مدل‌های مبتنی بر توجه و سایر روش‌ها معرفی شده است. سازوکارهای توجه دارای هزینه‌ی محاسباتی درجه‌دوم نسبت به طول توالی هستند، که این امر دسترسی به بافت (Context) را محدود می‌کند. در حالی که روش‌های موجود از لایه‌های زیر درجه‌دوم (Sub-Quadratic) بر پایه‌ی تقریب‌های رتبه‌پایین و خلوت (Low-Rank and Sparse Approximations) استفاده می‌کنند، برای دستیابی به عملکردی معادل با ترانسفورمراه، اغلب به لایه‌های توجهی متراکم نیاز دارند. مدل HH نشان می‌دهد که جایگزین‌های توجه زیر درجه‌دوم پیشین هنوز چار شکاف پیچیدگی نسبت به سازوکار توجه هستند، بهویژه در توالی‌های مبتنی بلند این موضوع آشکارتر است. مدل Hyena رویکردی زیر درجه‌دوم اتخاذ می‌کند که در آن، توجه با همنهشتی‌های بلند با پارامتردهی ضمنی (Implicitly Parametrized Long) و دروازه‌گذاری داده‌ای (Data-Gating) جایگزین می‌شود. نتایج نشان داده‌اند که نقطه‌ی برتری عملکردی بین HH و Convolutions سازوکار توجه در طول توالی حدود $6K$ رخ می‌دهد، و در طول توالی $100K$ ، مدل HH ۱۰۰ برابر سریع‌تر از Flash Attention یکی Pile Benchmark از بهینه‌ترین اشکال سازوکار توجه عمل می‌کند. علاوه بر این، HH تقریباً شکاف عملکردی با ترانسفورمراه را در معیار

از بین برده است، که نشان‌دهنده‌ی کارایی بالای آن در پردازش توالی‌های بلند و حفظ عملکردهای رقابتی با مدل‌های مبتنی بر توجه است.

۶.۱.۳ مدل RWKV

مدل RWKV یکی از شبکه‌های عصبی بازگشتی (RNN) جدید برای مدل‌سازی زبان است که از سازوکار تقریب توجه خطی با نام WKV استفاده می‌کند. این مدل از بازگشت‌های خطی با زمان ثابت (Linear Time-Invariant - LTI) بهره می‌برد و از دید مفهومی به عنوان RWKV بر پایه‌ی تقریب توجه خطی نسبت دو مدل فضای حالت (State Space Models - SSMs) در نظر گرفته می‌شود. مدل RWKV بر پایه‌ی تقریب توجه خطی طراحی شده است که با سازوکار توجه خودکار سنتی (Self-Attention) مورد استفاده در ترانسفورمراه تفاوت دارد. نویسنده‌گان RWKV بیان می‌کنند که اگرچه ترانسفورمراه انقلابی در پردازش زبان طبیعی (Natural Language Processing - NLP) و حوزه‌های دیگر ایجاد کرده‌اند، اما از پیچیدگی محاسباتی و حافظه‌ای درجه‌دوم رنج می‌برند. در مقابل، RNN‌ها از مقیاس‌پذیری خطی در هر دو بعد حافظه و محاسبه برخوردارند، اما از نظر عملکرد با ترانسفورمراه فاصله دارند. با این حال، RNN‌ها معمولاً در زمینه‌ی موازی‌سازی و مقیاس‌پذیری از ترانسفورمراه عقب‌تر هستند. مدل RWKV خود را مدلی ترکیبی معرفی می‌کند که نقاط قوت هر دو دسته‌یعنی RNN‌ها و ترانسفورمراه را با هم ترکیب می‌کند. با این حال، لازم است توجه شود که بر اساس بهترین شواهد موجود، RWKV در واقع نوعی ترانسفورم را سازوکار توجه خطی است و ویژگی‌های بازگشتی واقعی که برای RNN‌های سنتی تعریف می‌شود را ندارد.

۷.۱.۳ مدل LDStack

مدل LDStack نشان می‌دهد که چگونه یک شبکه‌ی عصبی بازگشتی (Recurrent Neural Network - RNN) می‌تواند به صورت یک سیستم دینامیکی خطی چندورودی-چندخروجی (-Multiple-Input Multiple-Output Linear Dynamical System) نمایش داده شود. این مدل اثبات می‌کند که RNN را می‌توان به‌طور مؤثر به صورت یک LDS (MIMO LDS) مدل‌سازی کرد، و این

دیدگاه امکان در ک عمیق تری از رفتار و ویژگی های RNN ها را فراهم می سازد. در این چارچوب، RNN به عنوان سیستمی با چند ورودی و چند خروجی مشابه با یک LDS در نظر گرفته می شود. برای حل چالش های محاسباتی، مدل LDStack روشی به نام «پویش موازی» (Parallel Scan) را معرفی می کند. این روش شامل تقریب MIMO LDS از طریق تجمعی آن به یک سیستم تک ورودی-چند خروجی (Single Input Multiple Output - SIMO LDS) است. این تقریب ضمن حفظ ویژگی های اساسی، محاسبات را ساده تر می کند. نویسندها تأکید می کنند که بسیاری از سیستم های دینامیکی خطی گسسته زمان (Discrete-Time LDS) را می توان با استفاده از معادلات فضایی حالت مدل سازی کرد. این امر نشان می دهد که LDS را می توان معادل با مدل های فضایی حالت متغیر با زمان در نظر گرفت. رویکرد LDStack عملکردی در سطح پیشرفته (State-of-the-Art) به ویژه در وظایف حافظه کپی (Copy Memory Tasks) نشان داده است. این معادل سازی پلی میان چارچوب RNN و مدل سازی رسمی تر فضایی حالت ایجاد می کند. مدل LDStack با دستیابی به عملکرد سطح بالا در مسائل حافظه کپی، اثربخشی روش خود را به نمایش می گذارد. به طور قابل توجهی، این کار به در ک گسترده تر از RNN ها و ارتباط آنها با سیستم های دینامیکی خطی کمک کرده و دیدگاه های ارزشمندی درباره رابطه میان LDS و RNN را ارائه می دهد، که افق های جدیدی برای پژوهش ها و کاربردهای عملی در این زمینه می گشاید.

S5 مدل ۸.۱.۳

مدل S5 اصول مدل LDStack که در آن RNN ها به صورت سیستم های دینامیکی خطی چند ورودی چند خروجی (Multiple-Input Multiple-Output Linear Dynamical Systems - MIMO LDS) مدل سازی شده بودند را گسترش داده و آن را به مدل های فضایی حالت (State Space Models - SSMS) تعمیم می دهد و رویکردی کلی تر ارائه می کند. برخلاف LDStack که مدل های فضایی حالت مستقل را به صورت ترتیبی پردازش می کند، لایه S5 چندین ورودی و خروجی را به طور همزمان (Concurrently) پردازش می کند. نتایج ارزیابی عملکرد نشان می دهند که مدل S5 به دقت چشمگیری دست یافته است؛ به طوری که در معیار Long-Range Arena (LRA) دقت ۹۸٪.۵ و در وظیفه دشوار path-X درون LRA دقت ۸۷٪.۲ را کسب کرده است. در حالی که مدل S4 از مجموعه ای از HiPPO مدل های فضایی حالت تک ورودی-تک خروجی مستقل (Single-Input Single-Output SSMS) که مبتنی بر چارچوب Multi-Input Multi-Output SSM (Multi-Input Multi-Output SSM) واحد هستند استفاده می کند، لایه S5 از یک مدل فضایی حالت چند ورودی-چند خروجی (Multi-Input Multi-Output SSM) واحد بهره می برد که امکان پردازش موازی را فراهم می سازد. این پردازش موازی، کارایی محاسباتی را به طور چشمگیری افزایش می دهد. مدل S5 ترکیبی جالب از ایده های مدل سازی مبتنی بر LDS و مدل های فضایی حالت ارائه می دهد و بر اهمیت پردازش موازی و کارایی محاسباتی تأکید دارد.

S4nd مدل ۹.۱.۳

هدف اصلی مدل S4nd گسترش کاربرد مدل های فضایی حالت (State Space Models - SSMS) فراتر از داده های ترتیبی (مانند داده های متنی و سری های زمانی) به حوزه داده های پیوسته است. این مدل چالش استفاده از مدل های فضایی حالت برای داده های پیوسته مانند تصاویر و ویدئوها را بطرف می کند. مدل S4nd یک لایه جدید در یادگیری عمیق معرفی می کند که یک مدل فضایی حالت استاندارد را که معمولاً به صورت یک معادله دیفرانسیل معمولی یک بعدی (ODE - Ordinary Differential Equation - ODE) یا یک بعدی (1D) بیان می شود به یک معادله دیفرانسیل جزئی چند بعدی (Multi-Dimensional Partial Differential Equation - PDE) تبدیل می کند.

این تبدیل به مدل‌های فضای حالت اجازه می‌دهد تا وابستگی‌های مکانی را در ابعاد مختلف ثبت کنند. علاوه بر این، S4nd نشان می‌دهد که یک مدل فضای حالت چندبعدی می‌تواند به طور معادل به صورت هم‌نهشتی پیوسته‌ی چندبعدی (ND Continuous Convolution) نمایش داده شود، که در آن هر بُعد به صورت مستقل تحت هم‌نهشتی فضای حالت یک‌بعدی (1D SSM Convolution) قرار می‌گیرد. برای ارزیابی کارایی، مدل S4nd بر روی مجموعه‌داده‌ی ConvNeXt با استفاده از ImageNet به عنوان مدل پایه آزمایش شد و عملکرد بهتری نسبت به روش‌های سنتی نشان داد. بهویژه، عملکرد مدل‌های یوتاپی ترنسفورمر (Vision Transformers - ViTs) را بهبود بخشدید. همچنین، S4nd در وظایف شناسایی ویدئو عملکردی برتر نسبت به ConvNeXt نشان داد، بهویژه در مجموعه‌داده‌های مانند HMDB ۴۷۰ قابلیت‌های مدل‌های فضای حالت را برای پردازش داده‌های پیوسته گسترش داده و پلی میان مدل‌سازی ترتیبی و مکانی ایجاد می‌کند.

10.1.3 مدل Diagonal State Spaces (DSS)

مدل DSS به بررسی پارامتردهی ماتریس‌های فضای حالت از طریق ماتریس‌های قطری به همراه تصحیح رتبه‌پایین می‌پردازد. نکته‌ی قابل توجه این است که DSS نشان می‌دهد می‌توان بدون نیاز به تصحیح رتبه‌پایین، عملکردی در سطح مدل S4 به دست آورد. با استفاده‌ی صرف از ماتریس‌های فضای حالت قطری، مدل DSS در معیارهای گوناگون از جمله طبقه‌بندی گفتار خام (Raw Speech Classification) و معیار (LRA) Long-Range Arena به عملکرد مشابه با مدل S4 دست یافته است. علاوه بر این، نسخه‌ای از DSS که در منبع پیشنهاد شده، دیدگاه‌های تازه‌ای درباره‌ی مقداردهی اولیه‌ی خاص ماتریس فضای حالت ارائه می‌دهد. این مقداردهی‌های اولیه، که بر پایه‌ی تقریب ماتریس مدل S4 طراحی شده‌اند، منجر به عملکرد مؤثر در وظایف مدل‌سازی توالی‌های بلند می‌شوند. این نسخه از مدل، انعطاف‌پذیری و پتانسیل بالای DSS را در دستیابی به عملکرد قوی در کاربردها و سناریوهای مختلف نشان می‌دهد. نوآوری کلیدی DSS در حذف مؤلفه‌ی تصحیح رتبه‌پایین از ماتریس HiPPO (که در مدل S4 استفاده می‌شود) نهفته است.

11.1.3 مدل Liquid Structural State Spaces (Liquid-S4)

شبکه‌های با ثابت زمانی مایع (Liquid Time-Constant Networks - LTCs) نوعی شبکه‌ی عصبی پیوسته در زمان و علی (Causal LTC) هستند که با انتقال‌های حالت وابسته به ورودی مشخص می‌شوند. با ترکیب شبکه‌های LTC با مدل S4، پژوهشگران مدل جدیدی با نام Liquid-S4 معرفی کردند که دینامیک آن به صورت زیر تعریف می‌شود:

$$\dot{x} = (A + Bu)x + Bu, y = Cx$$

که با دینامیک S4 متفاوت است.

$$\dot{x} = Ax + Bu, y = Cx$$

انگیزه‌ی اصلی پشت مدل Liquid-S4 بهبود مدل‌های فضای حالت (SSMs) از طریق بهره‌گیری از ویژگی‌های شبکه‌های LTC است. مدل Liquid-S4 یک هسته‌ی هم‌نهشتی (Convolutional Kernel) را بر پایه‌ی نسخه‌ی خطی‌شده‌ی شبکه‌های LTC ایجاد می‌کند. این ساختار هسته شباهت میان نمونه‌های توالی ورودی را هم در طول آموزش و هم در زمان استنتاج در نظر می‌گیرد. مدل Liquid-S4

یک مازول انتقال حالت وابسته به ورودی معرفی می‌کند که امکان سازگاری با ورودی‌های متغیر را فراهم می‌سازد. همچنین، Liquid-S4 هسته‌ی همنهشتی‌ای ایجاد می‌کند که متناظر با نسخه‌ی خطی شده‌ی LTC است. مدل Liquid-S4 در وظایف مدل‌سازی توالی با وابستگی‌های بلندمدت (شامل تصویر، متن، صوت و سری‌های زمانی پزشکی) به تعمیمی در سطح پیشرفته (State-of-the-Art) دست یافته است. به طور خاص، Liquid-S4 در معیار Long-Range Arena (LRA) میانگین عملکرد ۸۷٪.۳۲ را به دست آورده است، در حالی که تنها مدل‌های دروازه‌دار فضای حالت (Gated State Space Models - GSS) عملکردی قابل مقایسه دارند. مدل Liquid-ConvNeXt (Raw Speech Command Recognition Dataset) عملکردی بهتر از S4 در مجموعه‌داده‌ی شناسایی گفتار خام (Raw Speech Command Recognition Dataset) دارد، به طوری که با ۳۰٪ پارامتر کمتر نسبت به S4، دقیقی برابر با ۹۶٪.۸۷ به دست آورده است. همچنین، نمایش همنهشتی مدل مشابه با فرم ارائه‌شده در معادله ۴ معرفی شده است. در این چارچوب، مدل Liquid-SSMs ابتدا در طول زمان باز می‌شود تا هسته‌ی همنهشتی آن ساخته شود. با فرض $x_{-1} = 0$

(۵)

$$\begin{aligned} x_0 &= \overline{B}u_0, \quad y_0 = \overline{C}\overline{B}u_0, \\ x_1 &= \overline{AB}u_0 + \overline{B}u_1 + \overline{B}^2u_0u_1, \quad y_1 = \overline{CAB}u_0 + \overline{CB}u_1 + \overline{CB}^2u_0u_1 \\ x_2 &= \overline{A}^2\overline{B}u_0 + \overline{AB}u_1 + \overline{B}u_2 + \overline{AB}^2u_0u_1 + \overline{AB}^2u_0u_2 + \overline{B}^2u_1u_2 + \overline{B}^3u_0u_1u_2, \\ y_2 &= \overline{CA}^2\overline{B}u_0 + \overline{CAB}u_1 + \overline{CB}u_2 + \overline{CAB}^2u_0u_1 + \overline{CAB}^2u_0u_2 + \overline{CB}^2u_1u_2 + \overline{CB}^3u_0u_1u_2, \dots \end{aligned}$$

مدل S4 نقاط قوت شبکه‌های LTC و مدل‌های فضای حالت (SSMs) را با یکدیگر ترکیب می‌کند که نتیجه‌ی آن، بهبود عملکرد و افزایش سازگاری در طیف گسترده‌ای از وظایف مدل‌سازی توالی است.

۱۲.۱.۳ مدل State Space Augmented Transformer (SPADE)

مدل SPADE برای حل چالش ثبت کارآمد هم‌زمان اطلاعات سراسری و محلی از توالی‌های بلند طراحی شده است. در حالی که بهینه‌سازی‌های سازوکار توجه در ترانسفورمرها موجب افزایش کارایی محاسباتی می‌شوند، این مدل‌ها اغلب در ثبت مؤثر بافت سراسری (Global Context) از توالی‌های بلند دچار ضعف هستند. در مقابل، مدل‌های فضای حالت (State Space Models - SSMs) در ثبت اطلاعات سراسری از توالی‌های بلند عملکرد بسیار خوبی دارند، اما در ثبت وابستگی‌های محلی (Local Dependencies) چندان کارآمد نیستند. مدل SPADE رویکردی نوآورانه پیشنهاد می‌دهد که در آن یک مدل فضای حالت بهویژه مدل S4 به عنوان لایه‌ی پایینی ترانسفورمر ادغام می‌شود. این یکپارچگی به SPADE اجازه می‌دهد تا از نقاط قوت هر دو مدل بهره‌مند شود و اطلاعات سراسری را به طور کارآمد ثبت کند. علاوه بر این، SPADE از لایه‌های توجه محلی مبتنی بر پنجره و بخش‌بندی (Window and Chunk-Based Local Attention) برای ثبت دقیق وابستگی‌های محلی استفاده می‌کند. با ترکیب اطلاعات سراسری ثبت شده توسط لایه‌ی فضای حالت با اطلاعات محلی به دست آمده از سازوکار توجه، مدل SPADE بهبود چشمگیری در عملکرد در مجموعه‌داده‌های مختلف از جمله Long-Range Arena (LRA) و GLUE دست یافته است. این ترکیب مدل‌های SSM و ترانسفورمر در WikiText، Arena (LRA) برای ارتقای کارایی و عملکرد در وظایف مدل‌سازی توالی محسوب می‌شود.

۲.۳ مدل‌های دروازه‌دار فضای حالت (Gated SSMs)

مدل‌های Gated State Spaces (GSS) به عنوان رویکردهای نوآورانه Toeplitz Neural Network (TNN)، Mamba و Gated State Spaces (GSS) در حوزه‌ی مدل‌های دروازه‌دار فضای حالت شناخته می‌شوند. مدل GSS با استفاده از واحدهای دروازه‌ای (Gating Units) عملیات تبدیل فوریه سریع (FFT) را بهینه‌سازی می‌کند، که نتیجه‌ی آن پردازش کارآمد توالی‌ها و دستیابی به عملکردی رقابتی است. مدل TNN با معرفی ماتریس توپلیت دارای رمزگذاری مکانی (Position-Encoded Toeplitz Matrix) برای ترکیب توکن‌ها (Token Mixing) به طور قابل توجهی پیچیدگی زمان و فضای کاهش می‌دهد، در حالی که نتایجی در سطح پیشرفته (State-of-the-Art) حفظ می‌کند. مدل Gated Mamba ناکارآمدی‌های محاسباتی در مدل‌های فضای حالت سنتی را از طریق ترکیب شبکه‌ی پرسپترون چندلایه‌ی دروازه‌دار (Hardware-Aware Algorithms) برطرف می‌کند. این مدل دارای پیچیدگی زمانی (MLP) و الگوریتم‌های آگاه از سخت‌افزار (Hardware-Aware Algorithms) است و کارایی بالاتری نسبت به ترانسفورمرهای متداول ارائه می‌دهد.

۱.۲.۳ مدل Mega

مدل Mega دو ضعف اساسی در ترانسفورمرها را شناسایی می‌کند: نخست، سوگیری استقرایی ضعیف (Weak Inductive Bias)، و دوم، پیچیدگی درجه‌ی دوم سازوکار توجه (Quadratic Attention Complexity) نسبت به طول توالی. سوگیری استقرایی ضعیف به این معناست که ترانسفورمرها هیچ فرضی درباره‌ی الگوهای تعامل یا وابستگی میان توکن‌های ندارند و همه‌ی موقعیت‌ها را به‌طور یکسان در نظر می‌گیرند، که این امر برای مدل‌سازی توالی‌های بلند بهینه نیست. برای رفع این مشکل، Mega سازوکار جدیدی با نام Moving Average، که میانگین متحرک نمایی کلاسیک (Exponential Moving Average - EMA) را با سازوکار تک‌سری (Single-Head) است که میانگین متحرک نمایی کلاسیک (Equipped-Gated Attention Mechanism) از نوع Gated Attention معرفی می‌کند. در این روش، سازوکار توجه دروازه‌دار (Equipped-Gated Attention Mechanism) از نوع Positional-Positional معرفی می‌کند. این ترکیب وابستگی‌های محلی در سطح موقعیت را درون توجه غیرمکانی (-Agnostic Attention) ادغام کرده و به این ترتیب، سوگیری استقرایی معنادارتری به سازوکار توجه می‌افزاید. علاوه بر این، Mega نسخه‌ای با نام Mega-Chunk ارائه می‌دهد که به مشکل پیچیدگی درجه‌ی دوم توجه پاسخ می‌دهد. این نسخه با معرفی پیچیدگی زمانی و فضایی خطی (Linear Time and Space Complexity) و تقسیم کارآمد کل توالی به بخش‌هایی با طول ثابت (Fixed-Length)، کیفیت مدل را بدون افت محسوس حفظ می‌کند. با ترکیب قدرت EMA و توجه دروازه‌دار، Mega سوگیری استقرایی Chunks ترانسفورمرها را بهبود داده و پیچیدگی محاسباتی ناشی از سازوکارهای توجه را کاهش می‌دهد. این نوآوری‌ها گامی مهم در جهت توسعه‌ی مدل‌سازی توالی‌های کارآمدتر و مؤثرتر به شمار می‌آیند. نتایج آزمایش‌های انجام‌شده توسط Ma et al. نشان می‌دهد که Mega عملکردی بهتر از سایر مدل‌های توالی، از جمله انواع مختلف ترانسفورمر، در مجموعه‌داده‌های متنوعی مانند ترجمه‌ی ماشینی عصبی (Neural Machine Translation)، مدل‌سازی زبان (Language Modeling)، و طبقه‌بندی تصویر و گفتار دارد.

۲.۲.۳ مدل Gated State Spaces (GSS)

مدل GSS بر پایه‌ی پژوهش‌های پیشین Lia et al. توسعه یافته است، که در آن‌ها مشاهده شد جایگزینی لایه‌ی MLP در ترانسفورمر با واحدهای دروازه‌ای (Gating Units) می‌تواند بعد داده را در طی فرایند ترکیب توکن‌ها (Token Mixing) کاهش دهد. با گسترش این Fast Fourier Transform (FFT) لایه‌ای دروازه‌دار معرفی می‌کند که با هدف کاهش ابعاد در طول عملیات تبدیل فوریه سریع (Fast Fourier Transform) ایده، مدل GSS

- در مدل‌های فضای حالت (State Space Models - SSMs) FFT بتواند GSS (Zero-Shot Generalization) به صورت کارآمد بر روی توالی‌های ورودی بلند عمل کند. مدل GSS توانایی تعمیم بدون نمونه (Zero-Shot Generalization) به توالی‌های بلندتر را دارد در حالی که پیاده‌سازی آن همچنان ساده باقی می‌ماند. همچنین، این مدل بینش‌های تازه‌ای ارائه می‌دهد؛ از جمله مقداردهی اولیه‌ی متغیرهای فضای حالت با مقادیر تصادفی، که برخلاف مدل‌هایی مانند HiPPO، S4 و DSS است که برای مقداردهی اولیه‌ی جبر خطی (HiPPO) استفاده می‌کنند. به طور شگفت‌انگیزی، مدل GSS عملکردی بهتر از این مدل‌ها (Block Recurrent Transformers) با مدل‌های بازگشتی بلوکی ترانسفورمر (Perplexity Gap) را در معیارهای مختلف مانند PG-19، GitHub و Arxiv کاهش می‌دهد، در حالی که از کارایی بالاتری نیز برخوردار است. این یافته‌ها نشان‌دهنده‌ی کارایی و انعطاف‌پذیری بالای مدل GSS در وظایف مدل‌سازی توالی هستند. Tensor (Processing Units - TPUs) به طور قابل توجهی سریع‌تر از نسخه‌ی قطری مدل S4 (DSS) آموزش می‌یابند و عملکردی رقابتی در مقایسه با چندین مدل ترانسفورمر با تنظیم دقیق ارائه می‌دهد.

۳.۲.۳ شبکه‌ی عصبی توپلیتز (Toeplitz Neural Network - TNN)

مدل TNN به تازگی با هدف رفع دو جنبه‌ی اساسی ترانسفورمرها معرفی شده است: نخست، سازوکار توجه (Attention Mechanism) که همبستگی‌های جفتی میان توکن‌های ورودی را می‌آموزد، و دوم، جاسازی مکانی (Positional Embedding) که سوگیری استقرایی مکانی (Positional Inductive Bias) را فرا می‌گیرد. مدل TNN از یک ماتریس توپلیتز دارای رمزگذاری مکانی (Encoded Toeplitz Matrix) برای ثبت روابط میان جفت توکن‌ها به عنوان ترکیب کننده‌ی توکن (Token Mixer) استفاده می‌کند و با بهره‌گیری از تکنیک ضرب ماتریس-بردار توپلیتز (Toeplitz Matrix-Vector Product)، پیچیدگی زمان و فضای به $O(N \log N)$ کاهش می‌دهد. نویسنده‌گان ادعای کنند که TNN از ترانسفورمرها کارتر است، زیرا پیچیدگی زمانی آن به صورت لگاریتمی-خطی (Log-Linear Complexity) است، در حالی که ترانسفورمرها دارای پیچیدگی درجه دوم هستند. ویژگی کلیدی TNN استفاده از رمزگذار موقعیت نسبی (Relative Position Encoder - RPE) برای تولید ضرایب موقعیتی نسبی با بودجه‌ی پارامتر ثابت است. رمزگذار RPE با استفاده از پارامترهای موقعیتی نسبی، ماتریس توپلیتز را بازسازی کرده و باعث می‌شود که تعداد پارامترهای مدل TNN مستقل از طول توالی باشد. مدل TNN از دو مؤلفه‌ی اصلی تشکیل شده است:

- واحد توپلیتز دروازه‌دار (Gated Toeplitz Unit - GTU): از عملکردن شبکه‌ی توپلیتز (Gated Toeplitz Unit) برای ترکیب توکن‌ها با استفاده از ماتریس توپلیتز بهره می‌برد.

- واحد خطی دروازه‌دار (Gated Linear Unit - GLU): عملکردی مشابه لایه‌های دروازه‌ای در ترانسفورمرها دارد و جریان اطلاعات را تنظیم می‌کند.

رمزگذار RPE نیز از یک شبکه‌ی کاملاً متصل (Fully Connected Network) استفاده می‌کند که با اطلاعات موقعیت رمزگذاری شده است تا ضرایب موقعیت نسبی را تولید نماید. نتایج تجربی نشان داده‌اند که TNN در معیارهای مرتع مانند GLUE و Long-Range Arena (LRA) به عملکردی در سطح پیشرفته (State-of-the-Art) دست یافته است. این یافته‌ها نشان‌دهنده‌ی کارایی و اثربخشی بالای TNN در مقایسه با معماری‌های سنتی ترانسفورمر است.

مدل Mamba به پیچیدگی محاسباتی و حافظه‌ای درجه‌دوم (Quadratic Computational and Memory Complexity) در ترنسفورمرها و همچنین شکاف پیچیدگی (Perplexity Gap) میان مدل‌های فضای حالت سنتی (State Space Models - SSMs) و ترنسفورمرها اشاره دارد. پیش از معرفی Mamba، مدل‌های فضای حالت در انجام وظایفی مانند کپی انتخابی (Selective Copying) و ترنسفورمرها اشاره دارد. (Induction Head) با ناکارآمدی‌هایی مواجه بودند. با این حال، مشاهدات بدست آمده از ماژول انتقال حالت وابسته به ورودی در مدل Liquid-S4 نشان داد که چنین سازوکاری می‌تواند در حل مؤثر این وظایف مفید واقع شود. مدل Mamba با معرفی یک رویکرد پارامتردهی جدید برای مدل‌های فضای حالت بر اساس ویژگی‌های ورودی و افروختن یک سازوکار انتخابی ساده، این چالش‌ها را برطرف می‌کند. علاوه بر این، Mamba یک الگوریتم کارآمد آگاه از سخت‌افزار (Hardware-Aware Algorithm) بر پایه‌ی پویش انتخابی (Selective Scan) ارائه می‌دهد. مشابه با مدل Gated State Spaces (GSS)، مدل Mamba از یک تکنیک دروازه‌دار (Global Kernel Operations) برای کاهش ابعاد در عملیات هسته‌ی سراسری (Gated Technique) استفاده می‌کند. افزون بر این، Mamba با ترکیب شبکه‌ی پرسپترون چندلایه‌ی دروازه‌دار (Gated MLP) با ماژول فضای حالت (SSM Module) توانایی مدل را به طور قابل توجهی افزایش می‌دهد. پیچیدگی زمانی خطی (Linear-Time Complexity) در Mamba باعث می‌شود که این مدل نسبت به ترنسفورمرهای سنتی کارایی محاسباتی بسیار بالاتری داشته باشد.

۳.۳ مدل‌های بازگشتی فضای حالت (Recurrent SSMs)

مدل‌های بازگشتی فضای حالت (Recurrent SSMs) شامل واحد بازگشتی خطی (Linear Recurrent Unit - LRU) و شبکه‌ی عصبی بازگشتی دروازه‌دار سلسله‌مراتبی (Hierarchically Gated Recurrent Neural Network - HGRN) هستند. مدل LRU به همراه نسخه‌های گسترش‌یافته‌ی آن یعنی Griffin و Hawk، اثربخشی بازگشت خطی (Linear Recurrence)، بلوک‌های پرسپترون چندلایه (MLP Blocks) و سازوکارهای توجه (Attention Mechanisms) را در بهبود مدل‌سازی توالی‌های بلند بر جسته می‌سازند. در مقابل، مدل HGRN با افزودن دروازه‌های فراموشی پویا (Dynamic Forget Gates) به شبکه‌های بازگشتی خطی (Linear RNNs)، منجر به بهبود چشمگیر در کارایی محاسباتی و ارائه‌ی عملکردی رقابتی در مجموعه‌ای از معیارهای مرجع می‌شود.

۱.۳.۳ واحد بازگشتی خطی (Linear Recurrent Unit - LRU)

مدل LRU مشاهده می‌کند که اگرچه مدل‌های فضای حالت (SSMs) در وظایف مدل‌سازی توالی‌های بلند عملکرد خوبی دارند، اما دلیل دقیق این موفقیت به طور کامل روشن نیست. به عنوان مثال، عملکرد مطلوب مدل S4 در ابتدا به مقداردهی اولیه‌ی خاص (HiPPO) ماتریس‌های حالت و گسترش‌سازی (Discretization) سیستم پیوسته‌ی معادلات دیفرانسیل نسبت داده می‌شد. با این حال، همان‌طور که پیش‌تر اشاره شد، مدل‌های GSS و DSS نشان داده‌اند که این مقداردهی‌های اولیه‌ی خاص ضروری نیستند و حتی مقداردهی‌های تصادفی نیز می‌توانند به بهبود قابل توجه عملکرد منجر شوند. بنابراین، مدل LRU رویکردی جدید اتخاذ می‌کند و با شروع از شبکه‌های عصبی بازگشتی (Recurrent Neural Networks - RNNs) بررسی می‌کند که آیا می‌توان عملکردی مشابه مدل‌های فضای حالت در وظایف مدل‌سازی توالی‌های بلند بدست آورد یا خیر. در این راستا، چندین بهبود کلیدی در RNN‌ها اعمال شده است:

• بازگشت خطی (Linear Recurrence): حذف توابع غیرخطی از فرایند بازگشت و انباشتن لایه‌های RNN خطی همراه با

بلوک‌های غیرخطی MLP

• پارامتردهی (Parametrization): تبدیل پارامتری RNN‌ها به فرم قطری مختلط (Complex Diagonal Form) برای

امکان پذیر شدن آموزش موازی، الهام‌گرفته از مدل‌های DSS و S5

• پارامتردهی نمایی پایدار (Stable Exponential Parametrization): اعمال پارامتردهی نمایی پایدار بر روی ماتریس

بازگشتی قطری برای ساده‌سازی فرایند آموزش.

• نرمال‌سازی (Normalization): نرمال‌سازی فعال‌سازی‌های پنهان در گذر رو به جلو (Forward Pass) برای تضمین پایداری

در زمان آموزش.

این بهبودها باعث می‌شوند که مدل LRU بتواند عملکردی قابل مقایسه با سایر مدل‌های فضای حالت و ترسنفورمرها در معیارهایی مانند Long-Range Arena (LRA) به دست آورد. ترکیب دیدگاه‌های به دست آمده از مدل‌های کلاسیک SSM و معماری‌های شبکه‌های عصبی راه‌های جدیدی برای بهبود مدل‌سازی توالی‌های بلند فراهم می‌کند. مدل‌های Griffin و Hawk، که توسط همان نویسنده‌گان توسعه یافته‌اند، قابلیت‌های مدل LRU را از طریق افزودن لایه‌ها و سازوکارهای اضافی برای مدل‌سازی بهتر توالی گسترش می‌دهند. در مدل LRU، لایه‌های MLP با بلوک‌های Local Attention Mechanisms (Griffin) به صورت متناوب ترکیب می‌شوند. این معماری از سه بخش اصلی تشکیل شده است: بلوک باقیمانده (Residual Block)، بلوک MLP و بلوک ترکیب زمانی (Temporal-Mixing Block). بلوک ترکیب زمانی با سه جایگزین مورد ارزیابی قرار گرفته است: (۱) توجه سراسری چندپرسشی (Local Sliding-Window Attention)، (۲) توجه محلی مبتنی بر پنجره لغزان (Global Multi-Query Attention) و (۳) بلوک‌های بازگشتی مبتنی بر LRU. در مقابل، مدل Hawk که توسط همان گروه توسعه یافته است رویکردی کمی متفاوت اتخاذ می‌کند و لایه‌های LRU را با بلوک‌های MLP به صورت متناوب ادغام می‌کند. مشابه Griffin، مدل Hawk نیز شامل یک بلوک ترکیب زمانی است که سه گزینه‌ی جایگزین برای آن تعریف شده است: توجه سراسری چندپرسشی، توجه محلی، و بلوک‌های بازگشتی مبتنی بر LRU. هر دو مدل Griffin و Hawk در مقایسه با مدل‌های قدرتمندی مانند 2 Mamba و LLaMA مورد ارزیابی قرار گرفته‌اند و اثربخشی خود را در وظایف مدل‌سازی توالی به خوبی نشان داده‌اند. این مدل‌ها پتانسیل بالای ترکیب سازوکارهای بازگشتی و توجه را برای بهبود مدل‌سازی توالی‌های بلند بر جسته می‌کنند.

۲.۳.۳ شبکه‌ی عصبی بازگشتی دروازه‌دار سلسله‌مراتبی (Hierarchically Gated Recurrent Neural Network - HGRN)

مدل HGRN تلاشی نوین در اصلاح شبکه‌های عصبی بازگشتی (RNNs) است که از شبکه‌های بازگشتی خطی دروازه‌دار (Lin-Gated RNNs) با دروازه‌های فراموشی (Forget Gates) استفاده می‌کند؛ دروازه‌هایی که وزن‌های قابل یادگیری دارند و از لایه‌های پایین تر به لایه‌های بالاتر منتقل می‌شوند. این طراحی به HGRN اجازه می‌دهد تا وابستگی‌های کوتاه‌مدت (Short-Term Dependencies) را در لایه‌های پایین تر، که بیشتر به اطلاعات محلی مرتبط هستند، مدیریت کند. در حالی که در لایه‌های بالاتر، مدل وابستگی‌های بلند‌مدت (Long-Term Dependencies) را که اطلاعات سراسری را دربر می‌گیرند، پردازش می‌کند. مدل HGRN برخی از نواقص اصلی

RNN‌ها را بطرف می‌کند؛ از جمله پیچیدگی بهروزرسانی حالت پنهان که معمولاً شامل ضرب کامل ماتریس‌ها و وجود توابع غیرخطی در واحد بازگشتی است عواملی که مانع از موازی‌سازی محاسبات می‌شوند. HGRN با استفاده از یک لایه بازگشتی خطی در سطح عنصر (Element-Wise Linear Recurrent Layer) غیرخطی بودن در بازگشت را حذف کرده و امکان آموزش موازی را فراهم می‌کند. در این مدل، بهروزرسانی حالت پنهان از طریق ضرب در سطح عنصر (Element-Wise Multiplication) انجام می‌شود. شبکه‌های بازگشتی خطی معمولاً از دو روش استفاده می‌کنند: میانگین متحرک نمایی (Exponential Moving Average - EMA) و طرح‌های دروازه‌دار (Gating Schemes). باید توجه داشت که مدل‌های فضای حالت متداول مانند S4nd, S4, RWKV, Mega و Dynamic Rates (Decay Rates) مستقل از داده بوده و در تمامی گام‌های زمانی LRU همگی از روش EMA استفاده می‌کنند که در آن نرخ‌های زوال (Decay Rates) ثابت هستند. در مقابل، تنها دو مدل HGRN و Liquid-S4 از نرخ‌های زوال وابسته به داده (Data-Dependent) یا پویا (Dynamic) استفاده می‌کنند. در HGRN این نرخ‌های زوال پویا از طریق دروازه‌های فراموشی حاصل می‌شوند، در حالی که در Dynamic Transition Matrix (Dynamic Transition Matrix) استفاده می‌شود که نوعی محدود از FFT است. مدل Liquid-S4 از ماتریس انتقال دینامیکی (Liquid Transition Matrix) است. HGRN نتایج چشمگیری در مجموعه‌داده‌های GLUE، WikiText، Long-Range Arena (LRA) و Pile Benchmarks به دست آورده است. با این حال، در حالی که HGRN نسبت به مدل‌های فضای حالت و ترانسفورمرهای سنتی کارایی محاسباتی بالاتری دارد، تنها مدل TNN نوانسته است امتیاز پیچیدگی (Perplexity) پایین‌تری نسبت به HGRN کسب کند. به این ترتیب، HGRN ضمن حفظ کارایی بالا، به طور مؤثری شکاف پیچیدگی میان مدل‌های بازگشتی و ترانسفورمرهای مبتنی بر توجه را کاهش می‌دهد.

۴.۳ مدل‌های متفرقه‌ی فضای حالت (Miscellaneous SSMs)

۱.۴.۳ مدل ترکیب کارشناسان (Mixture of Experts - MoE)

رویکرد Mixture of Experts (MoE) به عنوان یکی از روش‌های برجسته برای ارتقای عملکرد مدل‌های زبانی بزرگ (Large State Space) مطرح شده است. تلاش‌های متعددی برای ادغام MoE با مدل‌های فضای حالت (Language Models - LLMs) صورت گرفته که منجر به نوآوری‌هایی همچون MoE-Mamba، BlackMamba و Jamba شده است. مدل BlackMamba با رویکردی نوآورانه، سازوکار توجه خود کار (Self-Attention Mechanism) در معماری ترانسفورمر را با مدل‌های فضای حالت Mamba جایگزین کرده است تا فرآیند ترکیب توالی‌ها (Sequence Mixing) را انجام دهد. علاوه بر این، Multilayer Perceptron (MoE-Transformer) بهره می‌گیرد، که در آن چندین شبکه پرسپترون چندلایه (Perceptrons - SSMS) از معماری BlackMamba BlackMamba برای ترکیب کانال‌ها (Channel Mixing) مورد استفاده قرار می‌گیرند. مولفه‌ی MoE در BlackMamba ceprtons - MLPs تنها یک زیرمجموعه‌ی خلوت از پارامترها را در هر گام پیش‌رو (Forward Pass) فعال می‌کند، که منجر به کاهش قابل توجه هزینه‌ی محاسباتی می‌شود. همچنین، این مدل دارای یک سازوکار مسیریاب پویا (Router Mechanism) است که به صورت تطبیقی یاد می‌گیرد توکن‌ها را به کارشناس مناسب هدایت کند. نتایج تجربی BlackMamba نشان داده‌اند که این مدل توانسته است شکاف پیچیدگی (Perplexity Gap) میان ترانسفورمرهای مبتنی بر توجه و مدل‌های فضای حالت را کاهش دهد. مدل MoE-Mamba نیز معماری مشابهی با BlackMamba دارد و ترکیبی از مدل‌های فضای حالت Mamba و ساختار MoE-Transformer را به کار می‌گیرد. این مدل نیز عملکردی رقابتی از خود نشان داده و در کاهش شکاف پیچیدگی با ترانسفورمرها موفق بوده است. در مقابل، مدل Jamba از یک

معماری ترکیبی (Hybrid Architecture) بهره می‌برد که در آن لایه‌های Mamba و ترانسفورمر به صورت متناوب قرار گرفته‌اند و سازوکار MoE تنها در برخی از لایه‌ها ادغام شده است. Jamba به طور خاص برای وظایف استدلال عقل سليم (Common Sense) Mixtral-8x7B در برخی معیارها از خود نشان داده است. همچنین، (Reasoning) طراحی شده و عملکردی رقابتی، حتی برتر از مدل Jamba از طول توکن ورودی تا ۲۵۶K (پشتیبانی می‌کند، که مقیاس‌پذیری و انعطاف بالای آن را در مدیریت توالی‌های بسیار Jamba از طول توکن ورودی تا ۲۵۶K (پشتیبانی می‌کند، که مقیاس‌پذیری و انعطاف بالای آن را در مدیریت توالی‌های بسیار بلند نشان می‌دهد. این پیشرفت‌ها اثربخشی ادغام رویکرد MoE با مدل‌های فضای حالت را بر جسته می‌سازند و مسیر تازه‌ای برای بهبود کارایی، مقیاس‌پذیری و عملکرد مدل‌های زبانی بزرگ فراهم می‌کنند. مدل MambaByte تلاشی نوین در جهت معرفی معماهی‌های کارآمد از نظر سخت‌افزاری (Hardware-Efficient Architectures) برای پردازش مؤثر توالی‌ها است. در این مدل، از مدل فضای حالت (Fixed-Size Memory State) Mamba State Space Model (SSM) و تکنیک‌های رمزگشایی بهینه (Optimized Decoding Techniques) استفاده می‌شود. منطق طراحی MambaByte بر پایه‌ی این مشاهده استوار است که مدل Mamba دارای یک حالت حافظه‌ی ثابت و بزرگ است که مشابه با حالت پنهان در شبکه‌های عصبی بازگشته است. این حالت حافظه مستقل از طول بافت (Context Length) عمل می‌کند. این حالت حافظه مستقل از طول بافت (Recurrent Neural Networks - RNNs) و همین ویژگی امکان پردازش کارآمد توالی‌های بسیار بلند را فراهم می‌سازد. علاوه بر این، MambaByte از یک الگوریتم رمزگشایی Byte-Level (Speculative Decoding Algorithm) استفاده می‌کند که به طور ویژه برای مدل‌های سطح بایت (Byte-Level) طراحی شده است. نتایج تجربی نشان می‌دهند که MambaByte عملکردی برتر نسبت به Mamba Models دارد، به ویژه در پردازش PG19 توالی‌های بلند با طول تا 524K. همچنین، مدل MambaByte در مقایسه با ترانسفورمرهایی مانند MegaByte در مجموعه‌داده‌ی 19 مدل MambaByte نشان‌دهنده‌ی کارایی بالای آن در دستیابی به پیچیدگی کمتر (Lower Perplexity) و بهبود عملکرد در پردازش توالی‌های بلند است، و به طور کلی سهم مهمی در تکامل معماهی‌های کارآمد و سخت‌افزار محور خانواده‌ی Mamba دارد.

۲.۴.۳ مدل‌های فضای حالت و یادگیری درون‌منتهی (SSMs and In-Context Learning)

در بررسی مفهوم یادگیری درون‌منتهی (In-Context Learning - ICL)، تمرکز اصلی بر رابطه‌ی میان عملکرد موفق در انجام وظایف و اطلاعات موجود در داده‌های آموزشی است. یکی از پرسش‌های اساسی در این زمینه آن است که آیا می‌توان مدل‌ها را به گونه‌ای آموزش داد که بتوانند در زمان استنتاج، بدون بهروزرسانی پارامترها، یادگیری درون‌منتهی مؤثری درون کلاس‌های خاصی از توابع برای مثال توابع خطی \mathbb{R} از خود نشان دهند یا خیر. پژوهش‌های اخیر به بررسی این پرسش پرداخته‌اند، به ویژه در ارزیابی توانایی‌های ترانسفورمرهای استاندارد و معماهی‌های تخصصی مانند Mamba. به عنوان نمونه، Garg et al. نشان داده‌اند که ترانسفورمرهای استاندارد قادرند برای یادگیری درون‌منتهی توابع خطی آموزش بینند، به طور مشابه، Grazzi et al. امکان یادگیری درون‌منتهی با استفاده از مدل Mamba را بررسی کرده‌اند. یافته‌های آن‌ها نشان می‌دهد که مدل Mamba عملکردی مشابه ترانسفورمرها در وظایف یادگیری درون‌منتهی دارد، به ویژه در سناریوهای استانداردی مانند رگرسیون خطی نامتقارن (Skewed Linear Regression)، شبکه‌های عصبی با تابع فعال‌سازی ReLU، و درخت‌های تصمیم (Decision Trees). علاوه بر این، مقاله‌ی مربوط به مدل MambaFormer این بررسی را گسترش داده و نشان می‌دهد که این مدل توانایی بالایی در یادگیری درون‌منتهی در وظایف اضافی، از جمله وظایف برداری Vector-Valued MQAR، دارد. جالب آن که

MambaFormer در مواردی موفق عمل می کند که مدل Mamba به تنها بی دچار ضعف است. با این حال، باید توجه داشت که پیچیدگی محاسباتی MambaFormer همچنان درجه دوم (Quadratic Complexity) باقی می ماند، زیرا در هر لایه سازوکار توجه (Attention) با Mamba Mechanism ادغام شده است. این پژوهش ها به صورت جمعی دیدگاه های مهمی دربارهی پتانسیل مدل های ترانسفورمر و معماری های تخصصی مانند MambaFormer و Mamba در زمینهی یادگیری درون منتهی ارائه می دهند و به در ک عمیق تری از توانایی ها و محدودیت های آن ها در این حوزه کمک می کنند.

Params (M)	↓PPL (test)	↓PPL (val)	Model
Attn-based			
44.95	24.71	24.50	Transformer
42.17	26.70	25.92	FLASH
44.95	28.05	27.99	l+elu
44.95	63.16	62.50	Performer
44.95	27.06	26.03	cosFormer
MLP-based			
49.75	32.43	31.31	Syn(D)
44.95	34.78	33.68	Syn(R)
47.83	29.13	28.08	gMLP
SSM-based			
40.99	39.99	38.34	S4
40.73	41.07	39.39	DSS
43.84	30.74	29.81	GSS
46.23	25.07	24.31	RWKV
46.24	31.12	29.86	LRU
46.25	24.82	24.14	HGRN
48.68	24.97	23.98	TNN

جدول ۱: نتایج به دست آمده بر روی مجموعه داده Wikitext-103، که در آن نماد \downarrow به معنی بهتر بودن مقادیر کمتر است.

۴ کاربردهای مدل‌های فضای حالت (Applications of State Space Models)

مدل‌های فضای حالت (SSMs) در ابتدا با هدف پردازش توالی‌های ورودی بلند، در مقایسه با مدل‌های Transformer پیشنهاد شدند. از این‌رو، این مدل‌ها در حوزه‌های گوناگونی که نیاز به پردازش توالی‌های بلند دارند، کاربردهای گسترده‌ای پیدا کرده‌اند.

۱.۴ حوزه‌ی زیان (Language Domain - Long Sequence)

در حوزه‌ی پردازش زبان طبیعی (Natural Language Processing - NLP)، مدل‌های Transformer به‌طور سنتی انتخاب اصلی برای مدل‌سازی داده‌های متنی بوده‌اند، زیرا به‌خوبی قادرند و استگی‌های پیچیده را از طریق مکانیزم توجه (Attention Mechanism) (Attention Mechanism) پوشش دهند.

به دست آورند. با این حال، کارایی این مدل‌ها به دلیل پیچیدگی درجه‌دوم $O(N^2)$ کاهش می‌یابد، بهویژه هنگام پردازش توالی‌های طولانی. با افزایش طول توالی، نیاز به حافظه و توان محاسباتی نیز افزایش می‌یابد و این موضوع باعث می‌شود آموزش مدل بر روی ورودی‌های بلند، از نظر منابع محاسباتی غیرعملی شود. برای رفع این ناکارآمدی‌ها، مجموعه‌ای از مدل‌های فضای حالت (State Space Models - SSMs) معرفی شده‌اند، از جمله: S4, S4nd, S5, HiPPO, Hyena, H3, LDStack, Liquid-S4, DSS, GSS, Mega, LRU, HGRN, TNN, Mamba و سایر مدل‌های مشابه. برخلاف Transformer‌ها که بر پایه‌ی مکانیزم توجه عمل می‌کنند، مدل‌های SSM داده‌های ورودی را در یک فضای پنهان با اندازه‌ی ثابت (Fixed-size Latent State) فشرده می‌کنند. این حافظه‌ی ایستا در طول تولید توالی ثابت باقی می‌ماند و همین امر باعث می‌شود SSM‌ها در پردازش ورودی‌های بلند، کارتر باشند. با این حال، یک مصالحه (Trade-off) وجود دارد: در حالی که مدل‌های SSM از نظر کارایی برتری دارند، قابلیت بازیابی یا کپی بخش‌هایی از زمینه‌ی ورودی را از دست می‌دهند؛ ویژگی‌ای که برای وظایفی مانند یادگیری با داده‌ی کم (Few-shot Learning) و بازیابی اطلاعات حیاتی است. در مقابل، مدل‌های Transformer در چنین وظایفی عملکرد بسیار بهتری دارند. در تحلیل‌های عملکردی این پژوهش، امتیازهای GLUE در جدول ۱، نتایج معیار Wikitext در جدول ۲ و معیار Pile در جدول ۱.۴ برای داده‌های متنی با توالی بلند، بین مدل‌های SSM و Transformer مقایسه شده‌اند. بحث میان این دو رویکرد همچنان ادامه دارد، زیرا هر کدام دارای نقاط قوت و محدودیت‌های خاص خود در حوزه‌ی NLP هستند.

Params (M)	AVG	CoLA	MRPC	SST-2	QQP	QNLI	MNLI	Method
Attn-based								
۱۲۴.۷۰	۷۸.۷۹	۳۸.۶۳	۸۸.۳۵	۹۰.۲۵	۸۸.۰۴	۸۷.۷۹	۷۹.۳۷ / ۷۹.۰۷	Transr
۱۲۸.۲۸	۷۷.۰۱	۴۰.۶۵	۸۲.۶۵	۹۰.۲۵	۸۶.۸۵	۸۴.۸۶	۷۷.۰۱ / ۷۶.۷۸	LS
۱۲۷.۱۲	۷۶.۸۷	۲۹.۴۰	۸۲.۵۰	۹۰.۷۱	۸۸.۸۳	۸۷.۱۰	۷۹.۴۵ / ۸۰.۰۸	FLASH
۱۲۴.۷۰	۷۰.۰۰	-	۸۳.۰۳	۸۷.۲۷	۸۶.۹۰	۸۲.۰۹	۷۴.۸۷ / ۷۵.۳۷	1+elu
۱۲۴.۷۰	۶۳.۴۱	۱۹.۴۱	۸۲.۱۱	۸۱.۴۲	۷۹.۱۰	۶۳.۴۴	۵۸.۸۵ / ۵۹.۰۲	Performer
۱۲۴.۷۰	۷۴.۸۸	۳۳.۰۳	۸۱.۹۳	۸۹.۴۵	۸۶.۱۲	۸۲.۶۱	۷۵.۱۰ / ۷۵.۹۵	cosFormer
MLP-based								
۱۳۱.۰۰	۵۸.۶۰	-	۸۱.۷۹	۸۲.۳۴	۸۱.۳۳	۶۲.۸۰	۵۰.۹۳ / ۵۱.۰۲	Syn(D)
۱۲۹.۴۲	۵۹.۰۸	۴.۶۳	۸۱.۳۸	۸۲.۲۲	۷۸.۱۱	۶۲.۲۹	۵۲.۸۲ / ۵۲.۱۳	Syn(R)
۱۳۱.۰۸	۷۴.۶۵	۳۶.۰۶	۸۲.۳۰	۹۰.۲۵	۸۶.۴۸	۸۰.۵۶	۷۳.۳۰ / ۷۳.۶۰	gMLP
FFT-based								
۱۲۴.۷۰	۶۳.۵۳	-	۸۲.۹۱	۸۱.۸۸	۷۹.۴۳	۷۳.۳۱	۶۲.۴۵ / ۶۴.۷۱	FNet
۱۳۰.۰۶	۶۵.۱۹	۹.۶۲	۸۲.۴۴	۸۴.۴۰	۸۰.۲۵	۶۵.۴۲	۶۶.۷۵ / ۶۷.۴۵	GFNet
۱۲۱.۵۷	۷۱.۹۷	۳۶.۱۹	۸۲.۳۵	۸۸.۸۸	۸۵.۱۲	۷۳.۲۰	۶۸.۷۹ / ۶۹.۲۸	AFNOt
SSM-based								
۱۳۱.۷۹	۶۹.۵۸	۲۳.۰۱	۸۳.۳۶	۸۷.۰۴	۸۴.۶۱	۷۲.۱۴	۶۸.۴۵ / ۶۸.۴۲	S4
۱۲۳.۷۶	۴۸.۴۵	۶.۱۴	۸۰.۹۵	۶۵.۳۷	۶۵.۱۸	۵۰.۸۰	۳۵.۴۶ / ۳۵.۲۲	DSS
۱۲۲.۸۰	۶۰.۰۰	۶.۵۶	۸۲.۱۱	۸۵.۶۷	۸۰.۹۸	۶۲.۵۸	۵۰.۵۳ / ۵۱.۵۸	GSS
۱۲۶.۴۰	۷۸.۵۱	۴۹.۸۵	۸۲.۹۶	۹۰.۶۰	۸۸.۳۰	۸۵.۰۶	۷۶.۷۲ / ۷۶.۰۶	TNN

جدول ۲: مقایسه‌ی عملکرد مدل‌های مختلف در مدل‌سازی توالی بر روی مجموعه‌داده‌ی GLUE. نتایج MNLI به صورت جداگانه برای match و mismatch با استفاده از نمره‌ی F1 اندازه‌گیری شده است، CoLA با ضریب Matthews سنجیده شده، و سایر وظایف با معیار دقت (Accuracy) ارزیابی شده‌اند. بهترین نتیجه با بولد و دومین نتیجه‌ی برتر با زیرخط مشخص شده‌اند. نماد «—» نشان‌دهنده‌ی مقدار ناموجود است. عبارت Attn به مدل‌های توجه، SSM به مدل‌های فضای حالت، بازیابی Transformer-LS و Trans به مدل‌های ترانسفورمر و LS.

با توجه به این ناکارآمدی‌ها، مجموعه‌ای از مدل‌های فضای حالت (State Space Models - SSMs) پدیدار شده‌اند که شامل مدل‌هایی همچون HGRN، LRU، Mega، GSS، DSS، Liquid-S4، LDStack، H3، Hyena، HiPPO، S5، S4nd، S4، TNN و Mamba می‌باشند. برخلاف مدل‌های Transformer که متکی بر مکانیزم توجه (Attention Mechanism) هستند، TNN می‌باشد. حافظه‌ی ایستا در طول فرآیند تولید توالی ثابت باقی می‌ماند و همین ویژگی موجب افزایش کارایی SSM‌ها در پردازش ورودی‌های بلند مدل‌های SSM داده‌های ورودی را در یک فضای پنهان با اندازه‌ی ثابت (Fixed-size Latent State) ثابت می‌کنند. این تخصیص حافظه‌ی ایستا در طول فرآیند تولید توالی ثابت باقی می‌ماند و همین ویژگی موجب افزایش کارایی SSM‌ها در پردازش ورودی‌های بلند مدل‌های SSM داده‌های ورودی را در یک فضای پنهان با اندازه‌ی ثابت (Fixed-size Latent State) ثابت می‌کنند. این تخصیص می‌شود. با این حال، نوعی مصالحه (Trade-off) وجود دارد: در حالی که مدل‌های SSM از نظر کارایی برتری دارند، قابلیت بازیابی و کپی بخش‌هایی از زمینه‌ی ورودی را از دست می‌دهند؛ قابلیتی که برای وظایفی نظیر یادگیری با داده‌ی اندک (Few-shot Learning) و بازیابی اطلاعات (Retrieval) ضروری است. در مقابل، مدل‌های Transformer در این حوزه‌ها عملکرد بسیار بهتری دارند. در تحلیل عملکرد، امتیازهای GLUE در جدول ۲، نتایج معیار Wikitext در جدول ۱ و معیار Pile در جدول ۱۴ برای داده‌های متنی بلند بین مدل‌های SSM و Transformer مورد مقایسه قرار گرفته‌اند. بحث میان این دو رویکرد همچنان ادامه دارد، زیرا هر یک از آن‌ها در حوزه‌ی NLP دارای نقاط قوت و محدودیت‌های منحصر به‌فردی هستند.

۲.۴ حوزه‌ی بینایی ماشین (Vision Domain)

مدل‌های فضای حالت (Computer Vision - SSMs) کارایی قابل توجهی را در حوزه‌ی بینایی ماشین (State Space Models - SSMs) در وظایفی مانند طبقه‌بندی تصویر (Image Classification)، بخش‌بندی (Segmentation) و تشخیص اشیاء (Object Detection) از خود نشان داده‌اند. تعدادی از پژوهش‌ها از جمله plainMamba، localMamba، Vim، V-Mamba، SiMBA و Vim2 مدل‌های *Swin U-Mamba*، *SegMamba*، *U-Mamba*، *SSM* را برای وظایف طبقه‌بندی تصویر تطبیق داده‌اند. به‌طور مشابه، مدل‌هایی مانند *P-Mamba* (برای بخش‌بندی بطنی) و *VM-UNet* (برای وظایف بخش‌بندی در بینایی ماشین معرفی شده‌اند. تطبیق‌های خاص بینایی از *Bidirectional Mamba* مانند *V-Mamba*، *Vision Mamba* و *SiMBA*) از مدل‌های فضای حالت دیداری و دوجهته (معماری *and Visual State Space Models*) برای انجام وظایف بینایی ماشین استفاده می‌کنند. با این حال، شکاف عملکردی میان این مدل‌ها و مدل‌های ترانسفورمر پیشرفته (State-of-the-Art Transformers) مانند *SpectFormer*، *SVT*، *WaveViT* و *Volo* وجود دارد. مدل *SiMBA* تلاش می‌کند این شکاف را با جایگزینی شبکه‌های توجه با *Mamba* برای ترکیب توکن‌ها (Token Mixing) و استفاده از *Einstein FFT* (EinFFT) برای ترکیب کانال‌ها (Channel Mixing) کاهش دهد. *SiMBA* روش جدیدی به نام *Einstein Blending* را برای ترکیب کانال‌ها معرفی می‌کند، که برخلاف بسیاری از مدل‌ها، نیازی به داشتن ابعاد مربعی کامل برای طول توالی و ابعاد کانال ندارد. همچنین، *SiMBA* از نسخه‌ی هرمی معماری ترانسفورمر (Pyramid Transformer Architecture) استفاده می‌کند، که منجر به بهبود قابل توجه عملکرد، بهویژه در مجموعه‌داده‌ای مانند *ImageNet* و وظایف سری‌های زمانی (Time Series) می‌شود. با وجود این پیشرفت‌ها، هنوز شکاف عملکردی میان *SiMBA* و مدل‌های ترانسفورمر پیشرفته‌ای مانند *SCT* باقی مانده است. جدول ۵ نتایج مربوط به وظیفه‌ی طبقه‌بندی تصویر در مجموعه‌داده‌ی *ImageNet* را خلاصه می‌کند و نشان می‌دهد که به عنوان بهترین مدل در میان معماهی‌های فضای حالت برای وظایف تشخیص تصویر عمل می‌کند. از سوی دیگر، مدل *RSMamba* بر روی *Res-VMamba* (Remote Sensing Image Classification) تمرکز دارد، در حالی که *Fine-grained Food Category Visual Classification* (Fine-grained Food Category Visual Classification) با استفاده از مدل‌های *Residual Learning* (Deep Residual Learning) طبقه‌بندی دیداری دقیق دسته‌بندی مواد غذایی (Food Category Classification) را انجام می‌دهد. افزون بر این، تلاش‌هایی مانند *Biomed-U-Mamba* بر بهبود وابستگی‌های بلندمدت (Long-range Dependencies) در وظایف بخش‌بندی تصاویر زیست‌پزشکی (*Medical Image Segmentation*) قابل استفاده می‌باشند. با بهره‌گیری از مدل‌های فضای حالت (State Space Models)، *ical Image Segmentation* (ical Image Segmentation) تمرکز دارد. با بهره‌گیری از مدل‌های فضای حالت (State Space Models) قابلیت‌های معماري *Mamba* را برای وظایف بخش‌بندی تصاویر پزشکی (Medical Image Segmentation) در داده‌های تصویری حجمی (Volumetric Medical Image Data) به‌طور مؤثر مدل‌سازی کند. مدل *SegMamba* قادر است روابط ظرفی و دقیق در تصاویر زیست‌پزشکی را به خوبی شناسایی و مدل‌سازی کند و بهویژه چالش‌های مربوط به مدل‌سازی دنباله‌ای بلندمدت را برطرف سازد. به‌طور مشابه، مدل *SegMamba* قابلیت‌های معماري *Mamba* را برای وظایف بخش‌بندی تصاویر پزشکی (3D Medical Image Segmentation) قادر است. با ترکیب معماري *Mamba*، مدل *SegMamba* قادر است وابستگی‌های متواالی را در داده‌های تصویری حجمی (Volumetric Medical Image Data) به‌طور مؤثر مدل‌سازی کند. مدل *MambaMorph* به مسئله‌ی ثبت تغییرپذیر تصاویر (Deformable MR-CT Registration) می‌پردازد و این کار را از طریق ادغام یادگیری ویژگی متقابل (Contrastive Feature Learning) در چارچوب *Mamba* انجام می‌دهد. این رویکرد امکان ثبت دقیق‌تر و مقاوم‌تر تصاویر پزشکی را با استفاده از توانایی‌های مدل‌های فضای حالت فراهم می‌سازد. مدل *VM-UNet* از

ترکیب Vision Mamba UNet برای بخش‌بندی تصاویر پزشکی استفاده می‌کند. با ترکیب معماری Mamba با UNet به عملکردی برتر در بخش‌بندی تصاویر پزشکی دست می‌یابد و از نقاط قوت هر دو معماری بهره‌مند می‌شود. مدل nnMamba مدل‌های فضای حالت را به حوزه‌های مختلف تحلیل تصاویر زیست‌پزشکی (Biomedical Image Analysis) از جمله بخش‌بندی تصاویر سه‌بعدی، طبقه‌بندی (Classification) و شناسایی نقاط شاخص (Landmark Detection) گسترش می‌دهد. با به کارگیری معماری Mamba، مدل nnMamba عملکرد و کارایی بهتری را در پردازش داده‌های پیچیده‌ی تصویری پزشکی نشان می‌دهد. مدل FD-ViT می‌برد از معماری Vision Mamba برای اصلاح نوردهی در تصاویر آندوسکوپی (Endoscopic Exposure Correction) بهره می‌گیرد و موجب افزایش پایداری در تحلیل تصاویر پزشکی می‌شود. مدل Weak-MambaUNet با معماری‌های CNN و وظیفه‌ی بخش‌بندی تصاویر پزشکی مبتنی بر حاشیه‌گذاری ضعیف (Scribble-based Segmentation) را بهبود می‌دهد. این ترکیب امکان بهره‌برداری مؤثرتر از سیگنال‌های ناظارت ضعیف (Weak Supervision Signals) را فراهم می‌کند و دقت بخش‌بندی Medical Mamba اثربخشی معماری Mamba را به طور خاص در وظایف طبقه‌بندی تصاویر پزشکی (Medical Image Classification) بررسی کرده و توانایی آن را در پردازش داده‌های متنوع تصویربرداری پزشکی نشان می‌دهد. در نهایت، مدل LightM-UNet با استفاده از نسخه‌ی سبک‌تر معماری Mamba بخش‌بندی تصاویر پزشکی را با تأکید بر کارایی و سرعت بهینه می‌کند. مدل Large Window-based Mamba UNet نیز با بهره‌گیری از پنجره‌های بزرگ‌تر و روش‌های نوآورانه فراتر از مکانیزم‌های سنتی هم‌نهشتی (Convolutional) و خودتوجهی (Self-Attention)، عملکرد بخش‌بندی تصاویر پزشکی را به طور قابل توجهی بهبود می‌بخشد. مدل H-vMUNet یک معماری پیشرفته از نوع High-Order Vision Mamba UNet را برای وظایف بخش‌بندی High-order تصاویر پزشکی (Medical Image Segmentation) معرفی می‌کند. این مدل با بهره‌گیری از وابستگی‌های مرتبه بالا (Dependencies) و معماری Mamba، دقت و پایداری بخش‌بندی را به شکل چشمگیری بهبود می‌بخشد. مدل ProMamba در زمینه‌ی بخش‌بندی پولیپ (Polyp Segmentation) تخصص دارد و با به کارگیری تکنیک‌های مبتنی بر پرامپت (Prompt-based Techniques) در چارچوب Mamba به نتایج پیشرفته و قابل توجهی در این وظیفه‌ی خاص تصویربرداری پزشکی دست یافته است. مدل CMViM از خودرمزگذارهای ماسک‌شده‌ی متضاد (Contrastive Masked Vim Autoencoders) برای یادگیری بازنمایی Alzheimer's Disease سه‌بعدی (3D Multi-modal Representation Learning) در طبقه‌بندی بیماری آژایمر (Alzheimer's Disease) استفاده می‌کند. با تکیه بر معماری Mamba، این مدل توانایی یادگیری بازنمایی بهتری از داده‌های چندوجهی و در نتیجه بهبود دقت در طبقه‌بندی را نشان داده است. مدل Gamba ترکیبی از تکنیک پاشش گاوسی (Gaussian Splattting) و معماری Mamba برای بازسازی سه‌بعدی از نمای منفرد (Single-view 3D Reconstruction) ارائه می‌دهد. این ترکیب با بهره‌گیری از مزایای Mamba هر دو روش، به بازسازی دقیق‌تر و مقاوم‌تر منجر می‌شود. مدل ReMamber بر وظایف بخش‌بندی تصویر تمکز دارد و از مازول Twister برای بهبود عملکرد استفاده می‌کند، به طوری که نتایج بهتری نسبت به روش‌های سنتی در بخش‌بندی به دست می‌آورد. مدل Mambair به عنوان یک خط مبنای (Baseline) ساده برای وظایف بازسازی تصویر (Image Restoration) عمل می‌کند و از مدل‌های 3D Tooth Segmentation (T-Mamba) با هدف بهبود دقت بخش‌بندی دندان‌ها در تصاویر سه‌بعدی (3D Frequency-based Features) و وابستگی‌های طولانی مدت طراحی شده است. این مدل با ترکیب ویژگی‌های مبتنی بر فرکانس (Frequency-based Features) و وابستگی‌های طولانی مدت دروازه‌دار (Vision Mamba) درون معماری Gated Long-range Dependencies در شرایط دشوار

تصویربرداری مانند نویز، کنتراست پایین و وجود آرتفیکت‌ها افزایش می‌دهد. هرچند شبکه‌های عصبی کانولوشنی (CNNs) و ترانسفورمراه در بخش‌بندی تصاویر کاربرد گسترده‌ای دارند، اما در مدیریت وابستگی‌های بلندمدت به دلیل محدودیت‌های محلی یا پیچیدگی محاسباتی ضعف دارند. در بخش‌بندی سه‌بعدی دندان‌ها که برای تشخیص ارتدنسی حیاتی است چالش‌هایی مانند نویز، کنتراست پایین و آرتفیکت‌های Shared Positional موجود در تصاویر CBCT فرآیند را دشوار می‌کند. مدل T-Mamba با ادغام کدگذاری موقعیت اشتراکی (Shared Positional Encoding) و ویژگی‌های مبتنی بر فرکانس در معماری Vision Mamba به حفظ موقعیت‌های مکانی و بهبود ویژگی‌ها در حوزه‌ی فرکانس کمک می‌کند. این مدل از واحد انتخاب دروازه‌ای (Gate Selection Unit) استفاده می‌کند که دو ویژگی حوزه‌ی مکانی و یک ویژگی حوزه‌ی فرکانس را به صورت تطبیقی ترکیب می‌کند. T-Mamba نتایج پیشرفته‌ای در مجموعه‌داده‌های عمومی ASSD، HD، DSC، SO، IoU و CBCT ارائه کرده و در شاخص‌های مختلف ارزیابی مانند U، IoU، SO، HD و ASSD به طور قابل توجهی از روش‌های پیشین عملکرد بهتری نشان داده است.

Avg.	Path-X	Pathfinder	Image	Retrieval	Text	ListOps	Model (Input length)
	(۱۶۳۸۴)	(۱۰۲۴)	(۱۰۲۴)	(۴۰۰۰)	(۴۰۹۶)	(۲۰۴۸)	
۵۳.۹۹	X	۷۱.۴۰	۴۲.۴۴	۵۷.۴۶	۶۴.۲۷	۳۷.۳۶	Transformer
۴۶.۷۱	X	۶۶.۶۳	۴۱.۴۶	۵۳.۳۹	۵۲.۹۸	۱۵.۸۲	Local Attention
۵۱.۰۳	X	۷۱.۷۱	۴۴.۲۴	۵۹.۵۹	۶۳.۵۸	۱۷.۰۷	Sparse Trans.
۵۲.۸۸	X	۶۹.۷۱	۴۲.۲۲	۵۶.۸۹	۶۲.۸۵	۳۵.۶۳	Longformer
۵۱.۱۴	X	۷۶.۳۴	۳۸.۵۶	۵۲.۲۷	۵۳.۹۴	۳۵.۷۰	Linformer
۵۰.۵۶	X	۶۸.۰۰	۳۸.۰۷	۵۳.۴۰	۵۶.۱۰	۳۷.۲۷	Reformer
۵۱.۲۳	X	۶۷.۴۵	۴۱.۲۳	۵۳.۸۳	۶۱.۲۰	۳۳.۶۷	Sinkhorn Transformer
۵۲.۴۰	X	۶۹.۴۵	۴۱.۶۱	۵۴.۶۷	۶۱.۹۸	۳۶.۹۹	Synthesizer
۵۴.۱۷	X	۷۴.۸۷	۴۰.۸۳	۵۹.۲۹	۶۴.۰۲	۳۶.۰۵	BigBird
۵۰.۴۶	X	۷۵.۳۰	۴۲.۳۴	۵۳.۰۹	۶۵.۹۰	۱۶.۱۳	Linear Trans.
۵۱.۸۱	X	۷۷.۰۵	۴۲.۷۷	۵۳.۸۲	۶۵.۴۰	۱۸.۰۱	Performer
۵۱.۷۶	-	۷۱.۹۶	۵۱.۲۳	۸۳.۱۵	۶۷.۷۰	۳۶.۵۰	cosFormer
۵۱.۰۹	-	۷۰.۲۵	۴۷.۴۰	۸۶.۱۰	۶۴.۱۰	۳۸.۷۰	FLASH
۵۴.۴۲	X	۷۷.۸۰	۳۸.۶۷	۵۹.۶۱	۶۵.۱۱	۳۵.۳۳	FNet
۵۷.۴۶	X	۷۰.۹۴	۴۱.۵۸	۷۹.۵۶	۶۵.۰۲	۳۷.۱۵	Nyströmformer
۵۹.۳۷	X	۷۷.۷۲	۴۷.۳۸	۷۹.۲۹	۶۴.۰۷	۳۷.۲۵	Luna-256
۶۱.۴۱	X	۶۸.۷۸	۴۶.۰۵	۶۳.۹۹	۷۸.۶۹	۴۹.۵۳	H-Transformer-1D
۶۸.۰۲	X	۹۱.۵۱	۸۸.۹۰	X	۸۴.۰۸	۴۳.۶۰	CCNN
۸۰.۴۸	۸۸.۱۰	۸۶.۰۵	۸۷.۲۶	۸۷.۰۹	۷۶.۰۲	۵۸.۳۵	S4
۸۱.۱۸	۸۵.۶۰	۸۴.۷۰	۸۴.۹۰	۸۷.۶۰	۸۴.۹۰	۵۹.۷۰	DSSEXP
۸۱.۸۸	۸۷.۸۰	۸۴.۶۰	۸۵.۷۰	۸۷.۸۰	۸۴.۸۰	۶۰.۶۰	DSSSOFTMAX
۸۴.۸۹	۹۱.۹۵	۹۳.۰۶	۸۸.۱۹	۸۹.۴۶	۸۶.۱۸	۶۰.۴۷	S4D-LegS
۸۵.۶۶	۹۳.۸۱	۹۴.۴۱	۸۵.۸۰	۹۰.۹۷	۹۰.۱۹	۵۸.۷۶	Mega-chunk($\mathcal{O}(L)$)
۸۶.۰۹	۹۶.۳۵	۹۴.۲۰	۸۸.۶۵	۹۰.۹۰	۸۶.۸۲	۵۹.۶۰	TNN
۸۶.۲۱	۹۶.۱۰	۹۳.۰۰	۸۸.۲۴	۹۰.۹۷	۸۷.۹۰	۶۱.۰۴	LRU
۸۶.۹۱	۹۷.۵۰	۹۲.۹۲	۸۸.۶۹	۹۴.۲۳	۸۸.۱۴	۵۹.۹۵	HGRN
۸۷.۱۷	۹۷.۸۳	۹۵.۴۶	۸۷.۹۷	۹۱.۱۱	۸۹.۲	۶۱.۴۵	SGConv
۸۷.۳۲	۹۶.۶۶	۹۴.۸	۸۹.۵۰	۹۱.۲۰	۸۹.۰۲	۶۲.۷۵	Liquid-S4
۸۷.۴۶	۹۸.۵۸	۹۵.۳۳	۸۸.۰۰	۹۱.۴۰	۸۹.۳۱	۶۲.۱۵	S5
۸۸.۲۱	۹۷.۹۸	۹۶.۰۱	۹۰.۴۴	۹۱.۲۵	۹۰.۴۳	۶۳.۱۴	Mega ($\mathcal{O}(L^2)$)

جدول ۳: دقت آزمون در وظایف معيار LRA. علامت X نشان می‌دهد که عملکرد مدل از حد تصادفی فراتر نرفته است. ارجاعات به مدل اصلی اشاره دارند. نتایج مدل‌هایی از Performer Transformer تا Transformer (Tay et al. (2020) استخراج شده‌اند. این جدول با استفاده از داده‌های مقاله‌ی HGRN (Smith et al. (2022) نوشته Qin et al. (2023) و مقاله‌ی S5 نوشته GRL (GRL) گردآوری شده است، به گونه‌ای که نتایج در قالبی یکپارچه ارائه می‌شوند.

B100	B15	B10	B5	Model
۱۱.۲	۱۱.۹	۱۲.۳		GPT (125M)
۱۱.۱	۱۱.۸	۱۲.۳		Hyena-2 (153M)
۹.۱	۹.۸	۱۱.۴		GPT (355M)
۹.۲	۹.۸	۱۱.۳		Hyena-2 (355M)
۴.۵۶	-	-	-	Transformer (1000M)
۵.۰۷	-	-	-	LRU (1000M)
۴.۱۴	-	-	-	HGRN (1000M)

جدول ۴: نتایج بر روی مجموعه‌داده Pile: اندازه مدل‌ها و امتیازات Perplexity. جدول زیر مدل‌های زبانی مختلفی را نشان می‌دهد که بر روی تعداد متفاوتی از توکن‌ها (از ۵ میلیارد تا ۱۰۰ میلیارد) در مجموعه‌داده Pile آموخته شده‌اند. مقادیر پایین‌تر (PPL) نشان‌دهنده عملکرد بهتر در وظایف مدل‌سازی زبان هستند. این نتایج از مقالات HGRN (GRL) و Hyena Hierarchy (GRL) اقتباس شده‌اند.

Top-1 Acc.	FLOPs	#Params.	Image Size	Method
Convnets				
77.9	—	45 M	224 ²	ResNet-101
81.7	8.0 G	39 M	224 ²	RegNetY-8G
78.3	—	60 M	224 ²	ResNet-152
82.9	16.0 G	84 M	224 ²	RegNetY-16G
Transformers				
79.8	4.6 G	22M	224 ²	DeiT-S
81.3	4.5 G	29 M	224 ²	Swin-T
82.9	4.2 G	19 M	224 ²	EffNet-B4
82.9	4.1 G	22.7 M	224 ²	WaveViT-H-S*
84.3	3.9 G	22.2 M	224 ²	SpectFormer-H-S
84.2	3.9 G	22 M	224 ²	SVT-H-S
84.5	4.1 G	21.7 M	224 ²	SCT-H-S
83.6	9.9 G	30 M	456 ²	EffNet-B5
83.0	8.7 G	50 M	224 ²	Swin-S
84.5	9.3 G	45 M	224 ²	CMT-B
84.5	11.7 G	59 M	224 ²	MaxViT-S
84.6	9.4 G	48 M	224 ²	iFormer-B*
84.8	7.2 G	33 M	224 ²	Wave-ViT-B*
85.1	6.3 G	33.1 M	224 ²	SpectFormer-H-B*
85.2	6.3 G	32.8 M	224 ²	SVT-H-B*
85.2	6.5 G	32.5 M	224 ²	SCT-H-B*
79.5	—	45 M	224 ²	M2-ViT-b
81.8	17.5 G	86 M	224 ²	DeiT-B
83.5	15.5 G	88 M	224 ²	Swin-B
83.5	—	50 M	224 ²	M2-Swin-B
84.0	19.0 G	43 M	224 ²	EffNet-B6
85.0	23.4 G	120 M	224 ²	MaxViT-B
85.4	20.9 G	87 M	224 ²	VOLO-D3*
85.5	14.8 G	57 M	224 ²	Wave-ViT-L*
85.7	12.7 G	54.7 M	224 ²	SpectFormer-H-L*
85.7	12.7 G	54.0 M	224 ²	SVT-H-L*
85.9	13.4 G	54.1 M	224 ²	SCT-H-L*
SSMs				
76.1	—	7 M	224 ²	Vim-Ti
77.9	3.0 G	7 M	224 ²	PlainMamba-L1
82.2	5.6 G	22 M	224 ²	Vmamba-T
81.1	3.6 G	18.5 M	224 ²	SiMBA-S(Monarch)
81.7	—	24 M	224 ²	Mamba-2D-S
81.7	2.4 G	15.3 M	224 ²	siMBA-S(EinFFT)
82.7	5.7 G	26 M	224 ²	LocalVMamba-T
82.7	—	20 M	224 ²	Vim2-T
84.0	5.0 G	26.5 M	224 ²	SiMBA-S(MLP)
80.5	—	26 M	224 ²	Vim-S
81.6	8.1 G	25 M	224 ²	PlainMamba-L2
82.6	6.3 G	26.9 M	224 ²	SiMBA-B(Monarch)
83.0	—	92 M	224 ²	Mamba-2D-B
83.5	5.2 G	22.8 M	224 ²	SiMBA-B(EinFFT)
83.5	11.2 G	44 M	224 ²	VMamba-S
83.7	11.4 G	50 M	224 ²	Local VMamba-S
83.7	—	43 M	224 ²	Vim2-S
84.7	9.0 G	40.0 M	224 ²	SiMBA-B(MLP)
78.5	—	88 M	224 ²	Hyena Vit-B
80.4	—	89 M	224 ²	S4ND-ViT-B
82.3	14.5 G	50 M	224 ²	PlainMamba-L3
83.2	18.0 G	75 M	224 ²	VMamba-B
83.8	10.7 G	42 M	224 ²	SiMBA-L(Monarch)
83.9	—	76 M	224 ²	Vim2-B
84.4	9.6 G	36.6 M	224 ²	SimBA-L(EinFFT)

جدول ۵: نتایج SOTA بر روی مجموعه داده ImageNet-1K. این جدول عملکرد مدل‌های مختلف بینایی ماشین را بر روی مجموعه داده Token Labeling برای وظایف تشخیص تصویر نشان می‌دهد. علامت * نشان می‌دهد که مدل با استفاده از روش برای رمزگذاری پچ‌ها آموزش اضافی دیده است. مدل‌های بینایی بر اساس مقدار GFLOPs به سه دسته تقسیم شده‌اند: کوچک (Small)، پایه (Base) و بزرگ (Large). بازه‌های GFLOPs به ترتیب عبارت‌اند از: کوچک (کمتر از ۵)، پایه (بین ۵ تا ۱۰)، و بزرگ (بین ۱۰ تا ۳۰). این جدول از مقاله SiMBA اقتباس شده است.

HyenaDNA (1.6M)	NT (2.5B, 850 genomes)	NT (2.5B)	NT (500M)	Model Params of Genomes
M6.1	B5.2	B5.2	M5..	
1	850	3,202	1	
62.6	58.0	59.3	53.5	Enhancer
55.7	47.4	50.0	48.5	Enhancer types
81.7	81.4	77.6	73.7	H3
57.1	55.9	44.5	35.8	H3K4me1
53.9	32.6	30.0	28.1	H3K4me2
61.2	42.1	28.1	26.3	H3K4me3
65.1	57.5	50.8	46.2	H3K9ac
66.3	55.0	47.1	37.7	H3K14ac
65.3	63.2	53.3	46.7	H3K36me3
71.6	64.2	59.2	57.7	H3K79me3
79.6	82.2	78.9	79.2	H4
63.7	50.1	42.3	34.4	H4ac
96.5	97.4	96.6	95.4	Promoter all
96.6	97.7	96.9	95.6	Promoter non-TATA
96.7	96.4	95.8	94.8	Promoter TATA
96.6	99.0	98.5	96.5	Splice acceptor
97.3	98.4	98.2	97.2	Splice donor
97.9	98.3	97.8	97.2	Splice all

جدول ۶: ارزیابی مدل Epigenetic Marks برای مجموعه‌داده‌های Nucleotide Transformer (NT) و Enhancer عملکرد از ضریب همبستگی متیو (Matthews Correlation Coefficient – MCC) استفاده شده است. برای مجموعه‌داده‌های Splice Site Promoter و F1-Score، معیار عملکرد از امتیاز Promoter گرفته شده است.

۳.۴ حوزه‌های پزشکی

مدل‌های مبتنی بر Mamba در خط مقدم تحقیقات پیشرفته در حوزه‌های ژنومیک و طراحی دارو قرار دارند. در حوزه زیست‌شناسی، پژوهشگران از Mamba برای تحلیل توالی‌های ژنومی، رمزگشایی تنوع‌های ژنتیکی و در ک بیماری‌های ارثی استفاده می‌کنند. در حالی که مدل‌های مبتنی بر BERT و ترنسفورمرهای Nucleotide Transformers پیش‌تر مورد بررسی قرار گرفته‌اند، مدل‌های مبتنی بر فضای مولکولی (SSMs) در مدل‌سازی توالی‌های ژنومی نتایج امیدوارکننده‌ای نشان داده‌اند. در حوزه شیمی، Mamba نقش مهمی در اکتشاف مولکولی و طراحی داروهای جدید ایفا می‌کند. مدل زبانی شیمیابی (Chemical Language Model – CLM) قادر است مولکول‌های متنوع و زیست‌فعال (bio-active) تولید کند. به تازگی، مدل S4 برای بهبود عملکرد CLM مورد استفاده قرار گرفته و توانسته است بر محدودیت‌های ترنسفورمرهای سنتی غلبه کند. از رمز ژنتیکی انسان تا ترکیبات شیمیابی نوین، Mamba در حال شکل‌دادن به آینده‌ی پزشکی دقیق و نوآوری دارویی است.

- حوزه زیستی (ژنوم): Genomics علمی است که به مطالعه ساختار، عملکرد، تکامل، نقشه‌برداری و ژنوم ویرایش‌های موجودات زنده می‌پردازد. ژنوم انسان تقریباً شامل 3.1 billion base pairs است. مطالعه ژنوم به در ک ریسک ابتلا به بیماری‌های شایع مانند diabetes و cancer کمک می‌کند. در سال‌های اخیر، تلاش‌های متعددی برای پردازش توالی‌های طولانی ژنومی انجام شده است؛ از جمله استفاده از مدل‌های Nucleotide Transformer و ترنسفورمرهای مبتنی بر BERT برای توالی‌یابی DNA. با این حال، ترنسفورمرها در حوزه ژنومیکس با پیچیدگی محاسباتی بالا و محدودیت در اندازه‌ی پنجره‌ی توجه

HyenaDNA (attention window) مواجهه‌اند که توانایی آن‌ها را در مدل‌سازی وابستگی‌های بلندمدت کاهش می‌دهد. مدل نشان داده است که مدل‌های فضای حالت (State Space Models – SSMs) می‌توانند در مدل‌سازی توالی‌های ژنومی عملکردی بهتر از ترانسفورمرها ارائه دهند. در جدول (۴) که از مقاله‌ی HyenaDNA اقتباس شده است، دقت Top-1 مدل‌های مختلف بر روی مجموعه‌داده‌های ژنومی نمایش داده شده است. همچنین، عملکرد مدل‌ها بر روی ۱۸ مجموعه‌داده‌ی ژنومی دیگر در مقاله‌ی Nucleotide Transformer (جدول ۵) گزارش شده است.

- حوزه شیمی (طراحی دارو): طراحی مولکول‌ها از ابتدا مستلزم پیمایش در فضای شیمیابی عظیمی است که اندازه‌ی آن می‌تواند در حدود 10^{60} باشد. در این راستا، مدل زبانی شیمیابی (Chemical Language Model – CLM) به عنوان ابزاری قدرتمند برای تولید مولکول‌های زیست‌فعال (bio-active) و طراحی ساختارهای مولکولی جدید معرفی شده است. مدل‌های CLM در ابتدا بر پایه‌ی شبکه‌های بازگشتی LSTM پیاده‌سازی می‌شدند، اما در ادامه نسخه‌های مبتنی بر ترانسفورمرها نیز توسعه یافتدند. با این حال، پیچیدگی درجه دوم ($O(N^2)$) در ترانسفورمرها ظرفیت آن‌ها برای کاوش در فضای شیمیابی را محدود می‌کند. در پژوهش‌های اخیر، نویسنده‌گان با اनطباق مدل S4 و به کارگیری آن به عنوان یک مدل زبانی مولد (Generative CLM) موفق شده‌اند مولکول‌هایی معتبر، متنوع و زیست‌فعال طراحی کنند. این دستاوردهای گامی مهم در جهت بهبود فرایند طراحی دارو و افزایش کارایی مدل‌های مولد شیمیابی محسوب می‌شود.

HyenaDNA	GPT	DNABERT	CNN	Dataset
۸۵.۱	۸۰.۱	۹۹.۹	۶۹.۰	Mouse Enhancers
۹۱.۳	۸۸.۸	۹۲.۵	۷۸.۶	Coding vs Intergenomic
۹۶.۶	۹۵.۶	۹۶.۵	۹۰.۳	Human vs Worm
۴۷.۲	۷۰.۵	۷۴.۰	۶۹.۵	Human Enhancers Cohn
۸۹.۲	۸۳.۵	۸۵.۷	۶۸.۹	Human Enhancers Ensembl
۹۳.۸	۹۱.۵	۸۸.۱	۹۳.۳	Human Regulatory
۹۶.۶	۸۷.۷	۸۵.۶	۸۴.۶	Human Nontata Promoters
۸۰.۹	۷۳.۰	۷۵.۱	۶۸.۰	Human OCR Ensembl

جدول ۷: دقت Top-1 (به درصد) بر روی مجموعه‌داده‌های ژنومی در مدل‌های از پیش آموزش‌داده شده (HyenaDNA) و DNABERT (GPT) (از ابتدا آموزش‌داده شده)، و Transformer (CNN) (به همراه مدل GPT).

۴.۴ حوزه‌ی ویدئو

روش‌های مدرن پردازش ویدئو معمولاً بر روی کلیپ‌های کوتاه ویدئویی (به طور میانگین بین ۵ تا ۱۰ ثانیه) عمل می‌کنند. با این حال، در کم بلندمدت ویدئو (Long-term Video Understanding) نیازمند پردازش کلیپ‌های طولانی‌تر و مدل‌سازی وابستگی‌های بلندمدت در ویدئوها است. مدل‌های Object Transformers با هدف مدل‌سازی وابستگی‌های بلندمدت در ویدئوها معرفی شده‌اند. با این حال، تلاش‌های اخیر مانند ViS4mer نشان داده‌اند که معماری‌های مبتنی بر Mamba نیز می‌توانند برای درک بلندمدت ویدئو، از جمله وظایف طبقه‌بندی ویدئوهای طولانی، مورد استفاده قرار گیرند. مدل Structured State-Space Sequence (S4) به عنوان یک راه حل نویدبخش برای مدل‌سازی وابستگی‌های پیچیده‌ی فضایی-زمانی در ویدئوهای بلندمدت شناخته شده است. پیچیدگی خطی این مدل آن را به

گزینه‌ای جذاب تبدیل کرده است؛ با این حال، یک محدودیت در آن وجود دارد: این مدل تمام توکن‌های تصویری را به‌طور مساوی در نظر می‌گیرد که می‌تواند بر کارایی و دقت تأثیر منفی بگذارد. برخلاف روش‌های پیشین مبتنی بر ماسک برای کاهش توکن‌ها، مدل Selective S4 (S5) از یک تولید کننده ماسک سبک وزن استفاده می‌کند که به‌طور انتخابی توکن‌های تصویری مهم را برمی‌گزیند. این رویکرد باعث مدل‌سازی کارآمدتر و دقیق‌تر وابستگی‌های بلندمدت در ویدئو می‌شود. نکته‌ی مهم این است که ما با بهره‌گیری از راهنمایی مدل S4 به‌روزشده با مومنتوم، از انجام محاسبات سنگین Dense Self-Attention اجتناب می‌کنیم. با این وجود، مشابه سایر روش‌های کاهش توکن، خطر حذف اشتباہی توکن‌های تصویری مهم وجود دارد. برای افزایش پایداری و حفظ زمینه‌ی زمانی، رویکردی نوین با نام پیشنهاد شده است. این روش به مدل اجازه می‌دهد وابستگی‌های Long-Short Masked Contrastive Learning (LSMCL) زمانی طولانی‌تر را با استفاده از ورودی‌های ویدئویی کوتاه‌تر پیش‌بینی کند. ارزیابی‌های گسترده‌ی LSMCL بر روی مجموعه‌داده‌های چالش‌برانگیز در ک و ویدئوی بلندمدت شامل Breakfast، COIN و LVU نشان می‌دهد که این رویکرد در مقایسه با مدل S4 پیشرفته‌ی قابلی، تا ۹.۶٪ دقت بالاتری کسب کرده است، در حالی که میزان مصرف حافظه را تا ۲۳٪ کاهش داده است. یک VideoMamba رویکرد مبتنی بر مدل‌های فضای حالت (State Space Model – SSM) است که به‌طور خاص برای در ک کارآمد ویدئو طراحی شده است. این مدل دو چالش اصلی در داده‌های ویدئویی، یعنی redundancy محلی و وابستگی‌های سراسری (global dependencies) را به‌طور هم‌زمان برطرف می‌کند. VideoMamba با سازگار کردن نوآورانه‌ی معماری Mamba برای حوزه‌ی ویدئو، این هدف را محقق می‌سازد. در حالی که شبکه‌های عصبی کانولوشنی سه‌بعدی (3D CNNs) و ترنسفورمرهای ویدئویی در مدل‌سازی بلندمدت و پردازش ویدئوهای باوضوح بالا محدودیت دارند، VideoMamba با بهره‌گیری از عملگر خطی ذاتی در Mamba این محدودیت‌ها را برطرف می‌کند. این عملگر دارای پیچیدگی خطی بوده و امکان مدل‌سازی بلندمدت را فراهم می‌کند؛ ویژگی‌ای که برای در ک ویدئوهای طولانی می‌تواند با داده‌هایی از جنس‌های مختلف (مانند تصویر، صوت یا متن) ترکیب شود. با ترکیب این مزایا، VideoMamba توانسته است در ک ویدئو را در مجموعه‌داده‌های مختلف از جمله Breakfast، Something-Something V2 (SSV2)، Kinetics (K400) و COIN به سطحی بی‌سابقه برساند. جدول‌های ۱۵ نتایج Temporal Video Understanding (LVU) پیشرفته‌ی این مدل را در مجموعه‌داده‌های مذکور نشان می‌دهند. SpikeMba یک روش نوآورانه برای مسئله‌ی Grounding است. یکی از وظایف کلیدی در در ک محتوا ویدئویی. این وظیفه شامل شناسایی دقیق بازه‌ها یا لحظات خاصی در یک ویدئو است که با یک پرس‌وجوی متنی خاص مطابقت دارند. به عنوان مثال، در ویدئویی از مسابقه‌ی فوتبال، اگر پرسش «گل زدن مسی» داده شود، مدل باید دقیقاً لحظه‌ای را بیابد که مسی گل می‌زند. روش‌های موجود معمولاً در استخراج ارتباطات دقیق بین چند وجه مختلف داده مانند فریم‌های ویدئو، صوت و متن دچار ضعف‌اند. SpikeMba با ترکیب شبکه‌های عصبی اسپایک محور (Spiking Neural Networks – SNNs) و مدل‌های فضای حالت (SSMs) این مشکل را برطرف می‌کند. در این چارچوب، مؤلفه‌ای به نام Moment Reasoner (CMR) نقش کلیدی در حفظ اطلاعات زمینه‌ای و بررسی ارتباط معنایی بین لحظات ویدئویی ایفا می‌کند. ViViM با Video Vision Mamba مدلی است که برای وظایف بخش‌بندی اشیای پزشکی در ویدئوها طراحی شده است. این مدل با تکیه بر معماری Mamba، توانایی مدل‌سازی توالی و وابستگی‌های زمانی را بهبود می‌بخشد و دقت در بخش‌بندی اشیای ویدئویی را به

شکل قابل توجهی افزایش می دهد. ViViM در کاربردهای پزشکی، مانند تحلیل ویدئوهای آندوسکوپی یا جراحی، کارایی بالایی از خود نشان داده و مسیر تازه‌ای در تلفیق مدل‌های بینایی و سیستم‌های مبتنی بر State Space گشوده است.

K400 Top-5	K400 Top-1	FLOPs (G)	Param (M)	Input Size	Extra Data	iso.	Model	Arch.
۹۳.۹	۷۹.۸	$234 \times 3 \times 10$	۶۰	80×224^2		✗	SlowFast _{R101+NL}	CNN
۹۲.۳	۷۶.۰	$6 \times 3 \times 10$	۴	16×224^2		✗	X3D-M	
۹۴.۶	۸۰.۴	$194 \times 3 \times 10$	۲۰	16×312^2		✗	X3D-XL	
۹۳.۶	۷۸.۸	$88 \times 3 \times 4$	۲۸	32×224^2	IN-1K	✗	Swin-T	Trans.
۹۴.۵	۸۰.۶	$88 \times 3 \times 4$	۸۸	32×224^2	IN-1K	✗	Swin-B	
۹۵.۵	۸۲.۷	$282 \times 3 \times 4$	۸۸	32×224^2	IN-21K	✗	Swin-B	
۹۴.۴	۸۰.۲	$70 \times 1 \times 5$	۳۷	32×224^2		✗	MViTv1-B	CNN+Trans.
۹۴.۶	۸۱.۰	$64 \times 1 \times 5$	۳۵	16×224^2		✗	MViTv2-S	
۹۴.۷	۸۰.۸	$42 \times 1 \times 4$	۲۱	16×224^2	IN-1K	✗	UniFormer-S	
۹۵.۱	۸۲.۰	$97 \times 1 \times 4$	۵۰	16×224^2	IN-1K	✗	UniFormer-B	
۹۵.۴	۸۳.۰	$259 \times 3 \times 4$	۵۰	32×224^2	IN-1K	✗	UniFormer-B	
-	۷۹.۲	$1040 \times 1 \times 1$	۱۲۱	64×224^2	IN-21K	✓	STAM	Trans.
۹۴.۷	۸۰.۷	$2380 \times 3 \times 1$	۱۲۱	96×224^2	IN-21K	✓	TimeSformer-L	
۹۴.۷	۸۱.۳	$3992 \times 3 \times 4$	۳۱۱	16×224^2	IN-21K	✓	ViViT-L	
۹۵.۲	۸۱.۱	$959 \times 3 \times 10$	۳۱۱	16×224^2	IN-21K	✓	Mformer-HR	
۹۳.۵	۷۸.۱	$17 \times 3 \times 4$	۷	16×224^2	IN-1K	✓	VideoMamba-Ti	SSM
۹۳.۹	۷۸.۸	$34 \times 3 \times 4$	۷	32×224^2	IN-1K	✓	VideoMamba-Ti	
۹۴.۸	۸۰.۳	$202 \times 3 \times 4$	۷	64×224^2	IN-1K	✓	VideoMamba-Ti	
۹۴.۸	۸۰.۸	$68 \times 3 \times 4$	۲۶	16×224^2	IN-1K	✓	VideoMamba-S	
۹۵.۲	۸۱.۵	$135 \times 3 \times 4$	۲۶	32×224^2	IN-1K	✓	VideoMamba-S	
۹۵.۶	۸۲.۷	$395 \times 3 \times 4$	۲۶	64×224^2	IN-1K	✓	VideoMamba-S	
۹۵.۴	۸۱.۹	$202 \times 3 \times 4$	۷۴	16×224^2	IN-1K	✓	VideoMamba-M	
۹۵.۷	۸۲.۴	$403 \times 3 \times 4$	۷۴	32×224^2	IN-1K	✓	VideoMamba-M	
۹۶.۱	۸۳.۳	$2368 \times 3 \times 4$	۷۴	64×224^2	IN-1K	✓	VideoMamba-M	
-	۸۱.۱	$282 \times 3 \times 4$	۸۸	32×224^2	IN-1K	✗	BEVT-B _{800e}	Trans.
۹۴.۹	۸۱.۳	$180 \times 3 \times 7$	۸۷	16×224^2		✓	ST-MAE-B _{2400e}	
۹۳.۸	۷۹.۰	$57 \times 3 \times 5$	۸۲	16×224^2		✓	VideoMAE-S _{2400e}	
۹۵.۱	۸۱.۵	$180 \times 3 \times 5$	۸۷	16×224^2		✓	VideoMAE-B _{1600e}	
۹۷.۰	۸۵.۷	$180 \times 3 \times 5$	۸۷	8×224^2	CLIP-400M	✓	UMT-B _{800e}	
۹۵.۴	۸۲.۰	$101 \times 3 \times 4$	۷۴	8×224^2	CLIP-400M	✓	VideoMamba-M _{800e}	SSM
۹۵.۹	۸۳.۴	$202 \times 3 \times 4$	۷۴	16×224^2	CLIP-400M	✓	VideoMamba-M _{800e}	
۹۶.۲	۸۳.۹	$403 \times 3 \times 4$	۷۴	32×224^2	CLIP-400M	✓	VideoMamba-M _{800e}	
۹۶.۹	۸۵.۰	$2368 \times 3 \times 4$	۷۴	64×224^2	CLIP-400M	✓	VideoMamba-M _{800e}	

جدول ۸: مقایسه مدل VideoMamba با روش‌های پیشرفته روز (State-of-the-Art) در مجموعه داده Kinetics-400 مربوط به صحنه‌ها. عبارت iso نشان‌دهنده معماری ایزوتروپیک (بدون لایه‌های downsampling) است. روش Masked Modeling نیز برای مدل Mamba کاربرد دارد، اما به دلیل ناهمخوانی در معماری، منجر به همترازی ضعیف‌تر می‌شود. این جدول از مقاله VideoMamba اقتباس شده است.

SSV2 Top-5	SSV2 Top-1	FLOPs (G)	Param (M)	Input Size	Extra Data	iso.	Model	Arch.
۸۷.۶	۹۳.۱	$106 \times 3 \times 1$	۵۳	32×224^2	K400	✗	SlowFast _{R101}	CNN
۸۹.۳	۹۴.۵	$75 \times 1 \times 1$	۲۱	16×224^2	IN-1K	✗	CT-Net _{R50}	
۹۱.۶	۹۵.۳	$75 \times 1 \times 1$	۲۶	16×224^2	IN-1K	✗	TDN _{R50}	
۹۲.۷	۹۶.۶	$88 \times 3 \times 1$	۸۹	32×224^2	K400	✗	Swin-B	Trans.
۸۹.۲	۹۴.۷	$71 \times 3 \times 1$	۳۷	16×224^2	K400	✗	MViTv1-B	CNN+Trans.
۹۰.۸	۹۷.۱	$170 \times 3 \times 1$	۳۷	32×224^2	K400	✗	MViTv1-B	
۹۱.۴	۹۸.۲	$65 \times 3 \times 1$	۳۵	16×224^2	K400	✗	MViTv2-S	
۹۲.۷	۷۰.۵	$225 \times 3 \times 1$	۵۱	32×224^2	K400	✗	MViTv2-B	
۹۱.۴	۹۷.۷	$42 \times 3 \times 1$	۲۰	16×224^2	IN-21K+K400	✗	UniFormer-S	
۹۲.۸	۷۰.۴	$97 \times 3 \times 1$	۵۰	16×224^2	IN-21K+K400	✗	UniFormer-B	
-	۹۲.۵	$1703 \times 3 \times 1$	۱۲۱	16×224^2	IN-21K	✓	TimeSformer-HR	Trans.
۸۹.۸	۹۵.۴	$3992 \times 3 \times 4$	۳۱۱	16×224^2	IN-21K+K400	✓	ViViT-L	
۹۱.۲	۹۸.۱	$1185 \times 3 \times 1$	۳۱۱	16×336^2	IN-21K+K400	✓	Mformer-HR	
۸۹.۱	۹۵.۱	$9 \times 3 \times 2$	✓	8×224^2	IN-1K	✓	VideoMamba-Ti	SSM
۸۹.۶	۹۹.۰	$17 \times 3 \times 1$	✓	16×224^2	IN-1K	✓	VideoMamba-Ti	
۹۰.۰	۹۹.۲	$28 \times 3 \times 2$	✓	16×224^2	IN-1K	✓	VideoMamba-Ti	
۹۰.۴	۹۹.۶	$34 \times 3 \times 2$	۲۶	8×224^2	IN-1K	✓	VideoMamba-S	
۹۰.۹	۹۷.۶	$68 \times 3 \times 2$	۲۶	16×224^2	IN-1K	✓	VideoMamba-S	
۹۱.۲	۶۸.۱	$112 \times 3 \times 2$	۲۶	16×224^2	IN-1K	✓	VideoMamba-S	
۹۱.۰	۹۷.۳	$101 \times 3 \times 4$	۷۶	8×224^2	IN-1K	✓	VideoMamba-M	
۹۱.۴	۶۸.۳	$202 \times 3 \times 4$	۷۶	16×224^2	IN-1K	✓	VideoMamba-M	
۹۱.۶	۶۸.۴	$303 \times 3 \times 4$	۷۶	16×224^2	IN-1K	✓	VideoMamba-M	
-	۷۰.۶	$321 \times 3 \times 1$	۸۸	32×224^2	IN-1K+K400	✗	BEVT-B _{800e}	Trans.
۹۰.۳	۹۹.۸	$57 \times 3 \times 2$	۸۲	16×224^2		✓	VideoMAE-B _{2400s}	
۹۲.۴	۷۰.۸	$180 \times 3 \times 2$	۸۷	16×224^2		✓	VideoMAE-B _{2400e}	
۹۲.۶	۷۰.۸	$180 \times 3 \times 2$	۸۷	8×224^2	CLIP-400M	✓	UMT-B _{800e}	
۹۲.۶	۷۰.۲	$101 \times 3 \times 2$	۷۶	8×224^2	CLIP-400M	✓	VideoMamba-M _{800e}	SSM
۹۲.۷	۷۱.۰	$202 \times 3 \times 2$	۷۶	16×224^2	CLIP-400M	✓	VideoMamba-M _{800e}	
۹۲.۹	۷۱.۴	$303 \times 3 \times 2$	۷۶	16×288^2	CLIP-400M	✓	VideoMamba-M _{800e}	

جدول ۹: مقایسه مدل VideoMamba با روش‌های پیشرفته روز (State-of-the-Art) در مجموعه داده SthSth V2 مرتبط با پردازش‌های زمانی. عبارت iso به معنای معماری ایزوتروپیک (بدون لایه‌های downsampling) است. روش Masked Modeling نیز برای مدل VideoMAE قابل استفاده است و عملکرد بهتری نسبت به VideoMAE دارد. این جدول از مقاله VideoMamba اقتباس شده است.

User(↓)		Metadata(↑)				Content(↑)			Backbone	e2e	Method
View	Like	Year	Wtr.	Genre	Dir.	Scene	Speak	Rel.			
۴.۴۶	۰.۳۲	۳۶.۱۰	۳۸.۵۰	۵۱.۹۰	۴۷.۳۰	۵۴.۹۰	۳۷.۹۰	۵۲.۸۰	S3D	✗	VideoBERT
۳.۵۵	۰.۲۳	۳۹.۱۰	۳۴.۵۰	۵۴.۶۰	۵۱.۲۰	۵۶.۹۰	۳۹.۴۰	۵۳.۱۰	ResNet	✗	Object Trans.
۳.۸۳	۰.۳۱	۳۹.۱۶	۴۲.۲۶	۵۲.۷۰	۵۶.۰۷	۶۲.۷۹	۳۷.۳۱	۵۲.۳۸	ViT-L	✗	LST
۳.۹۳	۰.۳۱	۴۱.۲۵	۴۸.۲۱	۴۹.۴۵	۵۸.۸۷	۶۰.۴۶	۳۸.۸۰	۵۰.۰۰	ViT-L	✗	Performer
۳.۸۶	۰.۲۹	۴۳.۳۵	۴۷.۰۲	۵۵.۷۹	۵۵.۱۴	۶۶.۲۷	۳۹.۳۹	۵۰.۰۰	ViT-L	✗	Orthoformer
۳.۶۳	۰.۲۶	۴۴.۷۵	۴۸.۸۰	۵۴.۷۱	۶۲.۶۱	۶۷.۴۴	۴۰.۷۹	۵۷.۱۴	ViT-L	✗	ViS4mer
۲.۹۰	۰.۲۶	۴۸.۲۳	۵۲.۹۸	۶۵.۲۴	۶۷.۲۹	۷۰.۷۳	۴۰.۴۳	۶۲.۵۰	VM-Ti	✓	VideoMamba _{f32}

جدول ۱۰: مقایسه مدل‌ها با روش‌های پیشرفته روز (State-of-the-Art) بر روی مجموعه داده‌ی LVU. عبارت e2e به معنی روش‌های انتها به انتها (end-to-end) است که بدون استفاده از استخراج ویژگی‌های از پیش محاسبه شده عمل می‌کنند. اختصارات Dir., Rel., Wtr. به ترتیب به معنای «روابط» (Relation)، «کارگردان» (Director) و «نویسنده» (Writer) (Video) هستند. این جدول از مقاله‌ی Video-Mamba اقتباس شده است.

۵.۴ حوزه‌ی داده‌های جدولی (Tabular Domain)

اگرچه شبکه‌های عصبی کانولوشنی (CNN) و ترانسفورمرها عملکرد قابل توجهی بر روی داده‌های جدولی از خود نشان داده‌اند، اما اجرای آن‌ها معمولاً به منابع محاسباتی قابل توجه، پیش‌پردازش داده و تنظیمات دقیق (tuning) نیاز دارد. افزون بر این، این مدل‌ها در یادگیری تدریجی ویژگی‌ها (Incremental Feature Learning) که در آن ویژگی‌ها به صورت متوالی به مجموعه داده اضافه می‌شوند، ممکن است با چالش مواجه شوند. مدل MambaTab نشان داده است که می‌تواند یادگیری تدریجی ویژگی‌ها را به صورت کارآمد مدل‌سازی کند و در عین حال، عملکردی قابل مقایسه با CNN‌ها و ترانسفورمرها ارائه دهد، با این تفاوت که از نظر تعداد پارامترها به مراتب کارآمدتر است. برخلاف مدل‌های سنتی، MambaTab قادر است خود را با مجموعه داده‌هایی که در طول زمان ویژگی‌های جدیدی به آن‌ها افزوده می‌شود، بدون نیاز به بازآموزی کامل سازگار کند. همچنین این مدل به حداقل پیش‌پردازش نیاز دارد و از منابع محاسباتی کمتری استفاده می‌کند. در این پژوهش، رویکردی مبتنی بر مدل فضای حالت ساختاریافته (SSM - Structured State-Space Model) برای داده‌های جدولی توسعه داده شده است که با عنوان MambaTab شناخته می‌شود. مدل‌های SSM توانایی بالایی در استخراج بازنمایی‌های مؤثر از داده‌هایی با وابستگی‌های بلندمدت دارند. MambaTab از معماری Mamba یکی از گونه‌های نوظهور SSM برای یادگیری نظارت‌شده‌ی انتها (End-to-End Supervised Learning) بر روی داده‌های جدولی استفاده می‌کند. در مقایسه با مدل‌های

مرجع پیشرفته MambaTab (State-of-the-Art) عملکرد بهتری را با تعداد پارامتر کمتر و نیاز حداقلی به پیش‌پردازش ارائه می‌دهد؛ موضوعی که در آزمایش‌های تجربی بر روی مجموعه داده‌های متنوع به صورت تجربی تأیید شده است. کارایی، مقیاس‌پذیری، قابلیت تعیین و دقت بالای پیش‌بینی در MambaTab، این مدل را به یک راه حل سبک، آماده‌به‌کار (Out-of-the-Box) و مناسب برای کاربردهای گسترده در داده‌های جدولی تبدیل کرده است.

۶.۴ حوزه‌ی صوت و گفتار (Audio and Speech Domain)

در حوزه‌ی پردازش گفتار، شبکه‌های عصبی بازگشتی (Recurrent Neural Networks - RNNs) به طور سنتی انتخاب اصلی برای انجام وظایف مختلف بوده‌اند. با این حال، ظهور ترانسفورمراهای مبتنی بر مکانیزم توجه (Attention-based Transformers) موجب تلاش‌هایی برای به کارگیری آن‌ها در مجموعه داده‌های گفتاری شد. اگرچه شبکه‌های مبتنی بر توجه در مدل‌سازی وابستگی‌های بلندمدت عملکرد قابل توجهی دارند، اما در مدیریت وابستگی‌های محلی معمولاً با چالش موافقه می‌شوند و نیاز به ترکیب با شبکه‌های کانولوشنی دارند. این ترکیب در مدل‌های نظری Conformer و BranchFormer به خوبی مشاهده می‌شود. یکی از تلاش‌های پیشگامانه در به کارگیری مدل‌های فضای حالت (State Space Models - SSMs) در وظایف گفتاری، مدل SaShiMi است. این مدل با توجه به ناپایداری عددی S4 در وظایف خودرگرسیو، ماتریس حالت را به صورت Hurwitz تعریف می‌کند تا برای تولید سیگنال‌های صوتی مناسب شود. مدل (MH-SSM) Multi-Head State Space Model یک لایه‌ی چندسری SSM را به عنوان جایگزینی برای لایه‌ی توجه در ترانسفورمراهای معرفی می‌کند و مدل ترکیبی حاصل را StateFormer می‌نامد. StateFormer توانسته است عملکردی در سطح مدل‌های پیشرفته (State-of-the-Art) در مجموعه داده‌هایی مانند LibriSpeech ارائه دهد. مدل SP-Mamba به ناکارآمدی ترانسفورمراهای Quadratic مبتنی بر توجه در مدل‌سازی سیگنال‌های گفتاری بلند اشاره می‌کند، زیرا این مدل‌ها از پیچیدگی محاسباتی درجه دوم (Complexity) رنج می‌برند. در عوض، از معماری دوطرفی Mamba بهره می‌برد که هم ویژگی‌های حوزه‌ی زمان و هم حوزه‌ی فرکانس را ترکیب می‌کند. این مدل، شبکه‌ی Bidirectional LSTM (BLSTM) را در مأذول زمان‌افر کانس با مکانیزم توجه چندسری جایگزین کرده است. ارزیابی این مدل بر روی مجموعه داده‌هایی مانند WHAM و LibriSpeech، موفقیت آن را در بهبود مدل‌سازی سیگنال‌های گفتاری تأیید می‌کند. به طور همزمان، مدل Dual-Path Mamba (DPMamba) سیگنال‌های گفتاری بلند را به بخش‌های کوچک‌تر تقسیم کرده و در هر دو جهت زمانی، مدل Mamba را بر روی آن‌ها اعمال می‌کند. DPMamba عملکردی برتر از ترانسفورمراهای در وظایفی مانند جداسازی گفتار نشان داده است، که این موضوع با ارزیابی بر روی مجموعه داده‌هایی مانند WSJ0-2mix تأیید شده است. علاوه بر این، مدل Multichannel Long-Term Streaming Neural Speech Enhancement برای بهبود گفتار گویندگان ایستا و متحرک، نوعی نسخه‌ی مبتنی بر Mamba از معماری SpatialNet را پیشنهاد می‌کند که جایگزین مکانیزم خودتوجهی (Self-Attention) شده است. این رویکرد نشان‌دهنده‌ی انعطاف‌پذیری بالای مدل‌های فضای حالت (SSMs) در بهبود وظایف مرتبط با گفتار است.

۷.۴ حوزه‌ی سری‌های زمانی (Time Series Domain)

در حوزه‌ی مدل‌سازی داده‌های سری زمانی، رویکردهای سنتی عمدتاً بر پایه‌ی مدل‌های آماری مانند ARIMA (AutoRegressive) برای پیش‌بینی و تحلیل استوار بوده‌اند. با این حال، پیشرفت‌های اخیر باعث تغییر رویکرد به‌سمت Integrated Moving Average استفاده از ترنسفورمرها (Transformers) که در ابتدا برای پردازش زبان طبیعی (NLP) طراحی شده بودند در حوزه‌ی سری‌های زمانی شده است. مدل‌هایی مانند PatchTST، TFT، FEDFormer، Informer، AutoFormer برای سازگارسازی معناری ترنسفورمر با داده‌های سری زمانی توسعه یافته‌اند. با وجود اثربخشی این مدل‌ها، بسیاری از آن‌ها با دو چالش اساسی روبرو هستند: نخست، پیچیدگی محاسباتی مکانیزم توجه (Attention Complexity) و دوم، توانایی محدود در ثبت وابستگی‌های بلندمدت که ذاتاً در داده‌های State Space Models سری زمانی وجود دارد. برای غلبه بر این چالش‌ها، پژوهش‌های اخیر به‌سمت ادغام مدل‌های فضای حالت (-SSMs) از جمله S4 در تحلیل سری‌های زمانی حرکت کرده‌اند. رویکردهای پیشرفتی کنونی در مدل‌سازی سری‌های زمانی شامل مدل‌های نواورانه‌ای چون MambaMix، SiMBA و Timemachine هستند. این مدل‌ها با بهره‌گیری از قدرت مدل‌های فضای حالت، وابستگی‌ها و الگوهای زمانی موجود در داده‌های سری زمانی را به صورت کارآمد ثبت می‌کنند. برای ارائه‌ی مقایسه‌ای جامع میان ترنسفورمرها و مدل‌های فضای حالت در تحلیل سری‌های زمانی، نتایج معیارهای بنچمارک از هر دو حوزه گردآوری شده‌اند که در جدول ۵.۲.۵ (اقتباس شده از مقاله‌ی SiMBA) آورده شده است. چنین تحلیل‌های مقایسه‌ای به پژوهشگران کمک می‌کند تا بینش‌های ارزشمندی درباره‌ی نقاط قوت و ضعف هر رویکرد به‌دست آورند و مسیر پیشرفت‌های آتی در مدل‌سازی داده‌های سری زمانی را هموار سازند.

MTGNN	Pyraformer	Autoformer	FEDFormer	DLinear	ETSFomer	PatchTST	Crossformer	TimesNet	Simba	Models Metric
MAE	MSE	MAE	MSE	MAE	MSE	MAE	MSE	MAE	MSE	
ETTm1										
0.446	0.379	0.510	0.543	0.475	0.505	0.419	0.379	0.372	0.345	0.398
0.430	0.470	0.655	0.754	0.523	0.621	0.453	0.426	0.389	0.380	0.410
0.437	0.473	0.655	0.754	0.587	0.613	0.459	0.506	0.413	0.413	0.438
0.499	0.553	0.724	0.905	0.561	0.671	0.490	0.543	0.453	0.474	0.462
ETTm2										
0.299	0.261	0.495	0.438	0.340	0.255	0.287	0.207	0.292	0.193	0.280
0.328	0.265	0.673	0.730	0.340	0.281	0.328	0.269	0.362	0.284	0.319
0.374	0.361	0.845	1.201	0.372	0.339	0.366	0.325	0.422	0.369	0.357
0.379	0.436	1.451	3.625	0.432	0.432	0.436	0.421	0.522	0.554	0.414
ETTh1										
0.517	0.515	0.681	0.664	0.459	0.449	0.415	0.376	0.400	0.386	0.479
0.522	0.552	0.681	0.691	0.518	0.514	0.448	0.420	0.432	0.437	0.504
0.597	0.609	0.681	0.693	0.512	0.514	0.507	0.506	0.460	0.481	0.504
0.597	0.609	0.894	0.963	0.512	0.514	0.507	0.506	0.516	0.519	0.535
ETTh2										
0.454	0.354	0.597	0.645	0.388	0.346	0.397	0.358	0.387	0.333	0.391
0.457	0.355	0.688	0.748	0.388	0.352	0.429	0.384	0.437	0.379	0.437
0.540	0.516	0.747	0.907	0.486	0.482	0.487	0.496	0.541	0.594	0.479
0.576	0.532	0.783	0.963	0.511	0.515	0.474	0.463	0.657	0.831	0.497
Electricity										
0.316	0.193	0.473	0.386	0.311	0.201	0.287	0.203	0.304	0.213	0.291
0.318	0.216	0.447	0.473	0.338	0.231	0.329	0.214	0.314	0.209	0.329
0.348	0.260	0.447	0.473	0.338	0.231	0.329	0.214	0.301	0.209	0.329
0.398	0.290	0.445	0.376	0.338	0.254	0.329	0.229	0.330	0.245	0.324
Traffic										
0.437	0.660	0.468	0.867	0.388	0.613	0.366	0.587	0.396	0.650	0.392
0.438	0.649	0.467	0.869	0.382	0.612	0.373	0.604	0.373	0.598	0.396
0.437	0.643	0.467	0.869	0.382	0.616	0.373	0.621	0.370	0.639	0.396
0.437	0.639	0.473	0.891	0.408	0.660	0.382	0.626	0.394	0.645	0.396
Weather										
0.329	0.230	0.556	0.622	0.311	0.266	0.292	0.226	0.287	0.217	0.281
0.329	0.230	0.574	0.739	0.336	0.267	0.309	0.237	0.297	0.229	0.297
0.398	0.354	0.753	1.004	0.395	0.359	0.359	0.308	0.353	0.283	0.353
0.371	0.409	0.934	1.420	0.428	0.419	0.428	0.403	0.381	0.345	0.288

جدول ۱۱: نتایج پیش‌بینی بلندمدت چندمتغیره. در این جدول، طول‌های پیش‌بینی $T\{96, 192, 336, 720\}$ برای تمامی مجموعه‌داده‌ها با پنجه‌هی جست‌وجوی ۹۶ به کار رفته‌اند. بهترین نتایج با حروف پررنگ و نتایج دوم با خط زیرین مشخص شده‌اند. این جدول از مقاله‌ی SiMBA اقتباس شده است

۸.۴ سیستم‌های توصیه‌گر

سیستم‌های توصیه‌گر می‌توانند به صورت گراف‌های heterophilic مدل‌سازی شوند (در مقابل گراف‌های homophilous گره‌ها تمایل دارند به گره‌های هم کلاس خود متصل شوند). شبکه‌های عصبی گرافی (GNNs) معمولاً بر روی گراف‌های homophilic کار می‌کنند، در حالی که می‌تواند در گراف‌های heterophilic عملکرد مطلوبی در وظایفی مانند GraphMamba نشان داده است که می‌تواند در گراف‌های heterophilic عملکرد مطلوبی در وظایفی مانند GraphMamba پیش‌بینی امتیاز محصولات داشته باشد (گره‌ها در اینجا نمایانگر محصولاتی مانند کتاب، موسیقی، ویدیو یا DVD هستند، در حالی که یال‌ها محصولاتی را که معمولاً با یکدیگر خریداری می‌شوند، به هم متصل می‌کنند). مدل GraphMamba با استفاده از مراحلی مانند SSM، selective scan، token ordering، neighborhood tokenization را برابر روش گراف‌های heterophilic سازگار می‌کند. مدل DenseSSM شکاف بین DenseSSMs و Transformers را پرمی کند و مدل‌های زبانی بزرگ کارآمدتری با عملکرد بهبود یافته ارائه می‌دهد. مدل‌های زبانی بزرگ (LLMs) که بر پایه‌ی معماری Transformer ساخته شده‌اند، با محدودیت‌های محاسباتی و حافظه مواجه‌اند. DenseSSM رویکردی نوآورانه است که جریان اطلاعات بین لایه‌های State Space را از طریق ادغام انتخابی حالت‌های پنهان لایه‌های کم عمق در لایه‌های عمیق‌تر تقویت می‌کند. مدل‌های فضای حالت (Models, SSMs) از پیچیدگی محاسباتی کمتری برخوردارند، اما هنوز به طور کامل به عملکرد Transformer‌ها نرسیده‌اند. این مدل ضمن حفظ اطلاعات دقیق و جزئی که برای خروجی نهایی حیاتی هستند، موازی‌سازی در آموزش و کارایی در استنتاج را نیز حفظ می‌کند.

۹.۴ حوزه‌ی گراف

یک روش نوآورانه است که یک بلوک Mamba را با سازوکار انتخاب گره ترکیب می‌کند تا مدل‌سازی وابستگی‌های بلندبرد در شبکه‌های گرافی را بهبود بخشد. هدف این پژوهش، پرداختن به چالش مدل‌سازی وابستگی‌های دوربرد در داده‌های گرافی با استفاده از روش‌های کارآمد است. هسته‌ی اصلی Graph-Mamba Block (GMB)، بلوک (GMB) است که سازوکار انتخابی مازول Mamba را با رویکرد اولویت‌بندی گره‌ها ترکیب می‌کند. بلوک Mamba به دلیل کارایی بالای خود در مدل‌سازی وابستگی‌های بلندبرد در داده‌های ترتیبی شناخته شده است، در حالی که سازوکار انتخاب گره، گره‌ها را به صورت خاص گرافی اولویت‌بندی و بازچینش می‌کند. Graph-Mamba با ترکیب سازوکار انتخاب Mamba و راهبردهای مبتنی بر گراف، استدلال آگاه از زمینه را تقویت می‌کند. با تدوین راهبردهای اولویت‌بندی و بازچینش گره به صورت گراف‌محور، Graph-Mamba به بهبود قابل توجهی در استدلال زمینه‌محور و عملکرد پیش‌بینی دست می‌باید. شایان توجه است که این مدل در وظایف پیش‌بینی بلندبرد گرافی عملکردی فراتر از روش‌های پیشرفته‌ی روز دارد، در حالی که تنها بخشی از هزینه‌ی محاسباتی (از نظر FLOPs و مصرف حافظه‌ی GPU) را نیاز دارد. نسخه‌ی Spatio-Temporal Graph Mamba (STG-Mamba) نیز به صورت موازی توسعه یافته است تا از Mamba برای مدل‌سازی داده‌های گرافی فضایی-زمانی بهره گیرد.

۱۰.۴ سیستم‌های چندوجهی

در حوزه‌ی سیستم‌های چندوجهی که داده‌های دیداری و زبانی را با یکدیگر ادغام می‌کنند، تلاش‌های اخیر بر بهبود معماری‌های سنتی از طریق مازول‌های نوآورانه برای پردازش مؤثر انواع داده‌های متنوع متمرکز شده است. مدل VL-Mamba نسخه‌ی گسترش یافته‌ای از معماری پایه‌ی Mamba است که با افزودن یک مازول اتصال چندوجهی اختصاصی طراحی شده برای وظایف چندوجهی، داده‌های دیداری و زبانی را به طور همزمان پردازش می‌کند. این مازول شامل یک بخش vision selection scan و دو لایه‌ی خطی است که به ادغام مؤثر اطلاعات دیداری و متنی کمک می‌کند. عملکرد VL-Mamba به صورت دقیق بر روی مجموعه داده‌های معیار چندوجهی استاندارد مانند SQA (Science Question Answering)، GQA (Visual Grounding Question Answering)، VQA (Visual Question Answering) Question Answering) ارزیابی شده است. تحلیل‌های مقایسه‌ای نشان می‌دهند که VL-Mamba سطح عملکردی مشابه با مدل‌های زبانی و دیداری پیشرفته‌ی روز، از جمله مدل‌های زبانی بزرگ (LLMs) مانند LavaVA-Phi و Lava-Phi دارد. نکته‌ی قابل توجه آن است که VL-Mamba چالش کارایی ناشی از پیچیدگی محاسباتی درجه دوم شبکه‌های Transformer را که معمولاً در وظایف پایین‌دستی استفاده می‌شوند، برطرف می‌سازد. در پژوهشی مشابه، مدل Cobra با گسترش معماری Mamba از طریق افزودن اطلاعات دیداری به وسیله‌ی یک رمزگذار تصویر معرفی شده است. هدف از این کار، ایجاد یک مدل زبانی بزرگ چندوجهی (MLM) کارآمد است. Cobra با ادغام داده‌های دیداری از طریق رمزگذار تصویر و بهره‌گیری از یک دستورالعمل آموزشی دقیق طراحی شده، به عنوان مدلی قدرتمند در حوزه‌ی زبان چندوجهی ظاهر شده است. ارزیابی‌های انجام شده بر روی مجموعه داده‌های معیار دیداری-زبانی، از جمله VQA و GQA، نشان می‌دهند که عملکرد Cobra با مدل‌های Transformer پیشرفته مانند Lava-Phi رقابت‌پذیر است. تحلیل جامع ارائه شده در جدول ۱۳ (اقتباس شده از مقاله‌ی VL-Mamba) بینش‌های ارزشمندی درباره‌ی کارایی مدل‌های Transformer و SSM در حوزه‌ی چندوجهی فراهم می‌آورد و مسیر پیشرفت‌های آتی را در این حوزه‌ی در حال رشد روشن می‌سازد.

یادگیری تقلیدی (Behavior Cloning, BC) نقش مهمی در یادگیری تقویتی برخخط (Reinforcement Learning, RL) ایفا می‌کند، زیرا مستقیماً نگاشت بین حالت‌ها و کنش‌ها را از داده‌های در دسترس می‌آموزد. با این حال، BC در شرایطی که نمونه‌های کافی از رفتارهای متخصص در دسترس نباشند، با چالش‌هایی مواجه است. برای رفع این محدودیت، رویکردی به نام return-conditioned BC معرفی شده است. مدل (DT) یک رویکرد انقلابی است که یادگیری تقویتی را به صورت یک مسئله‌ی return-conditioned BC معرفی شده است. این مدل از Decision Transformer یک رویکرد انتقالی است که یادگیری تقویتی را به صورت یک مسئله‌ی DT معرفی شده است. مدل سازی دنباله‌ای در نظر می‌گیرد. این مدل از return-conditioned BC برای بهبود عملکرد RL بهره می‌گیرد. DT معماري مدل‌سازی دنباله‌ای در زمینه‌ی یادگیری تقویتی به کار می‌گیرد تا بتواند وابستگی‌های پیچیده میان دنباله‌ای از حالت‌ها، کنش‌ها و پاداش‌ها را ثبت کند. هسته‌ی اصلی DT در شبکه‌ی causal self-attention آن نهفته است که به طور مؤثری دنباله‌های شامل حالت، کنش و پاداش را مدل می‌کند. در راستای ثبت بهتر وابستگی‌های زمانی و الگوهای پیچیده‌ی ذاتی در وظایف مدل‌سازی دنباله‌ای، مدل De-Transformer را در زمینه‌ی یادگیری تقویتی به کار می‌گیرد تا بتواند وابستگی‌های زمانی و الگوهای پیچیده قرار داده است. برخلاف DT، Mamba (DMamba) تمرکز خود را بر مدل‌سازی وابستگی‌های زمانی و الگوهای پیچیده نشان داده‌اند که causal self-attention به جای استفاده از سازوکار Mamba بهره می‌گیرد. در این مدل، Mamba به عنوان یک مازول ترکیب توکن‌ها (token mixing module) درون معماری متداوول (token mixing module) به کار می‌رود که شامل شبکه‌های پیش‌خور (feed-forward networks) و نرمال‌سازی لایه‌ای (layer normalization) است. ارزیابی‌های گسترده نشان داده‌اند که DMamba عملکردی برتر از DT در مجموعه‌داده‌های Atari و D4RL دارد. این مدل توانایی بالاتری در درک وابستگی‌های زمانی Mamba، Meta-RL، Mamba از خود نشان داده است و در نتیجه کارایی بیشتری را در وظایف RL به نمایش گذاشته است. شایان ذکر است که مدل Meta-RL، یادگیری فرا-تقویتی (meta-reinforcement learning) را پیشنهاد می‌کند. هدف Meta-RL بهبود عملکرد RL از طریق یادگیری میان چندین وظیفه‌ی مختلف است.

۵ نتایج پیشرفته (State of the Art Results)

در این بخش، نتایج به دست آمده از منابع متعدد گردآوری شده و تحلیل آن‌ها مورد بحث قرار می‌گیرد. در ابتدا، نتایج مربوط به معیار Long Range Arena (LRA) برای پردازش دنباله‌های بلند ارائه می‌شود، زیرا LRA شامل وظایف پردازش داده‌های متنی مانند ListOps و PathFinder است. افزون بر این، چهار معیار متنی شامل GLUE، Pile و WikiText نیز در این تحلیل همچنین وظایف دیداری مانند SSM گزارش شده است. همچنین، معیارهای دیداری از جمله طبقه‌بندی تصاویر در مجموعه‌داده‌ی ImageNet و بخش‌بندی نمونه‌ها با استفاده از مجموعه‌داده‌ی MS COCO نیز در این ارزیابی لحاظ شده‌اند. در نهایت، هفت مجموعه‌داده‌ی معیار مربوط به سری‌های زمانی نیز برای مقایسه‌ی عملکرد مدل‌ها مورد استفاده قرار گرفته‌اند.

در این بخش، توضیحات و جزئیات تکمیلی مربوط به هر یک از مجموعه داده های LRA که توسط (Tay et al., ۲۰۲۰) معرفی شده اند و همچنین مجموعه داده Speech Commands که توسط (Warden et al., ۲۰۱۸) ارائه گردیده است، آورده می شود. مراحل پیش پردازش داده ها مطابق با دستورالعمل های بیان شده توسط (Gu et al., ۲۰۲۱) و انجام شده است برای تکمیل بحث، در اینجا نیز ارائه می شوند.

• ListOps: این مجموعه داده نسخه ای گسترش یافته از داده هایی است که توسط (Nangia et al., 2018) معرفی شده و با نام ListOps شناخته می شود. هدف آن، ارزیابی عملیات های ریاضی تو در تو مانند \min و \max بر روی عملوند های صحیح بین صفر تا ۱ است. عبارات به صورت پیشوندی و درون براکت ها نوشته می شوند. هدف، محاسبه نتیجه عددی عبارت ریاضی است. هر کاراکتر به صورت یک بردار one-hot با ۱۷ مقدار یکتا (شامل عملگرها و براکت ها) کد گذاری می شود. طول دنباله ها متغیر است و تا حد اکثر ۲۰۰۰ توکن با شاخص ویژه پر می شود. یک توکن ویژه برای پایان دنباله افروزه می شود. این مجموعه داده شامل ۱۰ کلاس مختلف است که نتیجه عددی عبارات را نشان می دهند و در برگیرنده ۹۶۰۰۰ داده آموزشی، ۲۰۰۰ داده اعتبارسنجی و ۲۰۰۰ داده آزمایشی است. هیچ نرمال سازی ای بر روی داده ها اعمال نشده است.

• Text: این مجموعه داده بر گرفته از داده ای احساسات iMDB معرفی شده است. هدف، طبقه بندی نقد های فیلم به دو دسته مثبت یا منفی است. نقد ها به صورت دنباله ای از توکن های عددی با ۱۲۹ مقدار یکتا که نشان دهنده کاراکترها هستند کد گذاری شده اند. دنباله ها تا طول حد اکثر ۴۰۹۶ توکن پر می شوند. این مجموعه شامل ۲۵۰۰۰ داده آموزشی و ۲۵۰۰۰ داده آزمایشی است و مجموعه اعتبارسنجی ندارد. هیچ نرمال سازی ای بر روی داده ها انجام نشده است.

• Retrieval: این مجموعه داده بر اساس پیکره هی متند (Radev et al., 2009) ACL Anthology Network معرفی شده توسط (ACL Anthology Network) ساخته شده است. هدف، تشخیص این است که آیا دو نقل قول متنی از نظر معنایی معادل اند یا خیر. نقل قول ها به صورت دنباله ای از توکن های عددی کد گذاری می شوند و هر جفت از نقل قول ها به طور جداگانه فشرده سازی شده و سپس وارد لایه نهایی طبقه بندی می شود. سر رمزگشا از نمایش برداری حاصل برای انجام طبقه بندی استفاده می کند. کاراکترها به صورت one-hot با ۹۷ مقدار یکتا کد گذاری می شوند. دنباله های جفتی ممکن است طول های متفاوتی داشته باشند و حد اکثر طول آن ها ۴۰۰۰ توکن است. این مجموعه شامل ۱۴۷۰۸۶ جفت داده آموزشی، ۱۸۰۹۰ داده اعتبارسنجی و ۱۷۴۳۷ داده آزمایشی است. هیچ نرمال سازی ای اعمال نشده است.

• Image: این مجموعه داده از داده های CIFAR-10 معرفی شده توسط (Krizhevsky et al., 2009) و استفاده می کند. هدف، طبقه بندی تصاویر 32×32 در مقیاس خاکستری از مجموعه CIFAR-10 در ده کلاس مختلف است. تصاویر به صورت بردار های تک بعدی با طول ۱۰۲۴ نمایش داده می شوند. مجموعه شامل ۴۵۰۰۰ داده آموزشی، ۵۰۰۰ داده اعتبارسنجی و ۱۰۰۰۰ داده آزمایشی است. مقادیر RGB به مقادیر خاکستری تبدیل شده و برای داشتن میانگین صفر و واریانس واحد نرمال سازی می شوند. این نرمال سازی بر روی کل مجموعه اعمال می گردد.

• Pathfinder : این مجموعه داده مبتنی بر چالش Pathfinder است که توسط (Linsley et al., 2018) و معرفی شده است.

هدف، تشخیص این است که آیا بین نقاط آغاز و پایان در یک تصویر 32×32 در مقیاس خاکستری، مسیر پیوسته‌ای از خط وجود دارد یا خیر. این مجموعه شامل دو کلاس است که وجود یا عدم وجود مسیر معتبر را نشان می‌دهند. دنباله‌ها طول ثابتی برابر با ۱۰۲۴ دارند. مجموعه شامل ۱۶۰۰۰۰ داده‌ی آموزشی، ۲۰۰۰۰ داده‌ی اعتبارسنجی و ۲۰۰۰۰ داده‌ی آزمایشی است. داده‌ها در بازه‌ی [۱، ۱] نرمال‌سازی شده‌اند.

• Path-X : این مجموعه نسخه‌ی گسترش‌یافته‌ی چالش Pathfinder است که در آن تصاویر دارای ابعاد 128×128 پیکسل هستند، بنابراین دنباله‌ها شانزده برابر طولانی‌ترند. سایر ویژگی‌ها مشابه چالش اصلی Pathfinder باقی مانده‌اند.

۲.۱.۵ مجموعه‌داده‌های معیار سری زمانی چندمتغیره

ارزیابی مدل SSM بر روی هفت مجموعه داده‌ی معیار استاندارد که معمولاً برای پیش‌بینی سری‌های زمانی چندمتغیره (Multivariate Time Series Forecasting) به کار می‌روند، انجام شده است و عملکرد قدرتمند آن را در مقایسه با طیفی از مدل‌های پیشرفته نشان می‌دهد. در این ارزیابی از هفت مجموعه داده‌ی معیار که به طور گسترده در حوزه‌ی پیش‌بینی سری‌های زمانی چندمتغیره استفاده می‌شوند، بهره گرفته شده است. این مجموعه داده‌ها حوزه‌های مختلفی را پوشش می‌دهند، از جمله برق (Electricity)، آب و هوای (Weather)، ترافیک (Traffic)، و چهار مجموعه داده از حوزه‌ی پیش‌بینی سری‌های زمانی انرژی (Energy Time Series Forecasting) با نام‌های ETTh1، ETTh2، ETTm1 و ETTm2.

۳.۱.۵ مجموعه‌داده‌های در ک و ویدیو

برای ارزیابی عملکرد مدل VideoMamba در در ک و ویدیوهای کوتاه‌مدت و بلندمدت، آزمایش‌هایی بر روی شش مجموعه داده‌ی متنوع انجام شده است:

• در ک و ویدیوهای کوتاه‌مدت: توانایی مدل VideoMamba در وظایف مرتبط با صحنه و زمان با استفاده از دو مجموعه داده‌ی پرکاربرد ارزیابی شد:

— Kinetics-400 : این مجموعه داده شامل ویدیوهایی با میانگین طول ۱۰ ثانیه است که بر روی کنش‌های مرتبط با صحنه تمرکز دارند.

— Something-Something V2 : این ویدیوها دارای میانگین مدت زمان ۴ ثانیه بوده و بر کنش‌های مرتبط با زمان تأکید دارند.

• در ک و ویدیوهای بلندمدت: برای در ک و ویدیوهای بلندمدت، ارزیابی‌های دقیقی بر روی سه مجموعه داده‌ی جامع انجام شد:

— Breakfast : این مجموعه داده شامل ۱۷۱۲ ویدیو است که ۱۰ فعالیت پیچیده‌ی آشپزی را در مجموع ۷۷ ساعت پوشش می‌دهد.

COIN – این مجموعه شامل ۱۱۸۲۷ ویدیو در ۱۸۰ وظیفه‌ی رویه‌ای است، با میانگین مدت زمان ۲:۳۶ دقیقه که محتوای متنوعی را برای ارزیابی فراهم می‌کند.

– Long-form Video Understanding (LVU) – این معیار شامل حدود ۳۰۰۰۰ کلیپ فیلم است که هر یک بین ۱ تا ۳ دقیقه طول دارند. این مجموعه ۹ وظیفه را در سه دسته‌ی اصلی شامل درک محتوا، پیش‌بینی فراداده و تعامل کاربر پوشش می‌دهد.

با انجام ارزیابی‌ها بر روی این مجموعه‌داده‌ها، هدف ما سنجش جامع عملکرد مدل VideoMamba در جنبه‌های مختلف درک ویدیو است؛ از جمله تشخیص صحنه (scene recognition)، استدلال زمانی (temporal reasoning) و درک بلندمدت محتوا ویدیویی پیچیده.

۴.۱.۵ مجموعه‌داده‌های مدل‌های زبانی بزرگ چندوجهی

ما یک ارزیابی جامع از مدل خود را در میان طیف گسترده‌ای از ۸ مجموعه‌داده‌ی معیار انجام دادیم:

۱. **VQA-v2**: این مجموعه‌داده بر ارزیابی توانایی مدل‌ها در درک و استدلال درباره‌ی تصاویر و پرسش‌های همراه آن‌ها تمرکز دارد.

۲. **GQA**: برای ارزیابی درک فضایی و استنتاج چندمرحله‌ای در تصاویر واقعی طراحی شده است.

۳. **ScienceQA-IMG**: شامل پرسش‌هایی چندگزینه‌ای درباره‌ی موضوعات علمی است و بر استدلال عقل سليم تأکید دارد.

۴. **TextVQA**: شامل پرسش‌هایی مرتبط با متون درون تصاویر است و توانایی مدل را در شناسایی نویسه‌های نوری (OCR) و استنتاج بررسی می‌کند.

۵. **POPE**: یک معیار برای ارزیابی خطاهای شناسایی اشیاء است که شامل یک وظیفه‌ی طبقه‌بندی دوتایی برای تعیین وجود یا عدم وجود اشیاء می‌باشد.

۶. **MME**: توانایی‌های ادراکی و شناختی مدل را می‌سنجد، از جمله OCR، شناسایی اشیاء، استدلال عقل سليم، محاسبات عددی، ترجمه‌ی متون و استدلال مبتنی بر کد.

۷. **MMBench**: شامل ۳۰۰۰ پرسش تک‌گزینه‌ای در ۲۰ بعد مختلف است و از استراتژی CircularEval برای ارزیابی دقیق استفاده می‌کند. در این ارزیابی، پیش‌بینی‌های مدل با پاسخ‌های ChatGPT تطبیق داده می‌شوند.

۸. **MM-Vet**: شامل ۱۶ وظیفه‌ی نوظهور از قابلیت‌های دیداری و زبانی (VL) است؛ از جمله شناسایی، دانش، آگاهی فضایی، تولید زبان و ریاضیات.

هر یک از این مجموعه‌داده‌ها چالش‌های منحصر به‌فردی را ارائه می‌دهند و جنبه‌های مختلف درک چندوجهی را ارزیابی می‌کنند؛ از شناسایی ابتدایی اشیاء گرفته تا استدلال پیچیده و وظایف استنتاجی میان تصویر و متن.

در این بخش، جدول نتایج از مقالات HGRN و S5 اقتباس و در جدول زیر ترکیب شده است. این نتایج نشان می‌دهند که مدل‌های Sinkhorn، Reformer، LinFormer، LongFormer، Sparse Attention، Local Attention، Transformer، H-Luna، NystromFormer، FNet، CosFormer، Performer، Linear Transformer، BigBird، Synthesizer، Text، ListOps و CNN عملکرد چندان مطلوبی در معیارهای LRA ندارند. در بسیاری از وظایف مانند Transformer-ID، Path-X و Pathfinder، Image Retrieval، در این مدل‌ها دچار افت عملکرد می‌شوند؛ دلیل اصلی این مسئله، پیچیدگی محاسباتی درجه دوم در مکانیزم توجه (Attention) و نبود سوگیری استقرایی (Inductive Bias) در معماری Transformer است. در مقابل، مدل‌های فضای حالت (State Space Models، SSMs)، SSM، دو مدل S5 و Mega بالاترین عملکرد را در تمامی وظایف ارائه داده‌اند. مدل S4، که یکی از مدل‌های پیشگام در این حوزه محسوب می‌شود، توسط نسخه‌های بهبود یافته خود مانند DSS، S4ND و S4 Liquid-S4 پشت سر گذاشته شده است. مدل‌های LRU و HGRN، TNN عملکردی متوسط دارند اما همچنان از S4 و گونه‌های آن بهتر عمل می‌کنند. با این حال، علت دقیق اینکه چرا مدل‌های S5 و Mega در میان سایر SSM‌ها بهترین عملکرد را دارند، هنوز به طور کامل مشخص نیست. برای درک بهتر این مسئله، می‌توان این مدل‌ها را از دیدگاه قابلیت تبیین (Explainability) مورد تحلیل قرار داد، که انجام چنین پژوهشی به کارهای آینده موکول می‌شود.

۲.۲.۵ حوزه‌ی زبانی

در این بخش، نتایج سه معیار اصلی در حوزه‌ی زبان ارائه می‌شوند که شامل WikiText، GLUE و Pile هستند. جدول (۲) نتایج معیار GLUE را نشان می‌دهد که ترکیبی از شش وظیفه‌ی اصلی است: MNLI، QNLI، SST2، QQP، MRPC و CoLA. این جدول به چهار دسته تقسیم می‌شود: مدل‌های مبتنی بر توجه (Attention-based Transformers)، شبکه‌های مبتنی بر MLP، ترانسفورمرهای FFT و مدل‌های فضای حالت (SSMs). نتایج نشان می‌دهند که مدل‌های SSM در مقایسه با سه معماری دیگر دارای شکاف مبتنی بر FFT و مدل‌های شبکه‌ی مبتنی بر MLP و ترانسفورمرهای مبتنی بر FFT امتیازات بهتری نسبت به SSM‌ها کسب کرده‌اند. عملکردی هستند، در حالی که شبکه‌های مبتنی بر MLP و ترانسفورمرهای مبتنی بر FFT امتیازات بهتری نسبت به SSM در میان تمام مدل‌ها، ترانسفورمرهای مبتنی بر توجه بالاترین عملکرد را در این معیار دارند. تنها استثناء، شبکه‌ی عصبی Toeplitz Neural Network (TNN) است که از تمام مدل‌ها، از جمله ترانسفورمرهای مبتنی بر توجه، عملکرد بهتری دارد. به طور مشابه، معیار بعدی در ارزیابی حوزه‌ی زبان، مجموعه‌داده‌ی WikiText است. جدول (۱) امتیازهای Perplexity مربوط به معماری‌ها و مدل‌های مختلف را نشان می‌دهد. این جدول از مقالات TNN و HGRN اقتباس و نتایج در آن ترکیب شده‌اند. امتیاز Perplexity توانایی مدل را در پیش‌بینی واژه‌ی بعدی می‌سنجد؛ هر چه مقدار آن کمتر باشد، عملکرد مدل بهتر است. این جدول شامل نتایج مجموعه‌داده‌ی اعتبارسنجی و آزمون است و سه گروه معماری مدل‌های مبتنی بر توجه، شبکه‌های مبتنی بر MLP و مدل‌های فضای حالت (SSM) را مقایسه می‌کند. نتایج نشان می‌دهند که مدل‌های مبتنی بر توجه همچنان عملکرد برتری نسبت به سایر معماری‌ها دارند، با این حال مدل HGRN از میان مدل‌های SSM توانسته است از همه‌ی مدل‌های دیگر بهتر عمل کرده و پایین‌ترین مقدار Perplexity را به دست آورد. آخرین معیار در حوزه‌ی زبان، مجموعه‌داده‌ی Pile است. Pile یک مجموعه‌داده‌ی بسیار بزرگ به حجم ۸۲۵ گیگابایت است که از ترکیب چندین مجموعه‌داده‌ی کوچک‌تر تشکیل شده است،

از جمله Stack Exchange, FreeLaw Project, GitHub, ArXiv, PubMed Central, US Patent and Trademark, NIH ExPorter, PhilPapers, YouTube, HackerNews, Ubuntu IRC, PubMed, Office (۱۴) و سایر منابع نشان می‌دهند که مدل HGRN تنها مدل از نوع SSM است که عملکردی قابل مقایسه با ترانسفورمرهای مبتنی بر توجه دارد بهویژه در شرایطی که این مدل‌ها بر روی مجموعه‌داده‌های Pile آموزش دیده باشند.

۳.۲.۵ حوزه‌ی تصویر

ارزیابی انجام شده بر روی مجموعه‌داده‌ی ImageNet-1K عملکرد معماری‌های مختلف در حوزه‌ی بینایی را در دسته‌بندی‌های گوناگون و با پیچیدگی‌های محاسباتی متفاوت نشان می‌دهد، همان‌گونه که در جدول (۵) گزارش شده است. در میان شبکه‌های کانولوشنی (CNNs)، دو مدل RegNetY-16G و RegNetY-8G به ترتیب با دقت‌های ۸۱.۷٪ و ۸۲.۹٪ بر جسته هستند. این نتایج اثربخشی مدل‌های فضای حالت (SSM) را در استخراج نمایش‌های تصویری تأیید می‌کنند؛ بهویژه مدل‌های PlainMamba-L3 و LocalVMamba-S (SSM) که عملکردی رقابتی از خود نشان داده‌اند. افرون بر این، مدل‌های ترانسفورمری مانند Swin-T و EffNet-B4 نیز عملکرد قابل توجهی دارند و دقت‌هایی به ترتیب ۸۱.۳٪ و ۸۲.۹٪ کسب کرده‌اند، در حالی که RegNetY-16G و RegNetY-8G همچنان به عنوان بهترین مدل‌های مبتنی بر کانولوشن شناخته می‌شوند. در میان ترانسفورمرهای مدل‌های SVT-H-B، SpectFormer-H-B و SCT-H-B عملکرد چشمگیری از خود نشان داده‌اند و به ترتیب به دقت‌های ۸۵.۱٪، ۸۵.۲٪ و ۸۵.۲٪ در معیار Top-1 Accuracy دست یافته‌اند.

در میان مدل‌های SSM، مدل LocalVMamba-S عملکرد قوی‌ای با دقت ۸۳.۷٪ داشته است و مدل L3 نیز با دقت ۸۲.۲٪ عملکرد با دقت ۸۳.۲٪ نتایجی رقابتی ارائه کرده است. همچنین مدل‌های VMamba-T و Vim-Ti نیز با دقت‌های ۷۶.۱٪ و ۸۲.۲٪ عملکرد قابل توجهی دارند. در میان مدل‌های SSM، مدل SiMBA-S (MLP) به عنوان یکی از گزینه‌های قدرتمند ظاهر شده است و به دقت ۸۴.۰٪ دست یافته است، در حالی که دو مدل SiMBA-L (EinFFT) و SiMBA-B (MLP) نیز به ترتیب دقت‌های ۸۴.۷٪ و ۸۳.۹٪ دارند. در میان مدل‌های Transformer و CNN تا Top-1 Accuracy به دست آورده‌اند. این نتایج نشان می‌دهند که رویکردهای متنوع معماری، از SSM و ImageNet-1K، در سطوح مختلف پیچیدگی محاسباتی قادر به ارائه عملکردی مؤثر در وظایف شناسایی تصویر هستند. جدول (۱۲) عملکرد پیشرفتی مدل‌های فضای حالت ساختاریافته (SSMs) Structured State Space Models، SSMs را بر روی مجموعه‌داده‌ی ImageNet-1K برای وظایف طبقه‌بندی تصویر نشان می‌دهد. این مدل‌های SSM بر اساس میزان پیچیدگی محاسباتی آن‌ها، که بر حسب GFLOPs اندازه‌گیری می‌شود، در سه گروه کوچک (Small)، پایه (Base) و بزرگ (Large) دسته‌بندی شده‌اند. از میان مدل‌های بر جسته، VMamba-S، Mamba-2D-B، PlainMamba-L3، HGRN-S، Vim-S، S4ND-ViT-B، HyenaViT-B و LocalVMamba-S می‌توان به آن‌ها در بازه‌ی ۷۸.۵٪ تا ۸۴.۵٪ قرار دارد. این مدل‌ها ضمن برخورداری از مقادیر متفاوتی از پارامترها و پیچیدگی‌های محاسباتی، عملکردی رقابتی از خود نشان می‌دهند و کارایی بالای مدل‌های SSM را در وظایف طبقه‌بندی تصویر با بهره‌وری محاسباتی بهبود یافته به نمایش می‌گذارند.

Top-1 acc. (%)	FLOPs	Param.	Image Size	Method
SSMs				
78.5	-	88M	224 ²	HyenaViT-B
80.4	-	89M	224 ²	S4ND-ViT-B
72.29	-	6.4M	-	TNN-T
79.20	-	23.4M	-	TNN-S
76.1	-	7M	224 ²	Vim-Ti
80.5	-	26M	224 ²	Vim-S
74.40	-	6.1M	-	HGRN-T
80.09	-	23.7M	-	HGRN-S
77.9	3.0G	7M	224 ²	PlainMamba-L1
81.6	8.1G	25M	224 ²	PlainMamba-L2
82.3	14.4G	50M	224 ²	PlainMamba-L3
81.7	-	24M	224 ²	Mamba-2D-S
83.0	-	92M	224 ²	Mamba-2D-B
82.2	5.6G	24M	224 ²	VMamba-T
83.5	11.2G	44M	224 ²	VMamba-S
83.2	18.0G	75M	224 ²	VMamba-B
82.7	5.7G	26M	224 ²	LocalVMamba-T
83.7	11.4G	50M	224 ²	LocalVMamba-S
81.1	3.6G	16.3M	224 ²	SiMBA-S (Monarch)
82.6	6.3G	28.9M	224 ²	SiMBA-B (Monarch)
83.8	10.7G	40.0M	224 ²	SiMBA-L (Monarch)
82.7	-	10M	224 ²	ViM2-T
83.7	-	43M	224 ²	ViM2-S
83.9	-	74M	224 ²	ViM2-B
81.7	2.4G	15.3M	224 ²	SiMBA-S (EinFFT)
83.5	5.2G	22.8M	224 ²	SiMBA-B (EinFFT)
84.4	9.6G	16.6M	224 ²	SiMBA-L (EinFFT)
84.0	5.0G	26.5M	224 ²	SiMBA-S (MLP)
84.7	9.0G	40.0M	224 ²	SiMBA-B (MLP)

جدول ۱۲: عملکرد مدل‌های SSM در معیار ImageNet-1K. این جدول عملکرد مدل‌های مختلف SSM را برای وظایف شناسایی تصویر بر روی مجموعه داده‌ی ImageNet-1K نشان می‌دهد. مدل‌های بینایی در سه گروه بر اساس میزان GFLOPs تقسیم شده‌اند: کوچک ($5 \leq \text{GFLOPs} < 10$), پایه (Base) و بزرگ (Large). بازه‌های GFLOP عبارت‌اند از: کوچک ($5 < \text{GFLOPs} < 10$), پایه (Small) و بزرگ (Large) ($10 \leq \text{GFLOPs} < 30$).

مدل VL-Mamba عملکرد قابل توجهی را در میان معیارهای مختلف از خود نشان داده است، همان‌گونه که در جدول (۱۳) گزارش شده است. با استفاده از داده‌های آموزشی چندوجهی مشابه، VL-Mamba نسبت به مدل‌های SQAI (به ترتیب ۶۱.۲ در مقابل ۶۵.۴)، VQAT (۴۸.۹ در مقابل ۴۷.۵) و MME (۱۳۶۹.۶ در مقابل ۱۲۸۸.۹) عملکرد بهتری دارد. شایان توجه است که با وجود برخورداری از توکن‌های پیش‌آموزش یافته‌ی کمتر (۶۲۷ میلیارد) در مقایسه با مدل MobileVLM که از ستون فقرات MobileLLaMA با ۱.۳ تریلیون توکن استفاده می‌کند، مدل VL-Mamba همچنان عملکردی برتر دارد. برای نمونه، در مقایسه با مدل LLaVA-Phi که از مدل زبانی Phi-2-2.7B بهره می‌برد، VL-Mamba در معیارهای VQA-v2 (به ترتیب ۷۶.۶ در مقابل ۷۱.۴)، MME (۱۳۵۵.۱ در مقابل ۱۳۵۹) و MM-Vet (۳۲.۶ در مقابل ۲۸.۹) نتایج بهتری کسب کرده است. این یافته‌ها کارایی بالای VL-Mamba را در وظایف یادگیری چندوجهی نشان می‌دهند و بر پتانسیل بالای بهره‌گیری از مدل‌های فضای حالت (State Space Models) در چنین کاربردهایی تأکید می‌کنند.

MM-Vet	MMB	MME	POPE	VQA ^T	SQA ^I	GQA	VQA ^{v2}	IT	PT	LLM	Method
22.4	-	1293.8	85.3	42.5	61.0	41.0	41.0	-	129M	Vicuna-13B	BLIP-2
-	23	581.7	-	-	-	32.2	-	5K	5M	Vicuna-7B	MiniGPT-4
26.2	36	-	78.9	50.1	60.5	49.2	-	1.2M	129M	Vicuna-7B	InstructBLIP
25.6	-	1212.8	-	50.7	63.1	49.5	-	1.2M	129M	Vicuna-13B	InstructBLIP
-	58.8	-	-	-	-	-	77.4	5.5M	600K	Vicuna-13B	Shikra
24.6	48.3	1292.3	-	-	-	-	-	-	-	LLaMA-7B	Otter
-	49.4	967.3	-	-	-	-	-	102K	2.1M	LLaMA-7B	mPLUG-Owl
-	48.2	-	-	25.9	-	38.4	50.9	1M	353M	LLaMA-7B	IDEFICS-9B
-	54.5	-	-	30.9	-	45.2	60.0	1M	353M	LLaMA-65B	IDEFICS-80B
-	38.2	-	-	63.8	67.1	59.3	78.8	5.0M	1.4B	Qwen-7B	Qwen-VL
-	60.6	1487.5	-	61.5	68.2	57.5	78.2	5.0M	1.4B	Qwen-7B	Qwen-VL-Chat
30.5	64.3	1510.7	85.9	58.2	66.8	62.0	78.5	665K	558K	Vicuna-7B	LLaVA-1.5
35.4	67.7	1531.3	85.9	61.3	71.6	63.3	80.0	665K	558K	Vicuna-13B	LLaVA-1.5
28.9	59.8	1335.1	85.0	48.6	68.4	-	71.4	665K	558K	Phi-2-2.7B	LLaVA-Phi
-	59.6	1288.9	84.9	47.5	61.2	59.0	-	665K	558K	MobileLLaMA-2.7B	MobileVLM-3B
-	-	-	88.0	46.0	-	58.5	75.9	-	-	Mamba-2.8B	Cobra
32.6	57.0	1369.6	84.4	48.9	65.4	56.2	76.6	665K	558K	Mamba LLM-2.8B	VL-Mamba

جدول ۱۳: مقایسه با روش‌های پیشرفته (SoTA) در ۸ معیار ارزیابی. نام معیارها به دلیل محدودیت فضای صورت اختصاری آورده شده‌اند: MM-، MMB: MMBench؛ MME: TextVQA؛ SQAI: ScienceQA-IMG؛ VQA^T: VQAT؛ GQA: VQA-v2 و PT: Instruction Pretraining. نمادهای IT و PT به ترتیب بیانگر تعداد نمونه‌ها در مراحل پیش‌آموزش (Pretraining) و تنظیم دستورالعمل (Tuning) هستند. این جدول از مقاله‌ی VL-Mamba اقتباس شده است.

۵.۲.۵ پیش‌بینی سری‌های زمانی

ارزیابی مدل SSM که بر روی هفت مجموعه‌داده‌ی معیار استاندارد متداول در حوزه‌ی پیش‌بینی سری‌های زمانی چندمتغیره (Multi-variate Time Series Forecasting) انجام شده است، عملکرد قدرتمند آن را در مقایسه با طیفی از مدل‌های پیشرفته‌ی روز نشان می‌دهد. در این ارزیابی، مدل SiMBA با چندین مدل پیشرفته‌ی دیگر مقایسه شده است، از جمله روش‌های مبتنی بر Transformer مانند AutoFormer، PyraFormer، ETSFormer، FEDFormer، CrossFormer، PatchTST و DLinear مانند CNN مانند TimeNet، MTGNN، و مدل‌های مبتنی بر MLP نیز انجام شده است. عملکرد مدل SiMBA و سایر مدل‌های مقایسه‌ای با استفاده از معیارهای متداول در وظایف پیش‌بینی سری‌های زمانی سنجیده شده است. این معیارها معمولاً شامل Mean Absolute Error (MAE) و Mean Squared Error (MSE) هستند که معیارهای استانداردی برای اندازه‌گیری دقت مدل‌های پیش‌بینی محسوب می‌شوند. نتایج نشان دادند که SiMBA در تمام مجموعه‌داده‌های ارزیابی شده، از نظر معیارهای MSE و MAE عملکردی بهتر از سایر مدل‌های پیشرفته‌ی موجود داشته است. این امر نشان می‌دهد که SiMBA توانایی بالایی در شناسایی الگوهای زمانی و انجام پیش‌بینی‌های دقیق در وظایف مختلف سری زمانی و حوزه‌های گوناگون دارد. عملکرد برتز SiMBA نشان‌دهنده‌ی سازگاری و کارایی بالای آن در مواجهه با چالش‌های متنوع پیش‌بینی سری‌های زمانی است و آن را به یکی از مدل‌های شاخص در این زمینه تبدیل کرده است. به طور کلی، ارزیابی گسترده‌ی SiMBA در میان مجموعه‌داده‌های مختلف و مقایسه با مدل‌های پیشرفته‌ی روز، عملکرد قدرتمند و مؤثر آن را در حل طیف وسیعی از وظایف پیش‌بینی سری‌های زمانی تأیید می‌کند. یافته‌های نشان می‌دهند که SiMBA مدلی امیدبخش برای کاربردهای عملی در حوزه‌های مختلف است که نیاز به پیش‌بینی‌های دقیق و قابل اعتماد سری‌های زمانی دارند.

۶.۲.۵ حوزه‌ی ویدیو

جدول (۸) مقایسه‌ای از عملکرد مدل‌های مختلف بر روی مجموعه‌داده‌ی مرتبط با صفحه Kinetics-400 ارائه می‌دهد. این جدول شامل عباری‌هایی مانند شبکه‌های کانولوشنی (CNN)، ترانسفورمرها (Transformers) و مدل‌های فضای حالت (State Space Models) است و ویژگی‌هایی همچون نوع داده‌های ورودی، تعداد پارامترها و میزان عملیات ممیز شناور (FLOPs) را نیز نشان می‌دهد. (SSM) برای هر نوع عباری، مدل‌های مختلفی فهرست شده‌اند که مشخص می‌کنند آیا این مدل‌ها به صورت ناظارت شده (Supervised) یا خودناظارتی (Self-Supervised) آموزش دیده‌اند. مدل‌ها بر اساس معیارهای دقت Top-1 و Top-5 بر روی مجموعه‌داده‌ی Kinetics-400 مورد ارزیابی قرار گرفته‌اند. علاوه بر این، در جدول مشخص شده است که آیا عباری مدل‌ها از نوع ایزوتروپیک (بدون لایه‌های CNN) است، و اینکه آیا از داده‌های اضافی یا مدل‌های معلم پیش‌آموزش یافته استفاده شده است یا خیر. مدل‌های Swin-T ناظارت شده مانند SlowFast، X3D-XL و X3D-M عملکرد رقابتی بالایی از خود نشان داده‌اند. مدل‌های ترانسفورمری مانند IN-21K آموزش دیده‌اند. مدل‌های ترکیبی Swin-B نیز عملکرد قدرتمندی دارند، به ویژه زمانی که با داده‌های اضافی از مجموعه‌ی VideoMamba-M (SSM) عملکردی رقابتی از خود نشان داده است، به ویژه نسخه‌ی UniFormer-B و MViTv1-B مانند CNN+Transformer نیز نتایج امیدوار کننده‌ای ارائه کرده‌اند. در میان مدل‌های فضای حالت Top-1 و Top-5 از سایر مدل‌ها پیشی گرفته است، خصوصاً هنگامی که با داده‌های اضافی از مجموعه‌ی CLIP-400M آموزش دیده است. جدول (۹) مقایسه‌ای از عملکرد مدل‌های مختلف بر روی مجموعه‌داده‌ی زمانی V2 SthSth است. این جدول شامل

معماری‌هایی مانند شبکه‌های کانولوشنی (CNN)، ترانسفورمرها (Transformers) و مدل‌های فضای حالت (State Space Mod- els، SSM) است و اطلاعات مربوط به مدل‌ها، ویژگی‌های داده‌ی ورودی، تعداد پارامترها و میزان عملیات ممیز شناور (FLOPs) را در بر می‌گیرد. مدل‌های CNN مانند TDN_{R50} و CT-Net_{R50} عملکرد متوسطی بر روی مجموعه‌داده‌ی SthSth V2 دارند. مدل ترانسفورمری Swin-B عملکردی رقابتی نسبت به مدل‌های CNN ارائه می‌دهد. مدل‌های ترکیبی CNN+Transformer مانند UniFormer-B و UniFormer-B می‌باشند. نتایج امیدوار کننده‌ای نشان داده‌اند، به طوری که UniFormer-B از نظر دقت ۱ Top-1 عملکرد بهتری نسبت به سایر مدل‌ها دارد. مدل‌های ترانسفورمری مانند ViViT-L و TimeSformer-HR نیز عملکرد قابل قبولی بر روی این مجموعه‌داده ارائه می‌دهند. مدل‌های فضای حالت (SSM) مانند VideoMamba عملکردی رقابتی از خود نشان داده‌اند، به ویژه مدل VideoMamba-M که بالاترین دقت ۱ Top-1 را در میان مدل‌های SSM به دست آورده است. مدل‌های ترانسفورمری خودناظارتی مانند CLIP-400M و VideoMAE-B_{2400e} و UMT-B_{800e} نیز عملکرد مطلوبی دارند، به ویژه زمانی که از مدل معلم پیش‌آموزش یافته‌ی CLIP-400M استفاده می‌کنند. مدل VideoMamba-M_{800e} که با داده‌های CLIP-400M آموزش دیده است، بالاترین دقت ۱ Top-1 را در میان تمام مدل‌های SSM کسب کرده است. جدول (۱۰) عملکرد روش‌های مختلف را در مجموعه‌داده LVU (Large-scale Video Understanding) با استفاده از معیارهای ارزیابی گوناگون مرتبط با محتوا، فراداده (Metadata) و تعامل کاربر مورد مقایسه قرار می‌دهد.

روش‌هایی مانند VideoMamba_{f32}، Orthoformer، Performer، LST، Object Trans.، VideoBERT و ViS4mer از عباری‌ها و ستون فقرات متفاوتی برای در ک محتوا و ی دیوی استفاده می‌کنند. مدل VideoMamba_{f32} بالاترین امتیازها را در معیارهای مرتبط با محتوا، به ویژه در زمینه‌ی در ک صحنه، کسب کرده است. در ک فراداده شامل ویژگی‌هایی مانند کارگردان، ژانر، نویسنده و سال انتشار است. مدل VideoMamba_{f32} در اغلب معیارهای مرتبط با فراداده عملکردی بهتر از سایر روش‌ها دارد که نشان‌دهنده‌ی توانایی آن در استخراج اطلاعات مفید از فراداده‌های ویدیویی است. برخی روش‌ها مانند VideoMamba_{f32} از رویکردهای انتها به انتها (End-to-End، e2e) استفاده می‌کنند که نیازی به استخراج جداگانه‌ی ویژگی‌ها ندارند. این رویکرد یکپارچه به در ک بهتر و استفاده‌ی مؤثر از هر دو منبع محتوا و فراداده برای پیش‌بینی تعامل کاربر کمک می‌کند. جدول (۱۵) مقایسه‌ای از عملکرد روش‌های مختلف بر روی مجموعه‌داده‌های COIN و Breakfast (BF) ارائه می‌دهد، با تمرکز بر رویکردهای انتها به انتها (End-to-End، e2e) و معماری‌های مختلف ستون فقرات (Backbone). روش‌های موجود مانند Timeception، VideoGraph و GHRM از جمله رویکردهایی هستند که از معماری‌های ستون فقرات متفاوت و مجموعه‌داده‌های پیش‌آموزش یافته برای دستیابی به عملکرد مطلوب در مجموعه‌داده‌های BF و COIN استفاده کرده‌اند. در میان این روش‌ها، مدل Distant Supervision با لاترین عملکرد را نشان می‌دهد؛ این مدل از TimeSformer با مکانیزم Attention (توجه) و پیش‌آموزش مبتنی بر پایگاه دانش (Knowledge Base، KB) بهره می‌برد. مدل Turbo_{f32} یک رویکرد انتها به انتها (e2e) با استفاده از ستون فقرات VideoMAE-B است که عملکردی رقابتی را در هر دو مجموعه‌داده ارائه می‌دهد. مدل‌های VideoMamba_{f64} و VideoMamba_{f32} از نسخه‌های مختلف ستون فقرات شامل VideoMamba_{f32} و VideoMamba_{f64} دقت بالایی را در هر دو مجموعه‌داده به دست آورده‌اند. نسخه‌های VideoMamba_{f32} و VideoMamba_{f64} که از ستون فقرات با پیش‌آموزش ماسک دار (با علامت $\hat{}$ مشخص شده‌اند) استفاده می‌کنند، عملکردی حتی بالاتر دارند؛ به ویژه مدل Turbo_{f32} بالاترین دقت را در هر دو مجموعه‌داده به دست آورده است. ارزیابی نسخه‌های مختلف ستون فقرات VideoMamba (شامل S، Ti و M) با دقت‌های متفاوت (f32 و f64) نشان می‌دهد که دقت بالاتر (f64) معمولاً منجر به بهبود عملکرد می‌شود. در میان تمام نسخه‌ها، مدل

با دقت f32 و ستون فقرات پیش آموزش یافته‌ی ماسک دار، بالاترین دقت را در مجموعه‌داده‌ی VideoMamba-M کسب کرده است، BF در حالی که مدل VideoMamba-M با دقت f64 بهترین عملکرد را در مجموعه‌داده‌ی COIN از خود نشان داده است.

Prophet		ARIMA		DeepAR		LSTMa		Reformer		LogTrans		Informer [†]		Informer		S4		Methods
MAE	MSE	MAE	MSE	MAE	MSE	MAE	MSE	MAE	MSE	MAE	MSE	MAE	MSE	MAE	MSE	MAE	MSE	Metric
ETTh₁																		
0.275	0.115	0.284	0.108	0.280	0.107	0.272	0.114	0.389	0.222	0.259	0.103	0.246	0.092	0.247	0.098	0.191	0.061	24
0.330	0.168	0.424	0.175	0.327	0.162	0.358	0.193	0.445	0.284	0.328	0.167	0.322	0.161	0.319	0.158	0.220	0.079	48
1.820	0.549	0.759	0.401	0.552	0.445	0.402	0.239	0.708	0.496	0.371	0.230	0.375	0.210	0.346	0.183	0.258	0.104	168
1.820	1.549	0.959	0.468	0.552	0.445	0.698	0.590	1.124	1.860	0.393	0.230	0.369	0.215	0.387	0.222	0.229	0.080	336
3.253	2.735	0.766	0.659	0.707	0.658	0.768	0.683	1.436	2.112	0.463	0.273	0.421	0.257	0.435	0.269	0.271	0.116	720
ETTh₂																		
0.381	0.199	0.445	3.554	0.263	0.098	0.307	0.155	0.437	0.263	0.255	0.102	0.241	0.099	0.240	0.093	0.234	0.095	24
0.462	0.304	0.474	3.190	0.341	0.163	0.341	0.163	0.545	0.458	0.348	0.169	0.317	0.159	0.314	0.155	0.346	0.191	48
1.068	2.145	0.595	2.800	0.414	0.255	0.514	0.385	0.879	1.029	0.422	0.246	0.390	0.235	0.389	0.232	0.333	0.167	168
2.543	2.096	0.738	2.573	0.687	0.604	0.606	0.558	1.223	1.668	0.437	0.267	0.423	0.258	0.417	0.263	0.361	0.189	336
4.664	3.355	1.044	2.878	0.580	0.429	0.681	0.640	1.721	2.303	0.493	0.303	0.424	0.285	0.431	0.277	0.358	0.187	720
ETTm₁																		
0.290	0.120	0.206	0.090	0.243	0.091	0.233	0.121	0.228	0.095	0.202	0.065	0.160	0.034	0.137	0.030	0.117	0.024	24
0.305	0.133	0.306	0.179	0.362	0.219	0.411	0.305	0.390	0.249	0.220	0.078	0.194	0.066	0.203	0.069	0.174	0.051	48
0.703	0.194	0.641	0.379	0.498	0.364	0.442	0.287	0.767	0.629	0.386	0.149	0.324	0.142	0.372	0.194	0.229	0.086	96
0.574	0.452	0.558	0.462	0.795	0.948	0.584	0.524	1.245	1.108	0.572	0.411	0.548	0.409	0.554	0.401	0.327	0.160	288
1.174	2.747	0.697	0.639	1.352	2.437	0.873	1.064	1.528	1.793	0.702	0.598	0.665	0.519	0.644	0.512	0.466	0.292	672
Weather																		
0.433	0.302	0.355	0.219	0.274	0.128	0.254	0.131	0.401	0.231	0.279	0.136	0.256	0.119	0.251	0.117	0.254	0.125	24
0.536	0.445	0.409	0.273	0.343	0.190	0.324	0.243	0.423	0.283	0.356	0.206	0.316	0.185	0.318	0.178	0.305	0.181	48
1.142	2.441	0.599	0.503	0.451	0.294	0.444	0.341	0.634	0.654	0.439	0.309	0.404	0.269	0.398	0.266	0.333	0.198	168
2.468	2.451	0.994	0.530	0.644	0.588	0.554	0.454	1.093	1.792	0.484	0.330	0.431	0.302	0.416	0.297	0.417	0.300	336
1.144	3.859	0.943	1.062	0.596	0.499	0.809	0.866	1.534	2.087	0.499	0.388	0.471	0.361	0.466	0.359	0.375	0.245	720
ECL																		
0.595	0.524	0.764	0.879	0.357	0.204	0.539	0.493	0.884	0.971	0.429	0.280	0.368	0.238	0.359	0.239	0.350	0.222	48
1.273	2.275	0.873	1.032	0.436	0.315	0.655	0.723	1.587	1.671	0.529	0.454	0.514	0.442	0.503	0.447	0.421	0.331	168
3.079	2.246	0.836	1.116	0.519	0.414	0.896	1.212	2.196	3.528	0.563	0.514	0.552	0.501	0.528	0.489	0.422	0.328	336
4.145	4.243	0.933	1.251	0.595	0.563	0.966	1.511	4.047	4.891	0.609	0.558	0.578	0.543	0.571	0.540	0.494	0.428	720
4.264	6.901	0.982	1.370	0.683	0.657	1.006	1.545	5.105	7.019	0.645	0.624	0.638	0.594	0.608	0.582	0.497	0.432	960

جدول ۱۴: نتایج پیش‌بینی سری زمانی تک متغیره با دنباله‌های بلند بر روی چهار مجموعه‌داده (پنج حالت). این جدول از مقاله‌ی S4 اقتباس شده است.

COIN Top-1	BF Top-1	Pretraining Dataset	Neck Type	Backbone	e2e	Method
-	71.3	IN-1K+K400	Conv.	3D-ResNet	✗	Timeception
-	69.5	IN-1K+K400	Conv.+Atten.	I3D	✗	VideoGraph
-	75.5	IN-1K+K400	Graph Conv.	I3D	✗	GHRM
90.0	89.9	IN-21K+HTM	Atten. w/ KB	TimeSformer	✗	Distant Supervision
<u>88.4</u>	<u>88.2</u>	IN-21K+K600	SSM	Swin-B	✗	ViS4mer
82.3	86.8	K400	-	VideoMAE-B	✓	Turbo _{f32}
<u>87.5</u>	<u>91.3</u>	K400+HTM-AA	-	VideoMAE-B	✓	Turbo _{f64}
86.2	94.3	K400	-	VideoMamba-Ti	✓	VideoMamba _{f32}
87.0	94.3	K400	-	VideoMamba-Ti	✓	VideoMamba _{f64}
88.4	95.3	K400	-	VideoMamba-S	✓	VideoMamba _{f32}
88.7	97.4	K400	-	VideoMamba-S	✓	VideoMamba _{f64}
88.3	94.8	K400	-	VideoMamba-M	✓	VideoMamba _{f32}
89.5	95.8	K400	-	VideoMamba-M	✓	VideoMamba _{f64}
89.6	97.9	K400	-	VideoMamba-M [†]	✓	[†] VideoMamba _{f32}
90.4	96.9	K400	-	VideoMamba-M [†]	✓	[†] VideoMamba _{f64}

جدول ۱۵: مقایسه با جدیدترین روش‌های پیشرفته در مجموعه داده‌های COIN و Breakfast. عبارت "e2e" به روش‌های انتها به انتها اشاره دارد که نیازی به استخراج ویژگی‌های جداگانه ندارند.
علمات "[†]" نشان‌دهندهٔ ستون فقرات با پیش‌آموزش ماسک‌دار است. این جدول از مقالهٔ VideoMamba اقتباس شده است.

۶ نتیجه‌گیری

این مقاله مروری جامع بر مدل‌های فضای حالت (State Space Models, SSMs) برای پردازش توالی‌ها ارائه داده است □ شامل بررسی نحوهٔ تکامل آن‌ها از شبکه‌های بازگشته (RNNs) تا رقابت کنونی آن‌ها با ترانسفورمرها در حوزه‌های مختلفی مانند زبان، بینایی، سری‌های زمانی، ویدیو و صوت. اگرچه هنوز در برخی وظایف مانند کپی کردن و بازیابی اطلاعات از زمینه، ترانسفورمرها عملکرد بهتری نسبت به SSM‌ها دارند، اما مدل‌های فضای حالت توانسته‌اند فاصله‌ی عملکردی خود را با ترانسفورمرهای پیشرفته کاهش دهند. در این مطالعه، مدل‌های SSM به سه دسته‌ی اصلی تقسیم شدند: Structured (ساختار یافته)، Gated (دروازه‌دار) و Recurrent (بازگشته). در هر دسته، مدل‌های بنیادی شناسایی شده و نوآوری‌های کلیدی آن‌ها مورد بحث قرار گرفته است. علاوه بر این، عملکرد مدل‌های SSM در بنچمارک‌های مختلف گردآوری و با ترانسفورمرهای پیشرفته در حوزه‌های گوناگون مقایسه شد. این مقایسه، چشم‌اندازهای پژوهشی تازه‌ای را در زمینهٔ SSM‌ها گشوده و شکاف عملکردی آن‌ها با ترانسفورمرها را در چندین حوزه کاهش داده است. به عنوان مثال، مدل با ترکیب معماری SiMBA و Transformer، به نتایج پیشرفته‌ای در مجموعه داده‌های استاندارد سری‌های زمانی و بینایی دست یافته است. به همین ترتیب، سایر مدل‌های بنیادی SSM نیز می‌توانند با ترانسفورمرها ترکیب شوند تا عملکردی فراتر از مدل‌های پیشرفته‌ی فعلی ارائه دهند. با این حال، مقیاس‌پذیری مدل‌های SSM به اندازه‌های بزرگ شیکه همچنان یک چالش باز محسوب می‌شود به‌ویژه در مدل Mamba که در مقیاس بزرگ با مشکلات پایداری روبه‌رو است. پایداری مدل‌های فضای حالت در مقیاس‌های بزرگ، به‌خصوص در بینایی ماشین، هنوز یک مسئلهٔ تحقیقاتی حل نشده است. یکی دیگر از زمینه‌های تحقیقاتی باز، بهبود توانایی مدل‌ها در انجام وظایف پیشرفته‌ی یادگیری درون‌منطقی (In-Context Learning) است هرچند که ترانسفورمرها و مدل‌های فضای حالت در برخی از این وظایف آموزش دیده‌اند، اما هنوز فرصت‌های پژوهشی قابل توجهی برای توسعهٔ آن‌ها وجود دارد.